

Danmarks geologiske Undersøgelse.

II. Række. Nr. 53.

Magnetische Messungen im südwestlichen Dänemark.

Von

A. Ebert.

Mit einer Karte.

I Kommission hos
C. A. Reitzels Forlag
København.
1932.

Pris: 3 Kr.

Danmarks geologiske Undersøgelse.

II. Række. Nr. 53.

Magnetische Messungen im südwestlichen Dänemark.

Von

A. Ebert.

Mit einer Karte.

I Kommission hos
C. A. Reitzels Forlag
København.
1932.

FR. BAGGES KGL. HOFBOGTRYKKERI
KØBENHAVN

Vorwort.

Auf Vorschlag von Direktor Dr. VICTOR MADSEN genehmigte das dänische Unterrichtsministerium die Ausführung magnetischer Messungen in Dänemark in den Jahren 1929—31. Die Ausgaben wurden 1929 aus den für Geländearbeiten der Danmarks geologiske Undersøgelse vorgesehenen Mitteln bestritten, im Jahre 1930 und 1931 besonders bewilligt. Diese Vermessungen wurden im Sommer 1929, im Herbst 1930 und im Frühjahr 1931 ausgeführt und erstreckten sich auf Jütland von der Reichsgrenze bis zur Linie Varde—Vejle und im Osten bis zur Linie Faaborg—Odense—Bogense auf Fünen. Ein besonderer Dank gebührt dem Danske Meteorologiske Institut, das in hilfreicher Weise die täglichen Z- und H-Variationen zu meiner Verfügung gestellt hat. Eine in jeder Beziehung tatkräftige Unterstützung erfuhr ich durch Herrn Direktor Dr. VICTOR MADSEN, dem ich meinen ganz besonderen Dank ausspreche.

Berlin, 1. September 1931.

A. Ebert.

I. Instrumentell-physikalischer Teil.

Die Messungen wurden mit dem SCHMIDT'schen Lokalvariometer für Vertikalintensität ausgeführt. Im Jahre 1929 wurde das Instrument Nr. 79297, im Jahre 1930 das Instrument Nr. 82110 benutzt. Beide Instrumente waren für Norddeutschland abgestimmt. Für die höheren Breiten Dänemarks mussten daher leider fast bei sämtlichen Messungen Zusatzmagnete benutzt werden. Mit dem zweiten Instrument wurden sogar alle Messungen mit dem mittleren Zusatzmagneten ausgeführt. Der Temperaturlangang war beim ersten Instrument sehr gering ($\sim 3 \gamma$ pro $1^\circ C$), beim zweiten dagegen recht gross (ca. 9γ pro $1^\circ C$). Für alle Messungen stand ein Kraftwagen zur Verfügung. Sonst wäre es unmöglich gewesen, eine derartig grosse Fläche innerhalb der zur Verfügung stehenden Zeit zu bearbeiten. Die einzelnen Stationen haben je nach dem Intensitätsunterschied einen Abstand von 1—5 km. Nur in einigen Gegenden, besonders im Gebiete nördlich Kolding, waren geringere Entferungen notwendig. Die Stationen wurden auf sich überschneidenden Schleifen angeordnet. Im ganzen sind 1248 Messungen auf 880 Stationen ausgeführt worden.

Störend auf die Messungen wirkten außer den oft grossen Temperaturdifferenzen die Stürme ein, die ein ungeschütztes Stativ in feine Vibrationen versetzen können. Wenn die Sonnenstrahlen und der Wind aus verschiedenen Richtungen kamen, war es bei fehlendem natürlichen Schutz oft schwierig, mit dem Körper einen Wind- und Sonnenschatten für das Instrument herzustellen.

Ausser den unvermeidlichen »Sprüngen« im Instrumentengang traten im Jahre 1929 noch zwei grössere Störungen auf: Nach einem Sturz erhielt das Instrument ein anderes Niveau, das später durch einen Eingriff wieder günstiger gestaltet werden konnte.

II. Reduktion der Messungen.

Die aus 6—8 Ablesungen gemittelten Skalenwerte wurden in γ -Einheiten umgerechnet. Die Temperaturkorrektion wurde bei dem zweiten Instrument wegen des grossen Temperaturlanganges durch einen besonderen

graphischen Ausgleich ermittelt, der das Nachhinken der Temperaturanpassung und damit der Momentänderung des Magnetsystems auf rasche Temperaturänderungen berücksichtigt. Der spätere Ausgleich gestaltete sich dann wesentlich einfacher und einheitlicher. Störend im Temperaturgang des Instrumentes war der ständige Wechsel von Aussen-temperatur und Temperatur des geschlossenen Kraftwagens. In den Tabellen sind nur die Ausgleichstemperaturen angegeben.

Die Tagesvariationen entsprechen den Momentanwerten des Kopenhagener Magnetischen Observatoriums in Rude Skov. Anomal hohe Werte der Variation an einem Tage waren am 14.8.29 mit einer Differenz von 111γ zwischen $11^h\ 40$ und $18^h\ 15$ und am 17.10.30 mit 200γ Differenz zwischen $10^h\ 08$ und $16^h\ 53$. Es ergaben sich dabei trotzdem keine nennenswerte Ausgleichsdifferenzen.

Zu den sich hieraus ergebenden ΔII -Werten wurde ein Niveau-Ausgleich hinzugefügt, der den Standunterschied der Instrumente und die durch Sturz und Eingriff verursachten Nullpunktverschiebungen ausgleicht. Wie vorauszusehen war, brauchte das Instrument nach dem künstlichen Eingriff erst einige Tage zur Beruhigung. Die grösseren Sprünge, die plötzliche Auslösungserscheinungen allmählich angewachsener Spannungen darstellen, sind in dem Niveaualausgleich aufgenommen worden.

Die Instrumentenstandkorrektur berücksichtigt die kleineren Sprünge, allmähliche Standänderungen, restliche Temperaturdifferenzen und den nicht zu erfassende Einfluss der Momentveränderung der Ablenkungsmagnete. Dauernd am Stativ befestigt, waren sie allen Erschütterungen ausgesetzt, die trotz des Alters der Magnete sicher noch kleine Momentveränderungen verursachten. Dazu kommt der unkontrollierbare Temperatureinfluss der Zusatzmagnete. Der Grad der Genauigkeit, kann in diesem Falle naturgemäß nicht so gross sein wie bei Messungen ohne Ablenkungsmagnete.

Unvermittelt grosse Sprünge bei einem einzelnen Punkt traten selten auf, wie bei Nr. 927 Station 482 mit fast 70γ . Eine anomale Instrumentenstandkorrektur, anomal auch für eine erste Tagesmessung, war für Nr. 1040 Station 690 nötig, die mit ungefähr 60γ mehr ausglichen werden musste.

Der aus der Instrumentenstandkorrektur sich ergebende Wert ΔIV wurde mit dem errechneten Normalfeld verglichen. Das Normalfeld wurde aus der SCHMIDT'schen Formel berechnet: $Z = 43332 + 511,2 \Delta\varphi - 25,2 \Delta\lambda + 1,08 \Delta\varphi^2 + 10,80 \Delta\varphi \cdot \Delta\lambda + 1,80 \Delta\lambda^2$ (Lit. Nr. 17).

Für das gesamte Untersuchungsgebiet ergab sich durchschnittlich ein Zuwachs von 8γ für $1'$ nach Norden. Der Längenabzug nach Osten konnte nicht gleichmässig durchgeführt werden. Für jede Breitenminute ergab sich eine andere Längenreduktion. Die Längeneinteilung der däni-

schen Karte bezieht sich auf den Meridian von Runde Taarn in København (Kopenhagen). Wegen der Einheitlichkeit sind alle Längenangaben auf den Meridian von Greenwich umgerechnet worden. Der O-Meridian Kopenhagen liegt $12^{\circ} 34' 39,90''$ östl. Greenwich. Die Umrechnung wurde mit $12^{\circ} 34,7'$ vorgenommen.

Die errechneten Störungswerte beziehen sich auf die Epoche 1901,0. In dem ehemalig deutschen Gebiet liegen 5 Punkte der Vermessung I. Ordnung, davon der Punkt 89 Twedt bei Tønder als Säkularstation, die mehrmals bis 1915,5 gemessen wurde. Die Störungswerte aus dem SCHMIDT'schen Verzeichnis und die der eigenen Messungen seien besonders angeführt:

Pkt. I. Ordnung	Störungswerte		Differenz	Lfd. Nr.
Nr. 89 Twedt	-142 γ	-142 γ	0 γ	128
- 158 Miang I	- 5 γ	- 5 γ	0 γ	160
- 159 Dybwatt	+ 47 γ	- 57 γ	+104 γ	616
- 160 Seggelund	+ 80 γ	+ 30 γ	+ 50 γ	959
- 161 Raahede	- 56 γ	-132 γ	+ 76 γ	403

Die näheren Umstände und die genaue Lage der Messungen I. Ordnung erhielt ich von Herrn Prof. NIPPOLDT-POTSDAM, dem ich hiermit meinen verbindlichsten Dank ausspreche. Die Punkte Twedt, Miang I und Dybwatt sind von mir mit Sicherheit wiedergefunden worden. Bei dem Punkt Seggelund wurde seinerzeit wegen des sehr stürmischen Windes eine exzentrische Aufstellung im Schutz einer Grenzhecke genommen. Den Stein (der trig. Verm. III. O.) konnte ich nicht mehr finden, er ist mitten auf einem Acker liegend, offenbar entfernt worden. Da sich hier das Störungsfeld auf kurze Strecken stark ändert und ausserdem der Punkt der exzentrischen Aufstellung nicht bekannt gewesen ist, können die Werte nicht verglichen werden. Das gleiche gilt vom Punkt Raahede. Der heute fehlende Stein muss zwischen Zäunen von Eisendrähten gelegen haben. Die Messung I. Ordnung wurde wieder exzentrisch ausgeführt, der genaue Punkt war nicht mehr zu ermitteln.

Dagegen stimmen, wie schon REICH darauf hingewiesen hat, die horizontalen Störungsvektoren mit der Aufnahme sehr gut überein.

Der Säkularpunkt Twedt konnte nur bis zur Epoche 1915,5 gemessen werden. Die heutige genaue Differenz gegenüber Potsdam ist darum unbekannt. Nach Fertigstellung der Karte stellte sich durch Anschluss an die noch nicht veröffentlichte regionale magnetische Aufnahme von Schleswig-Holstein durch REICH (1926—1930) eine allgemeine Niveau-differenz von -80γ heraus. Daraufhin wurde für sämtliche Punkte ein 2. Störungswert, der 80γ tiefer liegt als 1. Störungswert, errechnet und danach die Isanomalenkarte entworfen.

Aus dem allgemeinen Bild fallen einige Punkte als sicher nicht reell

heraus, so Station 562 Nr. 786 gegenüber Middelfart und Station 440 Nr. 614 am Nordufer des Apenrader Fjords. Beide Stationen liegen direkt am Meeresufer, wo eine fremde lokale Beeinflussung sehr leicht möglich ist. Einen ähnlichen Grund muss die Lokalanomalie von Station 232 Nr. 328 im Binnenlande gegenüber der Umgebung haben. Die Messung jenseits der Strasse Station 231 Nr. 327 zeigt wieder den normalen Störungswert.

Die beigelegte grosse Übersichtskarte des untersuchten Gebietes ist nach dem Vorgang von REICH und SCHUH (Herausgabe einer Isanomalienkarte Deutschlands) im Massstab 1:300 000 gebracht worden. Auch der Kurvenabstand mit 40γ unter lokaler Einschaltung der 20γ -Kurve ist beibehalten worden. Nur die Farbenskalen zeigen durch die vorliegenden grösseren Differenzen der magnetischen Werte gegenüber der REICH'schen Karte von Schleswig-Holstein andere Stufen (80γ statt 40γ). Sämtliche Stationen tragen in der Karte die Stationsnummer und den betreffende Störungswert.

III. Geologische Deutung der Messergebnisse.

Die magnetische Aufnahme zeigt mehrere Maxima und Minima. Das grösste Minimum liegt auf Fünen bei Assens mit -456γ , das grösste Maximum nordwestl. Kolding auf Jütland mit $+309\gamma$; es besteht also eine maximale Gesamtdifferenz von 765γ . Ausgeprägte *Minima* sind: 1. nordöstl. Esbjerg mit -317γ , 2. das Gebiet zwischen Ribe und Lögumkloster, das aus drei Teilminima mit -290γ , -300γ und -301γ besteht, 3. nordwestl. Flensburg mit -313γ , 4. ein grosses Depressionsgebiet nördl. vom Positiv von Vejen, das sich über Grindsted und Rundböl erstreckt mit mehr als -337γ , und 5. das auf Fünen mit -456γ . Auffällig ist, dass die selbständigen Minima auf Jütland durchschnittlich alle den gleichen Störungswert von -300γ haben. Die übrigen kleinen Minima haben keine selbständige Bedeutung. Auffällige *Maxima*: sind: 1. nördlich Vejen mit $+236\gamma$, 2. nördl. Kolding mit $>+309\gamma$ und 3. östl. davon eine Gruppe kleinerer Maxima mit $+54\gamma$, $+89\gamma$ auf Jütland und $+41\gamma$ und $+35\gamma$ auf Fünen. Positiv im Verhältnis zu dem allgemeinen Depressionsgebiet auf Süd-Jütland sind drei Gebiete: 1. das Küstengebiet gegenüber Römö mit -37γ als Ausläufer des Maximums auf der Insel Sylt, 2. eine Schwelle quer vor dem Apenrader Fjord, die bis Alsen übergreift mit -32γ auf dem Festland und das südliche Gebiet von Alsen mit -74γ .

Das grösste maximale Störungsgebiet, das bei Kolding, wurde im Frühjahr 1931 speziell vermessen. Die Karte, Fig. 1 Seite 9, stellt das Resultat dieser Vermessung dar. Die langgezogene schmale Ellipse der

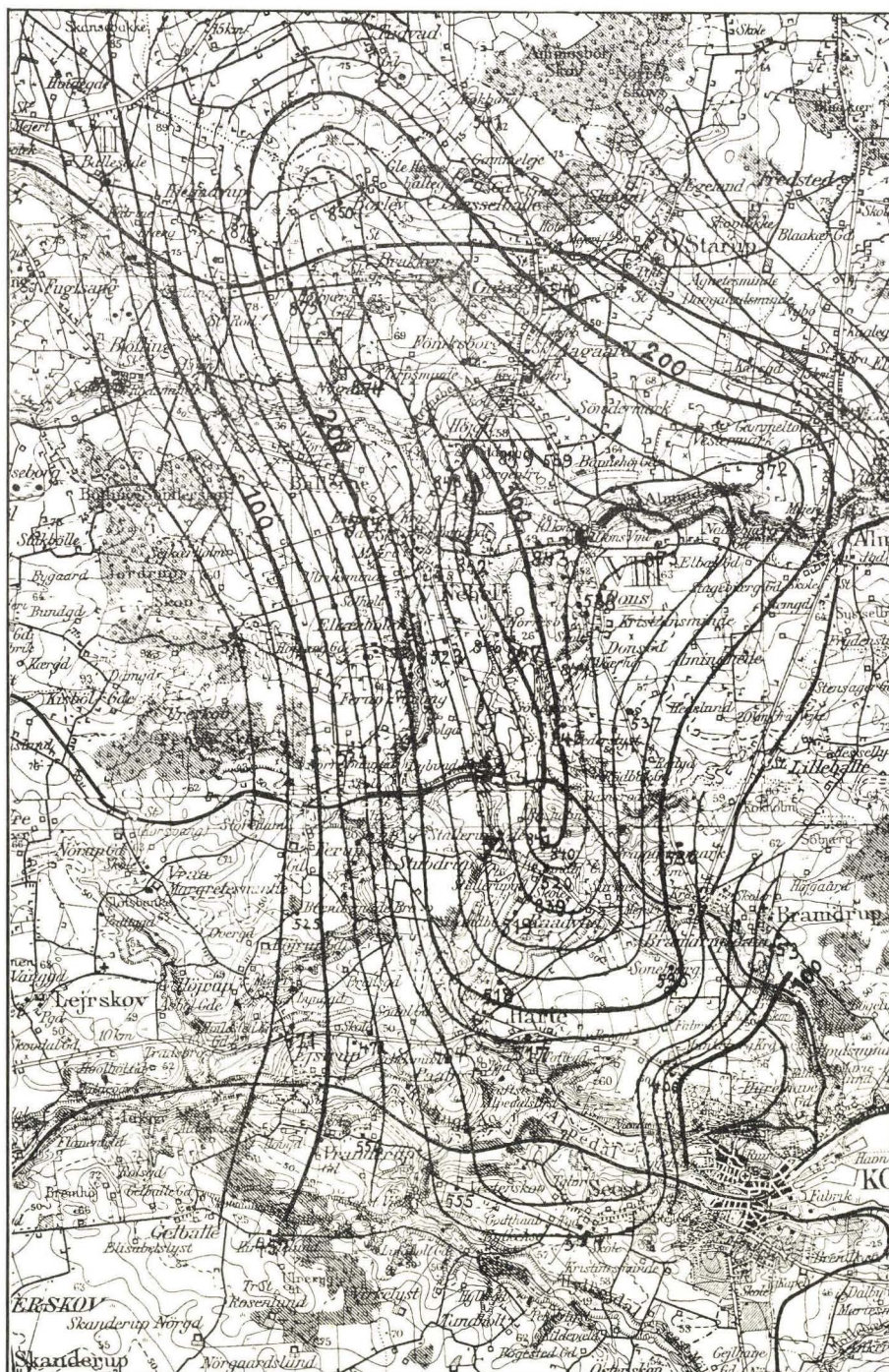


Fig. 1. Das magnetische Bild des Koldinghorstes, dargestellt auf der Karte 1:100 000 des Geodätischen Instituts zu Kopenhagen (Nr. 44, Kolding) mit Kurven im Abstande von 20γ . Die $+100 \gamma$, $+200 \gamma$ und $+300 \gamma$ -Kurven tragen die entsprechenden Zahlen.

Die kleineren Zahlen sind Stationsnummern.

maximalen Anisomalen + 300 γ veranschaulicht gut den maximalen Kern des Horstes. Dieser Kern deckt sich mit der Seenrinne, er hat ein Streichen N-S bis NNW-SSO. Im Streifen des Almind Dals zeigen die Anisomalen eine starke Ausbuchtung, deren Achse senkrecht auf die NNW-Achse steht. Auf dem Kreuzungspunkt muss der grösste positive Wert liegen.

Das jütländische Gebiet südlich der Linie Esbjerg—Kolding zeigt den gleichen magnetischen Charakter von Schleswig-Holstein, wie aus den Aufnahmen von REICH hervorgeht. Das Isanomalenbild deutet wie in Holstein auf einen herzynisch struierten Untergrund. Nördlich der Esbjerg-Kolding-Linie ist das Bild ein ganz anderes. Die einzelnen Elemente zeigen eine rheinische N-S-Struktur. Auffällig ist die genaue W-O-Anordnung der Anomalien: des Negativs von Esbjerg, der Positive von Vejen und Kolding und der anschliessenden kleinen Maxima. Bei einem Gebiete, dessen präkretazischer Untergrund durch Tiefbohrungen nirgends erfasst ist, kann es sich bei der Deutung der Anomalien naturgemäss nur um *Deutungsversuche* handeln.

Der gänzlich anderssinnige Verlauf der Isanomalen nördlich und südlich der Esbjerg-Kolding-Linie und der darauf liegende steile Intensitätsabfall der beiden Maxima lassen vermuten, dass die Linie im Untergrunde eine bedeutende Verwerfung darstellt. Nördlich der Störung setzen zwei rheinisch gerichtete Horste an, von denen der östliche — der Koldinghorst — die geringste jüngere Bedeckung aufweisen muss. Dieser Horst hat ein N-S gerichtetes Isanomalenbild mit relativ steilen Abfall besonders an der Westkante (=N-S-Verwerfung). Im Zusammenhang mit der Esbjerg-Kolding-Verwerfung stehen noch die beiden folgenden Tatsachen: Bei Kolding lag die einzige bisher bekannte Soolquelle Süd-Jütlands, deren Entstehung nicht durch marine Infiltration erklärt werden kann. Ferner ist bekannt, dass nördl. Ribe der Drehpunkt der säkularen Hebungen und Senkungen liegt. Ganz Schleswig-Holstein bis Ribe ist ein Gebiet, das säkularen Senkungen ausgesetzt ist; nördlich davon liegt das Gebiet der säkularen Hebung. Es ist wohl nicht von der Hand zu weisen, dass diese Störungslinie die Grenzlinie bildet. Im Zusammenhang damit steht wohl auch die plötzliche Verbreiterung Jütlands nach Westen, die sich durch den ostwestlichen Verlauf der Küste bei Esbjerg gegenüber dem bisheringen Süd-Nord-Verlauf äussert. Die kontinuierliche Verjüngung Schleswig-Holsteins bis zur Esbjerg-Linie und die Einrahmung der Küste durch die Inseln südlich davon drücken ja ganz augenfällig die Wirkung der Senkungstendenz aus.

Inwieweit die heutige Morphologie in Beziehung zu dem älteren Untergrund steht, kann hier nicht entschieden werden. Auffällig ist jedenfalls das Zusammenfallen der tektonischen Esbjerg-Kolding-Linie mit dem Kolding Fjord und der sich westlich Kolding anschliessenden

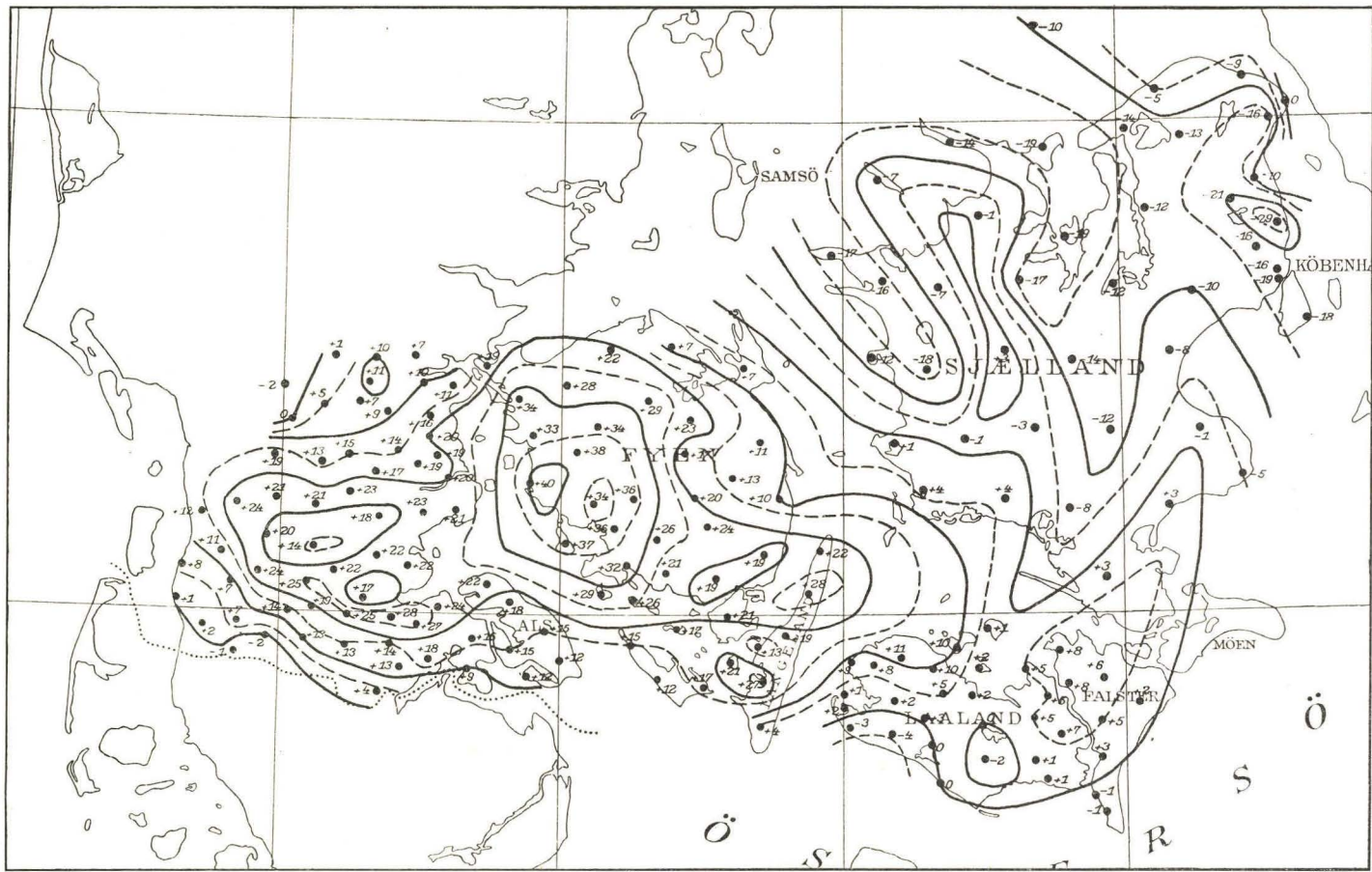


Fig. 2. Bestimmungen der Schwereintensität in Dänemark, ausgeführt vor 1930. Die schwarzen Punkte sind die Stationen. Die Zahlen geben in Einheiten der fünften Dezimale den Ueberschuss der Schwere über dem normalen Wert $g_0' - \gamma_0$ (HELMERT's Formel 1915).

Nach N. E. NÖRLUND: Rapport sur les travaux géodésiques exécutés de 1927 à 1930.

Fortsetzung als steilwandige tiefe Rinne, deren glazialgeologische Deutung einige Schwierigkeiten bereitet. Ganz ähnlich liegt der Fall bei der N-S verlaufenden Seenrinne, die sich genau mit der Mittelachse des Kolding-Horstes deckt. Die Spezialvermessung zeigte einwandfrei die Lage der maximalen magnetischen Störungswerte an diese Seenrinne gebunden, sodass scheinbar eine direkte Beziehung der Untergrundtektonik zu der glazialmorphologischen Erscheinung besteht.

Die tektonische Entstehung eines Fjordes konnte HILMAR ØDUM im nördlichsten Jütland dem Randers Fjord an einem O-N-O-System nachweisen (Lit. Nr. 10).

Schliesslich sei noch die schlauchartige, weit in das Land hineinziehende Verengung der Isanomalien über dem Haderslebener Fjord erwähnt. Eine gewisse Parallelität der Küstenlinien mit den Isanomalien, wie sie REICH anderweitig mehrmals betont hat, besteht im stark sich verengenden Gebiet des Kleinen Beltes von Middelfart an nach Süden.

REICH (Lit. Nr. 13, 14) hat die von ihm magnetisch näher untersuchten Massive: das Pritzwalker Massiv, das Schweriner Massiv (nach den Aufnahmen von SCHUH), das Kieler Massiv, das Husumer Massiv, und das Sylter Massiv — zu einer Gebirgsschwelle, als einen Teil der POMPECKJ'schen Schwelle zusammengefasst. Er äussert sich in dieser Arbeit (a. a. O. S. 331): »Es sind nämlich sichere Anzeichen für das Vorhandensein eines zweiten, zu diesem ersten parallelen Gebirgszuge vorhanden, der sich von der Insel Rügen über den kleinen Belt nach der jütischen Halbinsel hinzieht, wo auf dänischem Gebiet besonders kräftige positive Anomalien bekannt geworden sind.« *Die Massive von Vejen und Kolding liegen auf dieser Parallelen.* Es werden also die früheren Vermutungen durchaus bestätigt. In der Isogenenkarthe der dänischen Vermessung (8) erscheint das Massiv ebenfalls als Störung.

Ferner hat STILLE (18) in seiner Arbeit über die tektonische Mjösen-Mittelmeer-Zone einen rheinisch struierten Untergrund in der Osthälfte Jütlands gefordert. Genau in diese Zone fallen die Horste von Vejen und Kolding mit rheinisch gerichteten tektonischen Linien. Nach STILLE zeigt die Grabenzone Eruptivmaterial. Das als Gangausfüllung auftretende Material kommt als Ursache für die magnetische Störung nicht in Frage. Auffällig ist auf jeden Fall die Lage des Vejen-Kolding-Massivs auf dem Kreuzungspunkt eines nördlichen POMPECKJ'schen Schwellenzuges mit der STILLE'schen Mjösen-Mittelmeer-Grabenzone.

Wesentlich schwieriger liegen die Verhältnisse bei der Deutung des grossen Negativs auf Fünen. Hier hat sich durch ein relativ dichtes Netz von Pendelmessungen bei Assens (Vergl. Fig. 2) ein maximaler Schwereüberschuss von +55 (Bouguersche Störungswerte CGS $\times 10^{-3}$) ergeben (6, 9, 3), der in der Literatur an zahlreichen Stellen diskutiert worden ist (4, 2, 5). Eigenartig ist das Zusammenfallen eines Schwereüberschusses

mit einem magnetischen Minus. REICH (14) wies schon darauf hin, dass sich diese sogen. »Kleine Belt-Störung« magnetisch anscheinend nicht abbildet: »Wir haben keine andauernde Zunahme der magnetischen Vertikalintensität in der Richtung auf den Kleinen Belt, und auch die horizontalen Störungsvektoren der Vermessung erster Ordnung zeigen nicht dort hin.« War man aus diesen Überlegungen heraus geneigt, ein magnetisch indifferentes Gebiet zu erwarten, sa hat es doch überrascht, ein Minus anomaler Größenordnung zu finden. Aus den präglazialen Karten von N. V. USSING (19) J. P. J. RAVN (12) und VICTOR MADSEN (7) ergeben sich keinerlei Erklärungen für die Anomalie von Assens. A. BORN (2) denkt hier an eine Emporwölbung des variszischen Untergrundes, die mit der POMPECKJ'schen Schwelle zusammenfallen würde. Die kristalline Massiv-Linie Rügen-Vejen + Kolding läuft dicht nordöstlich am Minimum von Assens vorbei. Die Ursache dieser Anomalie würde mehr innerhalb der kristallinen Zonen liegen. Der Deutung steht nichts im Wege, dass es sich hier um paläozoische unmagnetische Sedimente handelt. Die Erfahrung hat bestätigt, dass sich paläozoische Gebirgskörper (z. B. der Harz, dessen Schwereüberschuss die gleiche Größenordnung hat, wie die Kleine Belt-Störung) im magnetischen Bilde kaum erkennen lassen oder sogar negativ gestört sind, was nach REICH vor allem für karbonische Ablagerungen zutrifft. Jedenfalls müssen hier Sedimentgesteine von recht grosser Mächtigkeit gefordert werden, damit die Schweredifferenz herauskommt. Die Tiefenlage ist hier wahrscheinlich geringer als bei den »kristallinen Massiven«. Eine Tiefbohrung bei Assens würde sicher geologisch und geophysikalisch interessante Ergebnisse bringen.

Literatur.

1. ANDERSEN, JOHS. og ØDUM, HILMAR. Om Forekomsten af saltførende Aflejninger i Danmarks Undergrund. Danmarks geologiske Undersøgelse, II. Række, Nr. 52, København 1930.
2. BORN, A. Beziehungen zwischen Schwerezustand und geologischer Struktur Deutschlands. Beitr. z. Probl. d. Massenverteilung im Erdkörper, herausgeg. v. Kossmat, Leipzig 1925.
3. BORRASS, E. Bericht über die relativen Messungen der Schwerkraft mit Pendelapparaten in der Zeit von 1808—1909. In Verh. d. 16. allgem. Konferenz der Internat. Erdmessung. III. Spezialbericht über die relativen Schweremessungen 1911.
4. HAACK, W. Die Gesteinsscholle von Schobüll bei Husum. Ein Devon-Vorkommen in Schleswig-Holstein. Zeitschr. d. Deutsch. Geol. Ges. Bd. 78, 1926.
5. HAASEMANN, L. Bestimmung der Intensität der Schwerkraft auf 35 Stationen in der Nähe des Meridians 9° E. v. G. Veröffentl. d. Preuss. Geodät. Inst., Neue Folge Nr. 11.

6. MADSEN, V. H. O. & JOHANSEN, N. P. Relative Tyngdebestemmelser, Bornholm samt Fyn med omliggende Øer. Den Danske Gradmaaling, Ny Række H. Nr. 2. København 1908.
7. MADSEN VICTOR, Übersicht über die Geologie von Dänemark. Danmarks geologiske Undersøgelse, V. Række, Nr. 4. 1928.
8. Magnetisk Aarbog 1909—1911. Publikationer fra Det Danske Meteorologiske Institut, København 1913.
9. NÖRLUND, N. E., Rapport sur les Travaux Géodésiques exécutés de 1927 à 1930. Copenhague 1930.
10. ØDUM, HILMAR, Studier over Daniet i Jylland og paa Fyn. Danmarks geologiske Undersøgelse, II. Række, Nr. 45.
11. POMPECKJ, J. F. Die Herkunft der Gerölle von Graniten, Gneisen und Quarziten im Transgressionskonglomerat von Lüneburg. Ztschr. d. Deutsch. Geol. Ges. Bd. 73, 1921.
12. RAVN, J. P. J. Geologisk Kort over Danmark. Dybere liggende Dannelser. Carte géologique du Danemark. Les formations préquaternaires. Danmarks geologiske Undersøgelse, III. Række, Nr. 22. Kjøbenhavn 1922.
13. REICH, H. Die magnetischen Anomalien Norddeutschlands und ihre wahrscheinlichen Ursachen. Ztschr. d. Deutsch. Geol. Ges. Bd. 79, 1927.
14. — Lokale und regionale Anomalien in Schleswig-Holstein, Ztschr. f. Geophysik, Bd. 4, 1928.
15. REICH, H. Magnetische Messungen im Aachener und Erkelenzer Steinkohlengebiet. Jahrb. d. Preuss. Geol. Landesanst. f. 1926.
16. — Magnetische Anomalien des Karbons. Ztschr. f. Geophysik, Bd. 2.
17. SCHMIDT, AD. Ergebnisse der magnetischen Landesaufnahme I. Ordnung des Königreichs Preussen. Ver. d. Preuss. Met. Inst. Nr. 276. Abh. Bd. IV Nr. 12, Berlin 1914.
18. STILLE, H. Rheinische Gebirgsbildung im Kristianiagebiet und in Westdeutschland, Abh. d. Preuss. Geolog. Landesanst. N. F. 95.
19. USSING, N. V. Dänemark, I. Bd. 2. Abt. d. Handbuchs. d. Regionalen Geologie, Heidelberg 1910.
20. WOLFF, W. Gemeinsame Probleme der Geologischen Landesforschung von Dänemark und Deutschland. Compte rendu de la Réunion géologique internationale à Copenhague 1928. Danmarks geologiske Undersøgelse. Copenhague 1930.

Tabellen der Messpunkte.

Laufende Nr.	Stations-Nr.	Geographische Koordinaten		Datum	M. E. Zeit	Temperatur	Ablesung in Skalen- teilen	in γ	Temperatur- korrektur in γ	Δ I	Tagesvariation in γ	Δ II	Niveau- Ausgleich	Δ III	Instrumenten- standkorrektur in γ	Δ IV	Normalfeld in γ	1. Störungs- wert in γ	2. Störungs- wert in γ - 80	Bemerkungen
		Breite φ	Länge λ																	
1	1	54°56.5'	8°50.9'	28.7.29	10 ⁰⁰	17.1	8.5	243	+ 6	249	125	124	+340	464	+10	474	613	-139	-219	
2	2	56.8'	50.3'		20	17.1	8.5	243	+ 6	249	123	126	+340	466	+10	476	615	-139	-219	
3	3	56.4'	48.6'		43	17.3	8.6	246	+ 7	253	120	133	+340	473	+ 8	481	612	-131	-211	
4	4	56.5'	46.9'		11 ¹⁰	18.5	8.5	243	+10	253	115	138	+340	478	+ 7	485	613	-128	-208	
5	5	55.8'	46.8'		40	18.8	8.2	234	+11	245	115	130	+340	470	+ 7	477	607	-130	-210	
6	6	55.4'	47.9'		12 ⁰⁰	19.3	8.4	240	+12	252	114	138	+340	478	+ 6	484	605	-121	-201	
7	7	57.1'	48.2'		25	19.8	8.3	236	+14	251	117	134	+340	474	+10	484	618	-134	-214	
8	4	—	—		14 ⁰⁰	21.0	8.2	234	+17	251	122	129	+340	469	+19	488				
9	8	57.6'	45.9'		25	20.8	8.4	240	+17	257	125	132	+340	472	+18	490	622	-132	-212	
10	9	57.7'	44.2'		45	19.9	9.2	263	+14	277	127	150	+340	490	+ 9	499	624	-125	-205	
11	10	57.8'	42.4'		15 ⁰⁵	19.5	9.5	272	+13	285	129	156	+340	496	+ 6	502	625	-123	-203	
12	11	58.2'	40.8'		35	18.8	10.3	294	+ 8	302	137	165	+340	505	+ 7	512	629	-117	-197	
13	12	59.2'	40.3'		16 ⁰⁰	17.4	10.4	297	+ 7	304	138	166	+340	506	+11	517	637	-120	-200	
14	13	58.5'	42.1'		20	16.5	10.0	286	+ 4	290	138	152	+340	492	+11	503	632	-129	-209	
15	14	58.5'	46.2'		40	16.3	10.4	297	+ 4	301	138	163	+340	503	+ 3	506	630	-124	-204	
16	4	—	—		17 ⁰⁵	16.2	9.7	277	+ 3	280	138	142	+340	482	+ 3	485				
17	15	58.7'	59.0'	29.7.29	8 ³⁰	18.2	8.0	229	+ 9	238	120	118	+340	458	- 7	451	629	-178	-258	
18	16	59.5'	57.9'		9 ⁰⁰	19.6	7.6	217	+13	230	116	114	+340	454	- 2	452	635	-183	-263	
19	17	58.9'	56.0'		25	20.8	8.0	229	+17	246	113	133	+340	473	- 2	471	631	-160	-240	
20	18	58.8'	54.2'		45	21.8	6.5	186	+19	205	114	91	+340	431	+ 6	437	630	-193	-273	
21	19	59.4'	54.0'		10 ⁰⁰	22.0	7.5	214	+20	234	114	120	+340	460	+ 5	465	635	-170	-250	
22	20	58.7'	52.8'		20	22.1	8.0	229	+20	249	114	135	+340	475	+ 5	480	631	-151	-231	
23	21	59.4'	51.7'		35	22.3	8.1	232	+21	253	115	138	+340	478	+10	488	636	-148	-228	
24	22	58.7'	50.4'		55	22.6	8.8	251	+22	273	114	159	+340	499	+ 1	500	631	-131	-211	
25	23	58.8'	49.2'		11 ²⁰	23.4	8.5	243	+24	267	111	156	+340	496	+ 5	501	631	-130	-210	
26	24	58.4'	48.0'		40	23.8	8.5	243	+25	268	109	159	+340	499	+ 3	502	627	-125	-205	
27	25	57.6'	48.3'		12 ⁰⁰	24.1	7.9	226	+26	252	111	141	+340	481	+ 4	485	621	-136	-216	
28	15	—	—		35	24.4	6.8	194	+27	221	112	109	+340	449	+ 2	451				
29	26	58.8'	9°1.4'		14 ²⁰	24.4	6.4	183	+27	210	120	90	+340	430	+ 8	438	629	-191	-271	
30	27	59.5'	2.2'		45	23.3	7.1	203	+24	227	125	102	+340	442	+ 8	450	634	-184	-264	

Danmarks geologiske Undersøgelse, II. R. Nr. 53.	31	28	55°0.1'	1.8'		15 ⁰⁰	23.0	7.7	220	+23	243	127	116	+340	456	+10	466	640	-174	-254
	32	29	54°59.6'	0.5'		10	22.8	7.9	226	+22	248	129	119	+340	459	+ 8	467	536	-169	-249
	33	30	58.9'	0.7'		30	22.4	7.5	214	+21	235	130	105	+340	445	+ 5	450	630	-180	-260
	34	31	58.1'	1.2'		45	21.8	7.3	209	+19	228	130	98	+340	438	+ 4	442	632	-190	-270
	35	32	57.1'	1.3'		16 ⁰⁰	21.4	7.5	214	+18	232	131	101	+340	441	+ 2	443	616	-173	-253
	36	33	56.6'	8°59.7'		25	20.8	8.8	250	+17	267	133	134	+340	474	+ 0	474	612	-138	-218
	37	34	56.8'	58.1'		45	20.3	8.1	232	+15	247	134	113	+340	453	+ 2	455	613	-158	-238
	38	35	57.4'	59.3'		17 ⁰⁰	20.0	8.2	234	+14	248	134	114	+340	454	+ 0	454	618	-164	-244
	39	15	—	—		20	19.4	8.2	234	+13	247	132	115	+340	455	- 4	451			
	40	36	57.9'	56.8'		30	19.2	8.1	232	+12	244	132	112	+340	452	+ 8	460	623	-163	-243
	41	37	57.3'	54.7'		45	19.0	8.5	243	+11	254	130	124	+340	464	+ 4	468	618	-150	-230
	42	2	—	—	30.7.29	13 ¹⁵	18.8	8.3	237	+11	248	109	139	+340	479	- 3	476			
	43	6	—	—		35	19.4	8.5	243	+13	256	111	145	+340	485	- 1	484			
	44	38	54.5'	46.2'		50	19.4	9.0	256	+13	269	115	154	+340	494	+ 7	501	598	- 97	-177
	45	39	53.9'	45.2'		14 ²⁰	19.4	8.5	243	+13	256	118	138	+340	478	+11	489	593	-104	-184
	46	40	55.3'	43.7'		15 ¹⁵	19.4	9.1	260	+13	273	127	146	+340	486	+11	497	605	-108	-188
	47	41	56.8'	42.5'		30	18.5	9.6	275	+10	285	129	156	+340	496	+10	506	617	-111	-191
	48	10	—	—		45	17.5	9.9	283	+ 7	290	128	162	+340	502	+ 0	502			
	49	42	55.9'	41.0'		16 ²⁰	17.2	10.6	303	+ 6	309	130	179	+340	519	- 2	517	610	- 93	-173
	50	13	—	—		50	17.3	10.2	292	+ 7	299	135	164	+340	504	- 1	503			
	51	43	59.7'	41.9'		17 ¹⁰	17.4	10.6	303	+ 7	310	135	175	+340	515	- 3	512	641	-129	-209
	52	44	55°0.8'	42.6'		30	17.3	11.4	326	+ 7	333	135	198	+340	538	- 2	536	648	-112	-192
	53	45	1.2'	45.5'		18 ⁰⁰	17.3	11.3	323	+ 7	330	136	194	+340	534	- 2	532	652	-120	-200
	54	21	—	—		30	17.3	9.6	274	+ 7	281	130	151	+340	491	- 3	488			
	55	36	—	—	31.7.29	8 ³⁵	18.2	8.1	232	+ 9	241	110	131	+340	471	-11	460			
	56	15	—	—		50	17.7	8.3	237	+ 8	237	113	124	+340	464	-13	451			
	57	28	—	—		9 ¹⁵	17.9	8.7	249	+ 8	257	111	146	+340	486	-20	466			
	58	46	1.5'	9°2.9'		30	18.0	9.8	280	+ 9	289	108	181	+340	521	-19	502	650	-148	-228
	59	47	2.3'	1.7'		50	18.0	9.4	269	+ 9	278	112	166	+340	506	-17	489	657	-168	-248
	60	48	3.3'	8°58.9'		10 ¹⁰	17.8	9.9	283	+ 8	291	111	180	+340	520	-16	504	665	-161	-241
	61	49	2.2'	58.5'		45	17.5	9.8	280	+ 7	287	109	178	+340	518	-18	500	657	-157	-237
	62	50	0.9'	9°0.0'		11 ⁰⁵	18.0	8.7	249	+ 9	258	110	148	+340	488	-16	472	646	-174	-254
	63	28	—	—		25	18.0	8.4	240	+ 9	249	108	141	+340	481	-15	466			
	64	51	54°58.8'	4.2'		45	18.0	8.0	229	+ 9	238	106	132	+340	472	-12	460	628	-168	-248
	65	52	57.7'	5.1'		12 ¹⁰	18.8	7.3	209	+11	220	105	115	+340	455	-10	445	620	-175	-255
	66	28	—	—		13 ²⁵	19.5	8.1	232	+13	245	114	131	+340	471	- 5	466			

Regen

Laufende Nr.	Stations-Nr.	Geographische Koordinaten		Datum	M. E. Zeit	Temperatur	Ablesung		Temperaturkorrektur in γ	Δ I	Tagessvariation in γ	Δ II	Niveau-Ausgleich	Instrumentenstandskorrektur in γ	Δ IV	Normalfeld in γ	1. Störungswert in γ	2. Störungswert in γ	Bemerkungen
		Breite φ	Länge λ			in Skalen-teilen	in γ												
67	52	—	—	31.7.29	13 ⁵⁰	19.6	7.5	214	+13	227	117	110	+340	450	— 5	445			
68	53	54°56.4'	9°6.7'		14 ⁰⁵	19.4	7.1	203	+13	216	117	99	+340	439	— 5	434	608	-174	-254
69	54	58.2'	7.5'		25	18.9	8.2	234	+11	245	120	125	+340	465	— 3	462	623	-161	-241
70	55	58.8'	9.9'		40	18.2	9.0	257	+ 9	266	120	146	+340	486	+ 0	486	627	-141	-221
71	56	59.6'	11.1'		15 ⁰⁰	17.8	9.5	272	+ 8	280	121	159	+340	499	+ 1	500	634	-134	-214
72	57	57.5'	10.3'		20	17.8	8.3	237	+ 8	245	129	116	+340	456	+ 0	456	617	-161	-241
73	58	56.3'	8.9'		50	17.8	7.2	206	+ 8	214	135	79	+340	419	+ 1	420	607	-187	-267
74	53	—	—		16 ¹⁰	17.6	7.9	226	+ 7	233	135	98	+340	438	— 4	434			Regen
75	59	55.8'	4.3'		30	17.3	8.3	237	+ 7	234	135	99	+340	439	— 8	431	604	-173	-253
76	60	56.1'	1.3'		50	16.8	8.6	246	+ 5	251	136	115	+340	455	-12	443	608	-165	-245
77	34	—	—		17 ¹⁰	16.5	9.2	263	+ 4	267	137	130	+340	470	-15	455			
78	15	—	—		25	16.2	9.2	263	+ 3	266	140	126	+340	466	-15	451			
79	1	—	—	1.8.29	8 ²⁰	17.6	9.0	257	+ 7	264	120	144	+340	484	-10	474			Sturm
80	61	54.6'	8°50.0'		40	17.9	9.5	272	+ 8	280	122	158	+340	498	— 6	492	598	-106	-186
81	62	55.0'	53.9'		9 ⁰⁵	18.5	8.6	246	+10	256	121	135	+340	475	— 4	471	600	-129	-209
82	63	56.0'	55.0'		25	18.8	8.6	246	+11	257	121	136	+340	476	— 8	468	608	-140	-220
83	34	—	—		45	19.0	8.1	232	+11	243	120	123	+340	463	— 8	455			
84	64	55.2'	59.3'		10 ⁰⁰	19.0	8.2	234	+11	245	119	129	+340	466	— 9	457	601	-144	-124
85	65	53.9'	9°0.0'		15	18.8	8.1	232	+11	243	120	123	+340	463	-11	452	590	-138	-218
86	60	—	—		40	18.2	8.1	232	+ 9	241	117	124	+340	464	-21	443			
87	66	55.2'	1.7'		11 ⁰⁵	17.7	8.0	229	+ 8	237	123	114	+340	454	-21	433	601	-168	-248
88	67	54.3'	5.4'		25	17.6	7.3	209	+ 7	216	109	107	+340	447	-20	427	592	-165	-245
89	68	53.0'	5.5'		40	17.6	7.2	206	+ 7	213	114	99	+340	439	-18	421	581	-160	-240
90	69	54.1'	8.1'		12 ⁰⁰	17.6	6.5	186	+ 7	193	115	78	+340	418	— 8	410	590	-180	-260
91	70	53.2'	8.8		15	17.6	7.2	206	+ 7	213	109	104	+340	444	— 9	435	583	-148	-228
92	53	—	—		50	17.7	7.4	212	+ 8	220	117	103	+340	443	— 9	434			
93	52	—	—		14 ³⁰	18.5	8.5	243	+10	253	149	104	+340	444	+ 1	445			
94	28	—	—		50	18.5	9.9	283	+10	293	174	119	+340	459	+ 7	466			
95	71	55°1.4'	5.5'		15 ¹⁵	18.0	12.5	357	+ 9	366	190	176	+340	516	— 5	521	649	-128	-208
96	72	—	—		30	17.8	12.0	343	+ 8	351	183	168	+340	508	— 5	513	643	-130	-210

97	73	1.5'	9.1'		50	17.7	13.2	378	+ 8	386	184	202	+ 340	542	+ 4	546	649	- 103	- 183
98	74	2.8'	8.6'		16 ¹⁵	17.7	14.0	400	+ 8	408	184	224	+ 340	564	+ 3	567	659	- 92	- 172
99	75	2.4'	6.9'		35	17.7	13.6	389	+ 8	397	181	216	+ 340	556	+ 3	559	657	- 98	- 178
100	76	1.0'	3.6'		55	18.2	11.9	340	+ 9	349	194	155	+ 340	495	+ 2	497	646	- 149	- 229
101	28	—	—		17⁰⁵	18.2	11.0	314	+ 9	323	199	124	+ 340	464	+ 2	466			
102	4	—	—	2.8.29	8³⁰	17.2	9.4	269	+ 6	275	120	155	+ 340	495	- 10	485			Regen
103	14	—	—		9¹⁰	16.6	10.2	291	+ 5	296	110	186	+ 340	526	- 20	506			
104	77	54°59.7'	8°46.4'		30	16.2	10.6	303	+ 3	306	115	191	+ 340	531	- 20	511	640	- 129	- 209
105	78	55°0.7'	47.3'		45	16.1	11.0	314	+ 3	317	117	200	+ 340	540	- 16	524	647	- 123	- 203
106	79	0.5'	49.5'		10 ⁰⁰	16.3	10.7	306	+ 4	310	117	193	+ 340	533	- 12	521	645	- 124	- 204
107	80	1.9'	49.7'		15	16.5	10.9	312	+ 4	316	113	203	+ 340	543	- 8	535	656	- 121	- 201
108	81	0.5'	51.4'		30	16.6	10.1	289	+ 5	294	112	182	+ 340	522	- 7	515	645	- 130	- 210
109	21	—	—		45	16.4	9.2	263	+ 4	267	112	155	+ 340	495	- 7	488			
110	82	3.2'	49.9'		11 ²⁰	16.3	11.7	334	+ 4	330	113	225	+ 340	565	- 3	562	667	- 105	- 185
111	83	3.1'	51.8'		40	16.5	10.9	312	+ 4	316	114	202	+ 340	542	- 4	538	666	- 128	- 208
112	84	4.1'	51.4'		12 ⁰⁵	16.8	11.7	317	+ 5	322	109	213	+ 340	553	- 5	548	674	- 126	- 206
113	85	3.5'	54.3'		20	17.1	10.1	289	+ 6	295	107	188	+ 340	528	- 4	524	668	- 144	- 224
114	86	2.8'	56.6'		13 ²⁵	17.9	9.4	269	+ 8	277	109	168	+ 340	508	- 3	505	662	- 157	- 237
115	87	2.4'	53.9'		50	18.0	9.8	280	+ 9	289	116	173	+ 340	513	- 4	509	659	- 150	- 230
116	88	1.3'	53.5'		14 ¹⁵	17.8	9.8	280	+ 8	288	123	165	+ 340	505	- 3	502	650	- 148	- 228
117	89	0.0'	53.6'		30	17.7	9.3	266	+ 8	274	124	150	+ 340	490	- 4	486	640	- 154	- 234
118	21	—	—		15⁰⁰	17.8	9.6	274	+ 8	282	129	153	+ 340	493	- 5	488			
119	80	—	—		20	17.9	11.2	320	+ 8	328	130	198	+ 340	538	- 3	535			
120	90	2.3'	47.5'		40	17.9	11.9	340	+ 8	348	134	214	+ 340	554	- 3	551	660	- 109	- 189
121	45	—	—		16⁰⁰	17.8	11.2	320	+ 8	328	135	193	+ 340	533	- 1	532			
122	91	2.3'	41.7'		30	17.2	12.9	369	+ 6	375	138	237	+ 340	577	- 3	574	661	- 87	- 167
123	92	3.7'	40.3'		50	16.7	14.3	409	+ 5	414	137	277	+ 340	617	- 2	615	673	- 58	- 138
124	93	1.1'	39.7'		17 ¹⁰	16.2	12.3	351	+ 3	354	137	217	+ 340	557	- 3	554	652	- 98	- 178
125	94	2.2'	38.5'		30	15.8	13.6	389	+ 2	391	132	259	+ 340	599	- 1	598	661	- 63	- 143
126	95	0.1'	39.7'		50	15.4	11.6	332	+ 1	333	140	193	+ 340	533	- 2	531	644	- 113	- 193
127	4	—	—		18²⁰	15.3	9.9	283	+ 1	284	135	149	+ 340	489	- 4	585			
128	96	54°57.0'	50.7'	3.8.29	8 ³⁰	16.8	8.6	246	+ 5	251	111	140	+ 340	480	- 5	475	617	- 142	- 222
129	2	—	—		50	17.2	8.6	246	+ 6	252	109	143	+ 340	483	- 4	476			
130	4	—	—		9 ⁰⁷	17.7	8.9	254	+ 8	262	109	153	+ 340	493	- 8	485			
131	96	—	—		30	17.9	8.4	240	+ 8	248	106	142	+ 340	482	- 7	475			
132	36	—	—		10⁰⁰	18.5	7.7	220	+ 10	230	103	127	+ 340	467	- 7	460			

Laufende Nr.	Stations-Nr.	Geographische Koordinaten		Datum	M. E. Zeit	Temperatur	Ablesung in Skalen- teilen	in γ	Temperatur- korrektur in γ	Δ I	Temperatur- variation in γ	Δ II	Niveau- Ausgleich	Instrumenten- standkorrektur in γ	Δ IV	Normalfeld in γ	1. Störungs- wert in γ	2. Störungs- wert in γ — 80	Bemerkungen		
		Breite φ	Länge λ																		
133	15	—	—	3.8.29	10 ¹⁵	19.7	7.3	209	+13	222	102	120	+340	460	— 9	451					
134	17	—	—		45	20.1	7.7	220	+15	235	102	133	+340	473	— 2	471					
135	97	54°59.8'	8°55.9'		11 ¹⁰	20.2	7.5	214	+15	229	102	127	+340	467	— 1	466	638	-172	-252		
136	98	55°0.9'	9°0.0'		35	20.2	8.4	240	+15	255	107	148	+340	488	+	1	489	646	-157	-237	
137	49	—	—		55	20.1	8.8	252	+15	267	109	158	+340	498	+	2	500				
138	99	4.3'	8°58.2'		12 ¹⁵	20.0	9.9	283	+14	297	110	187	+340	527	+	3	530	673	-143	-223	
139	82	—	—		13 ⁵⁰	19.9	11.6	332	+14	346	126	220	+340	560	+	2	562				
140	100	3.5'	45.8'		14 ¹⁰	19.8	13.3	380	+14	394	130	264	+340	604	+	2	606	670	— 64	-144	
141	101	4.8'	43.7'		30	19.8	15.1	432	+14	446	134	312	+340	652	+	2	654	680	— 26	-106	
142	102	6.5'	43.7'		55	19.8	16.3	466	+14	480	135	345	+340	685	+	1	686	694	— 8	-88	
143	103	7.1'	46.4'		15 ¹⁵	19.6	15.7	449	+13	462	135	327	+340	667	+	1	668	699	— 31	-111	
144	104	5.9'	48.5'		35	19.4	14.1	403	+13	416	135	281	+340	621	±	0	621	688	— 67	-147	
145	105	5.4'	51.1'		16 ⁰⁰	19.2	12.4	354	+12	366	134	232	+340	572	±	0	572	684	-112	-192	
146	106	5.7'	54.0'		10	19.2	11.6	332	+12	344	135	209	+340	549	±	0	549	686	-137	-217	
147	107	4.5'	56.1'		35	19.1	10.9	312	+12	324	139	185	+340	525	±	0	525	676	-151	-231	
148	99	—	—		17 ⁰⁰	19.0	11.2	320	+11	331	140	191	+340	531	— 1	530					
149	96	—	—		18 ⁰⁰	19.0	9.0	257	+11	268	133	135	+340	475	±	0	475				
150	108	54°55.4'	9°50.4'	5.8.29	8 ²⁵	19.4	11.8	337	+13	350	117	233	+340	573	±	0	573	591	— 18	-98	
151	109	54.2'	50.7'		45	20.3	11.3	323	+15	338	114	224	+340	564	±	0	564	581	— 17	-97	
152	110	54.3'	52.7'		9 ⁰⁵	20.8	11.6	332	+17	349	113	236	+340	576	+	1	577	580	— 3	-83	
153	111	54.7'	54.7'		30	21.0	11.9	340	+17	357	113	244	+340	584	+	1	585	585	± 0	-80	
154	112	53.8'	57.8'		50	21.3	11.7	334	+18	352	110	242	+340	582	+	1	583	577	+	6	-74
155	113	52.8'	59.8'		10 ⁰⁵	21.7	10.8	309	+19	328	109	219	+340	559	+	1	560	567	— 7	-87	
156	114	54.3'	10°0.3'		15	22.3	10.9	312	+21	333	107	226	+340	566	+	2	568	579	— 11	-91	
157	115	55.5'	1.5'		35	22.3	10.8	337	+21	358	104	254	+340	594	+	1	595	589	+	6	-74
158	108	—	—		11 ⁰⁰	22.1	11.1	317	+20	337	104	233	+340	573	±	0	573				
159	116	56.2'	9°52.6'		30	22.0	11.7	334	+20	354	105	249	+340	589	+	1	590	597	— 7	-87	
160	117	56.0'	54.8'		40	22.0	11.7	334	+20	354	105	249	+340	589	+	1	590	595	— 5	-85	
161	118	55.5'	56.4'		12 ⁰⁰	22.2	11.8	337	+21	358	107	251	+340	591	— 2	589	591	— 2	-82		
162	119	56.0'	59.0'		10	22.4	11.3	323	+21	344	107	237	+340	577	— 4	573	594	— 21	-101		

163	114	—	—		30	22.7	11.0	314	+22	336	109	227	+340	567	+ 1	568				
164	113	—	—		45	23.1	11.1	317	+23	340	112	228	+340	568	- 8	560				
165	120	51.2'	59.5'		13 ¹⁰	23.8	10.1	289	+25	314	114	200	+340	540	- 2	538	554	- 16	- 96	
166	121	52.1'	57.1'		14 ⁵⁰	23.7	9.4	269	+25	294	135	159	+340	499	+ 17	516	563	- 47	- 127	unsicher
167	122	53.7'	53.8'		15 ¹⁰	23.0	12.1	346	+23	369	139	230	+340	570	+ 6	576	576	± 0	- 80	
168	123	52.5'	54.2'		30	22.0	12.1	346	+20	366	141	225	+340	565	+ 1	566	566	± 0	- 80	
169	124	52.7'	52.4'		50	19.4	12.3	351	+13	364	141	223	+340	563	- 4	559	569	- 10	- 90	
170	125	51.6'	55.6'		16 ¹⁰	19.1	12.0	343	+12	355	141	214	+340	554	- 6	548	559	- 11	- 91	
171	121	—	—		25	19.0	10.8	309	+11	320	143	177	+340	517	- 1	516				
172	113	—	—		45	19.0	12.4	354	+11	365	143	222	+340	562	- 2	560				
173	108	—	—		17 ¹⁵	19.8	12.5	357	+14	371	146	225	+340	565	+ 8	573				
174	126	56.2'	48.0'		35	19.5	12.1	346	+13	359	147	212	+340	552	+ 6	558	598	- 40	- 120	
175	127	57.2'	46.3'		50	19.3	11.5	329	+12	341	142	199	+340	539	+ 4	543	607	- 64	- 144	
176	128	58.4'	46.0'		18 ¹⁰	18.9	12.6	360	+11	371	147	224	+340	564	+ 2	566	616	- 50	- 130	
177	129	57.3'	48.0'		30	18.7	12.6	360	+10	370	145	225	+340	565	+ 1	566	606	- 40	- 120	
178	108	—	—		45	18.4	12.9	369	+ 9	378	146	232	+340	572	+ 1	573				
179	108	—	—	6.8.29	8 ³⁵	18.3	12.3	351	+10	361	130	231	+340	571	+ 2	573				
180	130	59.9'	51.1'		9 ⁰⁰	18.0	12.9	369	+ 9	378	128	250	+340	590	- 8	582	627	- 45	- 125	
181	131	58.7'	53.1'		15	18.0	12.7	363	+ 9	372	127	245	+340	585	- 7	578	617	- 39	- 119	
182	132	57.4'	54.4'		45	18.3	12.7	363	+ 9	372	124	248	+340	588	- 8	580	606	- 26	- 106	
183	133	57.3'	57.8'		10 ⁰⁰	18.9	12.4	354	+11	365	123	242	+340	582	- 6	576	604	- 28	- 108	
184	134	57.6'	10°1.0'		20	19.5	11.7	334	+13	347	122	225	+340	565	- 6	559	607	- 48	- 128	
185	135	58.8'	9°59.3'		40	19.9	12.4	354	+14	368	122	246	+340	586	- 5	581	616	- 35	- 115	
186	136	55°0.0'	47.3'		11 ⁰⁰	20.5	12.4	354	+16	370	122	248	+340	588	- 4	584	629	- 45	- 125	
187	137	54°58.8'	55.8'		15	21.2	12.5	357	+18	375	122	253	+340	593	- 4	589	625	- 36	- 116	
188	138	55°0.3'	53.7'		40	22.0	11.4	326	+20	346	120	226	+340	566	- 3	563	630	- 67	- 147	
189	130	—	—		55	22.7	12.0	343	+22	365	120	245	+340	585	- 3	582				
190	130	—	—		13 ³⁰	22.5	13.0	343	+21	364	123	241	+340	581	+ 1	582				
191	139	54°59.0'	47.8'		50	22.3	12.4	354	+21	375	122	253	+340	593	- 2	591	621	- 30	- 110	
192	140	55°0.6'	49.0'		14 ²⁰	22.0	11.9	340	+20	360	122	238	+340	578	- 2	576	634	- 58	- 138	
193	141	1.7'	46.3'		45	21.5	12.1	346	+19	365	123	242	+340	582	- 1	581	644	- 63	- 143	
194	142	0.9'	43.2'		15 ⁰⁰	21.0	15.1	432	+17	449	124	325	+340	665	- 1	664	637	+ 27	- 53	
195	143	1.5'	40.8'		20	21.0	14.9	426	+17	443	127	316	+340	656	- 2	654	643	+ 11	- 69	
196	144	2.7'	44.6'		45	21.0	14.7	421	+17	438	129	309	+340	649	- 2	647	652	- 5	- 85	
197	145	3.3'	42.6'		16 ⁰⁵	21.3	12.3	352	+18	370	127	243	+340	583	- 1	582	655	- 73	- 153	
198	146	5.0'	45.9'		30	21.6	12.2	349	+19	368	130	238	+340	578	- 3	575	670	- 95	- 175	

Laufende Nr.	Stations-Nr.	Geographische Koordinaten		Datum	M. E. Zeit	Temperatur	Ablesung		Temperaturkorrektur in γ	Δ I	Tagesvariation in γ	Δ II	Niveau-Ausgleich	Δ III	Instrumentenstandkorrektur in γ	Δ IV	Normalfeld in γ	1. Störungswert in γ	2. Störungswert in γ	Bemerkungen
		Breite φ	Länge λ				In Skalenteilen	in γ												
199	147	55°2.3'	9°48.5'	6.8.29	16 ⁵⁰	21.8	12.9	349	+19	358	130	228	+340	568	- 3	565	647	- 82	-162	
200	130	-	-		17 ⁰⁵	21.4	12.5	357	+18	375	131	244	+340	584	- 2	582				
201	108	-	-		30	20.8	12.4	354	+17	371	131	240	+340	580	- 7	573				
202	148	54°53.6'	40.5'	7.8.29	8 ³⁵	19.8	10.0	286	+14	300	120	180	+340	520	- 10	510	578	- 68	-148	
203	149	51.9'	38.7'		9 ⁰⁰	20.3	9.0	258	+15	273	120	153	+340	493	- 22	491	565	- 74	-154	
204	150	52.0'	41.6'		25	20.8	9.4	269	+17	286	120	166	+340	506	- 2	504	565	- 61	-141	
205	151	50.8'	43.6'		50	21.6	8.5	243	+19	262	120	142	+340	482	- 2	480	554	- 74	-154	
206	152	52.2'	44.3'		10 ¹⁰	22.8	8.9	255	+22	277	120	157	+340	497	- 1	496	567	- 81	-161	
207	153	54.2'	37.2'		45	23.5	8.2	235	+24	259	121	138	+340	478	- 2	476	584	-108	-188	
208	148	-	-		11 ⁰⁰	24.3	9.4	269	+27	296	122	174	+340	514	- 4	510				
209	154	54.5'	43.0'		15	24.5	9.4	269	+27	296	122	174	+340	514	- 3	511	585	- 74	-154	
210	155	56.3'	44.0'		35	24.7	10.3	294	+28	322	122	200	+340	540	- 4	536	599	- 63	-143	
211	156	57.1'	40.8'		55	25.2	10.0	286	+29	315	121	194	+340	534	- 6	528	607	- 79	-159	
212	157	58.4'	38.8'		12 ¹⁰	25.5	10.6	303	+30	333	120	213	+340	553	- 4	549	618	- 69	-149	
213	158	59.3'	36.1'		25	25.6	10.6	303	+30	333	120	213	+340	553	- 1	552	625	- 73	-153	
214	159	57.8'	34.4'		45	25.6	9.4	269	+30	299	122	177	+340	517	+ 6	523	614	- 91	-171	
215	160	56.3'	36.5'		13 ⁰⁰	25.6	9.1	260	+30	290	124	166	+340	506	+10	516	601	- 85	-165	
216	160	-	-		55	26.0	9.0	257	+32	289	130	159	+340	499	+17	516				
217	161	55.1'	41.3'		14 ¹⁵	26.2	8.6	246	+32	278	131	147	+340	487	+15	502	591	- 89	-169	
218	148	-	-		30	26.1	9.0	257	+32	289	134	155	+340	495	+15	510				
219	162	54.7'	35.1'		15 ⁰⁵	26.1	8.7	249	+32	281	135	146	+340	486	+12	498	589	- 91	-171	
220	163	53.4'	32.7'		20	26.3	7.8	223	+33	256	137	119	+340	459	+12	471	578	- 101	-181	
221	164	53.3'	29.8'		35	26.6	6.6	189	+34	223	137	86	+340	426	+12	438	578	- 140	-220	
222	165	55.2'	29.7'		55	25.8	7.4	212	+31	243	141	102	+340	442	+ 8	450	594	- 144	-224	
223	166	56.2'	31.7'		16 ¹⁰	25.2	7.9	226	+29	255	142	113	+340	453	+ 7	460	602	- 142	-222	
224	167	56.1'	34.2'		30	24.8	9.2	263	+28	291	142	149	+340	489	+ 6	495	600	- 105	-185	
225	160	-	-		50	24.0	9.9	283	+26	309	139	170	+340	510	+ 6	516				
226	148	-	-		17 ¹⁵	23.2	9.4	269	+23	292	137	155	+340	495	+15	510				
227	148	-	-	8.8.29	9 ⁴⁵	18.2	9.6	274	+ 9	283	115	168	+340	508	+ 2	510				
228	156	-	-		10 ¹⁰	17.2	10.2	292	+ 6	298	110	188	+340	528	- 0	528				

Regen

229	168	59.9'	40.4'		40	16.8	12.4	354	+ 5	359	109	250	+340	590	- 2	588	630	- 42	-122
230	169	59.0'	41.9'		11 ⁰⁰	16.6	11.7	334	+ 5	339	107	232	+340	572	- 3	569	622	- 53	-133
231	170	57.6'	44.1'		30	16.6	10.9	312	+ 5	317	104	213	+340	553	- 4	549	611	- 62	-142
232	160	—	—		13⁴⁵	17.0	10.4	297	+ 6	303	122	181	+340	521	- 5	516			
233	171	54.7'	32.6'		14 ²⁵	17.6	11.1	317	+ 7	324	130	194	+340	534	- 5	529	590	- 61	-141
234	164	—	—		45	18.4	7.9	226	+ 9	235	131	104	+340	444	- 6	438			
235	172	55.3'	27.3'		15 ¹⁵	18.6	8.3	237	+10	247	131	116	+340	456	- 3	453	595	-142	-222
236	173	53.9'	26.1'		30	18.6	7.0	200	+10	210	132	78	+340	418	+ 0	418	584	-166	-246
237	174	52.8'	24.9'		45	18.8	6.8	194	+11	205	132	73	+340	413	+ 3	416	575	-159	-239
238	175	51.6'	23.3'		16 ⁰⁰	18.8	6.6	189	+11	200	131	69	+340	406	+ 6	412	566	-154	-234
239	176	50.5'	24.3'		10	18.8	6.5	180	+11	197	131	66	+340	406	+12	418	557	-139	-219
240	177	50.7'	27.3'		30	18.8	6.9	197	+11	208	132	76	+340	416	+ 9	425	558	-133	-213
241	178	52.3'	27.8'		45	18.8	7.2	206	+11	217	132	85	+340	425	+ 9	434	570	-136	-216
242	179	51.6'	29.9'		17 ⁰⁰	18.6	5.8	166	+10	176	132	44	+340	384	+10	394	565	-171	-251
243	160	—	—		40	18.6	10.0	286	+10	296	130	166	+340	506	+10	516			
244	180	55°4.8'	12.8'	9.8.29	9 ³⁰	19.0	12.6	360	+11	371	115	256	+340	596	- 3	593	675	- 82	-162
245	181	6.1'	7.9'		10 ⁰⁰	19.0	10.9	312	+11	323	110	213	+340	553	+18	571	686	-115	-195
246	182	7.6'	3.3'		30	19.0	12.4	354	+11	365	108	257	+340	597	+ 3	600	700	-100	-180
247	183	8.5'	8°58.4'		45	20.0	11.5	329	+14	343	107	236	+340	576	+10	586	708	-122	-202
248	184	11.2'	57.6'		11 ¹⁵	20.8	11.2	320	+17	337	107	230	+340	570	+13	583	730	-147	-227
249	185	13.9'	57.7'		30	20.8	11.9	340	+17	357	108	249	+340	589	- 7	582	751	-169	-249
250	186	13.8'	59.6'		45	20.8	12.0	343	+17	350	107	243	+340	583	- 4	579	749	-170	-250
251	187	15.7'	59.8'		12 ⁰⁰	20.8	12.8	366	+17	383	105	278	+340	618	-16	602	765	-163	-243
252	187	—	—		14²⁵	20.8	12.9	369	+17	386	116	270	+340	610	- 8	602			
253	185	—	—		40	20.8	12.3	351	+17	368	128	240	+340	580	+ 2	582			
254	186	—	—		15 ⁰⁰	21.0	12.3	351	+17	368	130	238	+340	578	+ 1	579			
255	188	12.5'	9°2.8'		15	21.3	11.4	326	+18	344	132	212	+340	552	- 1	551	739	-188	-268
256	189	10.7'	4.5'		20	21.3	11.8	337	+18	355	134	221	+340	561	- 2	559	724	-165	-245
257	190	8.3'	7.5'		45	21.5	12.7	363	+19	382	135	247	+340	587	- 3	584	704	-120	-200
258	181	—	—		16⁰⁵	21.7	12.1	346	+19	365	135	230	+340	570	+ 1	571			
259	180	—	—		25	22.0	12.7	363	+20	383	136	247	+340	587	+ 6	593			
260	191	4.2'	10.8'		45	22.0	13.2	378	+20	398	137	261	+340	601	+ 2	603	671	- 68	-148
261	192	54°59.2'	26.9'		17 ²⁵	22.0	9.1	260	+20	280	133	147	+340	487	+ 6	493	627	-134	-214
262	193	58.9'	30.7'		45	21.9	11.0	314	+20	334	133	201	+340	541	+ 6	547	623	- 76	-156
263	157	—	—		18 ⁰⁵	21.5	10.8	309	+19	328	132	196	+340	536	+13	549			
264	164	—	—	10.8.29	8 ⁵⁰	18.3	7.9	226	+ 9	235	125	110	+340	450	-12	438			

Laufende Nr.	Stations-Nr.	Geographische Koordinaten		Datum	M. E. Zeit	Temperatur	Ablesung		Temperaturkorrektur in γ	Δ I	Δ II	Tagesvariation in γ	Niveau-Ausgleich	Instrumentenstandkorrektur in γ	Δ IV	Normalfeld in γ	1. Störungswert in γ	2. Störungswert in γ	Bemerkungen
		Breite φ	Länge λ				in Skalen-teilen	in γ											
265	194	54°51.3'	9°26.1'	10.8.29	9 ¹⁰	19.2	7.0	200	+12	212	123	89	+340	429	-10	419	562	-143	-223
266	195	50.4'	21.9'		30	20.0	5.7	163	+14	177	122	55	+340	395	+ 2	397	556	-159	-239
267	196	49.3'	21.3'		50	20.0	5.6	160	+14	174	120	54	+340	394	+ 2	396	548	-152	-232
268	197	49.3'	19.3'		10 ⁰⁵	20.0	5.5	157	+14	171	117	54	+340	394	+ 3	397	548	-151	-231
269	198	48.9'	17.4'		35	20.0	5.5	157	+14	171	114	57	+340	397	+ 6	403	546	-143	-223
270	199	50.6'	19.6'		11 ⁰⁵	20.4	3.2	92	+15	107	109	- 2	+340	338	+ 8	346	559	-213	-293
271	200	51.1'	19.8'		20	20.7	3.6	103	+16	119	108	11	+340	351	+ 6	357	563	-206	-286
272	201	50.2'	20.4'		40	20.9	5.1	145	+17	162	107	55	+340	395	+ 5	400	556	-156	-236
273	202	50.3'	19.8'		12 ⁰⁰	21.4	4.5	129	+18	147	107	40	+340	380	+ 5	385	556	-171	-251
274	203	53.9'	14.0'		25	22.9	4.6	131	+23	154	107	47	+340	387	+ 5	392	586	-194	-274
275	69	—	—		45	22.0	5.4	154	+20	174	109	65	+340	405	+ 5	410			
276	69	—	—		13 ³⁵	21.0	6.1	174	+17	191	117	74	+340	414	- 4	410			
277	204	53.9'	11.3'		50	20.8	5.7	163	+17	180	117	63	+340	403	- 5	398	587	-189	-269
278	203	—	—		14 ⁰⁰	20.4	5.7	163	+15	178	118	60	+340	400	- 8	392			
279	205	52.3'	14.2'		15	20.6	6.0	171	+16	187	118	69	+340	409	-10	399	573	-174	-254
280	206	51.2'	14.7'		30	21.2	4.8	137	+18	155	120	35	+340	375	-12	363	565	-202	-282
281	207	51.9'	12.3'		50	21.6			+19		122				- 8		571		
282	208	51.1'	16.3'		15 ¹⁵	22.4	5.8	174	+21	195	123	72	+240	312	+37	349	564	-215	-295
283	148	—	—	12.8.29	8 ³⁰	19.3	12.7	381	+12	393	122	271	+240	511	- 1	510			
284	160	—	—		55	19.7	12.7	381	+13	394	121	273	+240	513	+ 3	516			
285	164	—	—		9 ²⁰	20.0	10.3	309	+14	323	116	207	+240	447	- 9	438			
286	200	—	—		50	20.8	7.5	225	+17	242	110	132	+240	372	-15	357			
287	209	51.5'	17.9'		10 ¹⁰	20.8	6.9	207	+17	224	106	118	+240	358	- 9	349	566	-217	-297
288	208	—	—		30	20.7	6.6	198	+16	214	105	109	+240	349	± 0	349			
289	210	50.6'	17.4'		50	20.5	7.1	213	+16	229	102	127	+240	367	- 5	362	560	-198	-278
290	211	50.7'	16.9'		11 ⁰⁵	20.5	6.9	207	+16	223	102	121	+240	361	- 8	353	561	-208	-288
291	208	—	—		20	20.5	6.8	204	+16	220	100	120	+240	360	-11	349			
292	212	54.5'	17.6'		55	20.6	7.7	231	+16	247	94	153	+240	393	-11	382	591	-209	-289
293	213	54.1'	15.6'		12 ¹⁵	20.7	7.4	222	+16	238	96	142	+240	382	-12	370	588	-218	-298
294	214	53.0'	16.6'		25	20.8	6.7	201	+17	218	100	118	+240	358	-12	346	579	-233	-313

295	215	52.4'	19.0'		45	20.9	7.0	210	+17	227	98	129	+240	369	-11	358	573	-215	-295
296	216	51.6'	21.8'		13 ⁰⁰	21.2	7.5	225	+18	243	102	141	+240	381	-11	370	567	-197	-277
297	200	—	—		20	21.5	7.4	222	+19	241	108	133	+240	373	-16	357			
298	213	—	—		40	21.7	7.2	216	+19	235	111	124	+240	364	+ 6	370			
299	55	—	—		15 ³⁵	21.7	11.0	314	+19	333	120	213	+240	453	+33	486			
300	217	56.5'	12.5'		16 ⁰⁰	21.3	8.5	255	+18	273	127	146	+240	386	+30	416	608	-192	-272
301	218	55.8'	14.5'		10	20.8	7.6	228	+17	245	132	113	+240	353	+25	378	601	-223	-303
302	219	54.9'	13.1'		20	20.6	8.1	243	+16	259	134	125	+240	365	+22	387	595	-208	-288
303	213	—	—		35	20.3	7.8	234	+15	249	134	115	+240	355	+15	370			
304	220	55.8'	20.0'		17 ⁰⁰	20.3	9.1	273	+15	288	135	153	+240	393	+23	416	600	-184	-264
305	221	55.6'	22.4'		20	20.1	9.4	282	+15	297	134	163	+240	403	+16	419	599	-180	-260
306	222	54.2'	22.4'		30	20.0	8.9	267	+14	281	132	149	+240	389	+12	401	588	-187	-267
307	223	52.9'	21.2'		45	19.8	9.0	270	+14	284	133	151	+240	391	+ 8	399	583	-184	-264
308	216	—	—		18 ⁰⁰	19.8	8.2	246	+14	260	132	128	+240	368	+ 2	370			
309	164	—	—		15	19.8	10.3	309	+14	323	130	193	+240	433	+ 5	438			
310	160	—	—		40	19.5	12.3	369	+13	382	130	252	+240	492	+24	516			Veränderung am Instru- ment
311	187	—	—	13.8.29	16 ⁵⁰	18.4	10.5	300	+ 9	309	132	177	+480	657	-55	602			
312	185	—	—		17 ⁰⁵	18.4	8.7	249	+ 9	258	134	124	+480	604	-22	582			
313	224	55°13.4'	8°54.9'		20	18.5	8.2	234	+10	244	133	111	+480	591	-30	561	747	-186	-266
314	186	—	—		40	18.6	9.1	260	+10	270	134	136	+480	616	-37	579			
315	225	12.7'	9°0.5'		18 ⁰⁰	18.8	8.5	243	+11	254	135	119	+480	599	-38	561	741	-180	-260
316	226	11.4'	0.8'		25	19.0	8.2	234	+11	245	130	115	+480	595	-40	510	730	-220	-300
317	227	11.5'	3.1'		40	19.0	8.5	243	+11	254	130	124	+480	604	-42	562	731	-169	-249
318	188	—	—		19 ⁰⁰	18.9	8.6	246	+11	257	130	127	+480	607	-44	553			
319	185	—	—		15	18.5	9.1	260	+10	270	130	140	+480	620	-38	582			
320	187	—	—		30	18.0	9.7	277	+ 9	286	131	155	+480	635	-33	602			
321	187	—	—	14.8.29	8 ³⁵	17.4	12.7	363	+ 7	370	117	253	+440	693	-91	602			Sprung
322	185	—	—		50	17.2	11.7	334	+ 6	340	117	223	+440	663	-81	582			
323	228	12.4'	8°58.0'		9 ⁰⁵	17.1	11.7	334	+ 6	340	116	224	+440	664	-80	584	739	-155	-235
324	184	—	—		20	17.3	11.5	329	+ 7	336	115	221	+440	661	-78	583			
325	229	9.0'	56.0'		40	17.8	10.0	286	+ 8	294	114	180	+440	620	-60	560	712	-152	-232
326	230	9.2'	50.7'		10 ¹⁰	18.5	11.3	323	+10	333	110	223	+440	663	-50	613	715	-102	-182
327	231	8.7'	53.8'		25	19.5	6.4	183	+13	196	107	89	+440	529	-40	489	710	-221	-301
328	232	8.8'	53.8'		35	20.2	7.2	206	+15	221	107	114	+440	554	-10	544	710	-166	-246
329	183	—	—		55	20.9	8.9	254	+17	271	106	165	+440	605	-19	586			

Laufende Nr.	Stations-Nr.	Geographische Koordinaten		Datum	M. E. Zeit	Temperatur	Ablesung in Skalen- teilen	in γ	Temperatur- korrektur in γ	Δ I	Tagessvariation in γ	Niveau- Ausgleich	Instrumenten- standkorrektur in γ	Normalfeld in γ	1. Störungs- wert in γ	2. Störungs- wert in γ — 80	Bemerkungen				
		Breite φ	Länge λ																		
330	233	55°8.0'	9°0.7'	14.8.29	11 ¹⁰ 25	21.2 21.6	10.3 9.2	294 263	+18 +19	312 282	105 104	207 178	+440 +440	647 618	-18 -18	629 600	703 618	- 74 - 154	Wind		
331	182	—	—		40	21.8	8.6	246	+19	265	103	162	+440	602	-30	572	688	-116 - 196	unsicher		
332	234	6.3'	5.5'		55	22.3	9.1	260	+21	281	104	177	+440	617	-46	571					
333	181	—	—		5.8'	10.6'	12 ¹⁰ 25	23.3 23.4	8.9 8.6	254 246	+24 +24	278 270	104 106	174 164	+440 +440	614 604	-25 -11	589 593	683 604	- 94 - 174	—
334	235	—	—		30	21.2	8.3	237	+18	255	124	131	+440	571	- 3	568	666	- 98 - 178	—		
335	180	—	—		50	21.1	8.5	243	+15	258	127	131	+440	571	- 8	563	678	-115 - 195	Sturm		
336	180	—	—		50	23.0	7.8	223	+23	246	117	129	+440	569	+ 3	572	664	- 92 - 172	—		
337	236	3.4'	10.7'		50	22.0	7.7	220	+20	240	122	118	+440	558	+ 9	567					
338	74	—	—		14 ¹⁰	22.0	7.7	220	+20	240	122	118	+440	558	+ 9	567					
339	237	3.5'	6.4'		30	21.2	8.3	237	+18	255	124	131	+440	571	- 3	568	666	- 98 - 178	—		
340	238	5.0'	6.1'		50	21.1	8.5	243	+15	258	127	131	+440	571	- 8	563	678	-115 - 195	Sturm		
341	181	—	—		15 ¹⁵	21.0	9.0	257	+17	274	132	142	+440	582	-11	571					
342	239	8.3'	10.3'		40	20.8	9.6	274	+17	291	134	157	+440	597	- 8	589	703	-114 - 194	—		
343	240	8.4'	12.3'		55	20.2	9.9	283	+15	298	145	153	+440	593	- 6	587	704	-117 - 197	—		
344	241	7.0'	10.9'		16 ¹⁵	19.9	10.8	309	+14	325	158	165	+440	605	- 5	600	693	- 93 - 173	—		
345	190	—	—		40	19.9	10.8	309	+14	323	174	149	+440	589	- 5	584					
346	242	9.4'	4.7'		55	19.8	11.0	315	+14	329	206	123	+440	563	+ 2	565	713	-148 - 228	—		
347	243	10.8'	8.5'		17 ³⁰	19.5	11.2	320	+13	333	177	156	+440	596	± 0	596	724	-128 - 208	—		
348	185	—	—		18 ⁰⁰	19.0	10.9	312	+11	323	182	141	+440	581	+ 1	582					
349	187	—	—		10	18.3	12.3	351	+ 9	360	214	146	+440	586	+16	602					
350	187	—	—	15.8.29	8 ³⁰	16.8	11.1	317	+ 5	322	135	187	+440	627	-25	602					
351	185	—	—		58	17.1	10.2	294	+ 6	300	130	170	+440	610	-28	582					
352	184	—	—		9 ⁰⁵	17.6	10.0	286	+ 7	293	123	170	+440	610	-27	583					
353	244	9.2'	2.1'		35	18.2	10.0	286	+ 9	295	129	166	+440	606	-15	591	713	-122 - 202	unsicher		
354	245	7.1'	8°57.6'		10 ⁰⁰	19.0	8.7	249	+11	260	129	131	+440	571	-12	559	697	-138 - 218	—		
355	246	5.6'	56.3'		15	20.0	8.0	229	+14	243	131	112	+440	552	- 9	543	685	-142 - 222	—		
356	99	—	—		40	20.0	7.2	206	+14	220	124	96	+440	536	- 6	530					
357	247	4.8'	9°1.0'		11 ⁰⁰	20.0	7.8	223	+14	237	115	122	+440	562	+ 5	557	677	-120 - 200	—		
358	82	—	—		40	20.0	7.8	223	+14	237	130	107	+440	547	+15	562					
359	248	4.8'	8°48.6'		12 ⁰⁰	20.4	8.9	254	+15	269	130	139	+480	619	+12	631	679	- 48 - 128	Sprung		

360	249	7.5'	48.8'		25	20.8	10.1	289	+17	306	138	168	+480	648	+ 8	656	701	- 45	-125
361	249	—	—		13 ²⁰	21.5	9.9	283	+19	302	140	162	+480	642	+14	656			
362	250	6.9'	51.6'		40	21.2	8.0	229	+18	247	137	110	+480	590	+12	602	696	- 94	-174
363	102	—	—		14 ⁰⁵	21.3	11.4	317	+18	335	139	196	+480	676	+10	686			
364	251	4.8'	48.9'		30	21.3	11.4	326	+18	344	138	206	+480	686	+10	696	679	+ 17	- 63
365	252	5.7'	39.7'		50	21.1	12.4	354	+17	371	143	228	+480	708	+ 8	716	689	+ 27	- 53
366	253	8.4'	45.8'		15 ²⁰	21.1	11.1	317	+17	334	151	183	+480	663	+ 6	669	709	- 40	-120
367	254	9.3'	43.9'		45	21.1	12.4	354	+17	371	158	213	+480	693	+ 6	699	716	- 17	- 97
368	255	7.9'	41.2'		16 ⁰⁰	21.1	14.1	403	+17	420	156	264	+480	744	+ 4	748	705	+ 43	- 37
369	256	11.0'	44.4'		40	20.6	11.7	334	+16	350	167	183	+480	663	+ 2	665	730	- 65	-145
370	257	12.0'	46.7'		17 ⁰⁰	19.9	9.7	277	+14	291	163	128	+480	608	+ 8	616	738	-122	-202
371	258	12.9'	51.7'		20	19.0	8.3	237	+11	248	163	85	+480	565	+15	580	744	-164	-244
372	185	—	—		40	19.0	9.6	274	+11	285	166	119	+480	599	-17	582			
373	187	—	—		18 ⁰⁰	19.0	10.0	286	+11	297	156	141	+480	621	-19	602			
374	185	—	—	16.8.29	8 ⁴⁵	16.3	8.5	243	+ 4	247	135	112	+480	592	-12	580			
375	186	—	—		9 ⁰⁰	16.9	8.9	254	+ 5	259	128	131	+480	611	-32	579			
376	259	15.5'	54.9'		20	17.8	9.3	266	+ 8	274	120	154	+480	634	-34	600	764	-164	-244
377	260	14.5'	51.8'		45	18.5	9.2	263	+10	273	120	153	+480	633	-38	595	757	-162	-242
378	261	15.7'	49.5'		10 ¹⁰	19.7	9.0	257	+13	270	116	154	+480	634	-40	594	767	-173	-253
379	258	—	—		30	20.7	8.6	246	+16	262	117	145	+480	625	-45	580			
380	262	11.5'	48.9'		55	22.3	9.3	266	+21	287	114	173	+480	653	-30	623	733	-110	-190
381	263	10.0'	46.9'		11 ¹⁵	23.2	10.4	297	+23	320	124	196	+480	676	-20	656	722	- 66	-146
382	264	9.3'	48.6'		35	23.2	9.1	260	+23	283	120	163	+480	643	-10	633	715	- 82	-162
383	249	—	—		12 ⁰⁰	23.2	9.5	272	+23	295	114	181	+480	661	- 5	656			
384	249	—	—		50	23.5	8.7	249	+24	273	117	156	+480	636	+20	656			
385	265	10.4'	42.9'		13 ²⁰	24.0	10.7	306	+26	332	130	202	+480	682	+10	692	725	- 33	-113
386	266	12.1'	41.8'		50	24.0	10.2	292	+26	318	136	182	+480	662	+12	674	739	- 65	-145
387	267	13.2'	43.6'		14 ¹⁵	24.5	9.3	266	+27	293	143	150	+480	630	+16	646	748	-102	-182
388	268	15.0'	43.5'		30	25.3	7.0	200	+30	230	140	90	+480	570	+18	588	762	-174	-254
389	269	15.4'	40.9'		50	25.5	8.6	246	+30	276	140	136	+480	616	+17	633	764	-131	-211
390	270	13.7'	46.5'		15 ¹⁵	25.6	7.4	212	+30	242	134	108	+480	588	+18	606	751	-145	-225
391	271	13.3'	49.1'		30	25.4	6.9	197	+30	227	135	92	+480	572	+16	588	747	-159	-239
392	258	—	—		50	24.8	7.1	203	+28	231	149	82	+480	562	+18	580			
393	185	—	—		16 ¹⁰	24.0	7.8	223	+26	249	163	86	+480	566	+14	580			
394	272	17.4'	9°1.9'	17.8.29	9 ¹⁰	18.0	8.9	254	+ 9	263	128	135	+480	615	+22	637	778	-141	-221
395	273	17.0'	8°58.9'		30	18.5	8.6	246	+10	256	127	129	+480	609	+16	625	776	-151	-231

Laufende Nr.	Stations-Nr.	Geographische Koordinaten		Datum	M. E. Zeit	Temperatur	Ablesung in Skalen- teilen	in γ	Temperatur- korrektur in γ	Δ I	Tagesvariation in γ	Niveau- Ausgleich	Instrumenten- standkorrektur in γ	Δ IV	Normalfeld in γ	1. Störungs- wert in γ	2. Störungs- wert in γ - 80	Bemerkungen		
		Breite φ	Länge λ																	
396	274	55°17.8'	8°56.0'	17.8.29	9 ⁴⁵	18.8	8.6	246	+11	257	124	133	+480	613	+10	623	782	-159	-239	
397	275	18.2'	52.9'		10 ⁰⁰	19.0	10.6	303	+11	314	122	192	+480	672	+ 4	676	786	-110	-190	
398	276	18.5'	51.1'		15	19.5	9.7	277	+13	290	120	170	+480	650	+ 2	652	789	-137	-217	
399	277	18.8'	48.6'		30	19.8	11.3	323	+14	337	116	221	+480	701	- 2	699	791	- 92	-172	
400	278	19.4'	45.9'		45	19.9	12.9	369	+14	383	115	268	+480	748	- 5	743	797	- 54	-134	
401	279	18.4'	44.9'		11 ⁰⁰	20.0	10.9	312	+14	326	110	216	+480	696	- 5	691	789	- 98	-178	
402	280	17.0'	43.9'		15	20.2	8.8	252	+15	267	112	155	+480	635	- 7	628	778	-150	-230	
403	281	16.4'	40.3'		45	20.8	9.3	266	+17	283	113	170	+480	650	- 8	642	774	-132	-212	
404	268	—	—		12¹⁵	20.6	7.6	217	+16	233	116	117	+480	597	- 9	588				
405	278	—	—		35	21.1	13.0	372	+17	389	116	273	+480	753	-10	743				
406	278	—	—		15¹⁵	21.3	13.2	378	+18	396	135	261	+480	741	+ 2	743				
407	282	20.3'	46.5'		30	21.6	14.8	424	+19	443	138	305	+480	785	- 3	782	804	- 22	-102	
408	283	20.1'	48.7'		45	21.6	14.6	417	+19	436	141	295	+480	775	+ 2	777	802	- 25	-105	
409	284	20.0'	41.9'		16 ⁰⁰	20.8	14.8	424	+17	441	138	303	+480	783	+ 6	789	802	- 13	- 93	
410	285	20.0'	55.3'		20	20.5	14.9	427	+16	443	140	303	+480	783	+ 8	791	800	- 9	- 89	
411	286	19.4'	57.8'		35	20.2	12.9	369	+15	384	142	242	+480	722	+12	734	795	- 61	-141	
412	287	18.2'	9°0.6'		50	19.8	10.6	303	+14	317	150	167	+480	647	+15	662	785	-123	-203	
413	272	—	—		17¹⁵	19.4	9.2	263	+13	276	145	131	+480	611	+26	637				
414	185	—	—		19.8.29	8⁵⁰	16.6	6.8	194	+ 5	199	125	74	+480	554	+26	580			
415	287	—	—			9⁴⁰	17.4	9.6	274	+ 7	281	120	161	+480	641	+21	662			
416	288	18.4'	8°58.0'		10 ⁰⁰	18.4	10.0	286	+ 9	295	118	177	+480	657	+19	676	787	-111	-191	
417	274	—	—			20	19.0	8.0	229	+11	240	114	126	+480	606	+17	623			
418	289	17.5'	49.3'			50	18.6	7.3	209	+10	219	114	105	+480	585	± 0	585	782	-197	-277
419	290	16.3'	52.2'		11 ¹⁰	19.2	6.0	172	+12	184	112	72	+480	552	+ 9	561	771	-210	-290	
420	291	16.7'	47.6'			35	20.0	7.1	203	+14	217	116	101	+480	581	+ 8	589	775	-186	-266
421	278	—	—			55	20.4	12.5	357	+15	372	117	255	+480	735	+ 8	743			
422	292	21.4'	44.3'		12 ¹⁵	20.5	14.0	400	+16	416	118	298	+480	778	+ 8	786	813	- 27	-207	
423	293	21.7'	40.3'		13 ²⁵	20.5	13.3	380	+16	396	135	261	+480	741	+12	753	815	- 62	-142	
424	294	20.4'	40.7'			50	20.5	14.3	409	+16	425	142	283	+480	763	+15	778	805	- 27	-207
425	295	22.7'	43.7'		14 ³⁰	20.5	13.9	398	+16	414	148	266	+480	746	+18	764	824	- 60	-140	

starker Wind

426	296	22.7'	45.6'		50	19.7	14.4	411	+13	424	158	266	+480	746	+22	768	824	- 56	-136
427	297	21.5'	46.5'		15 ⁰⁰	19.5	14.7	421	+13	434	154	280	+480	760	+18	778	813	- 35	-115
428	282	-	-		15	19.0	15.1	432	+11	443	156	287	+480	767	+15	782			
429	298	22.5'	49.1'		30	18.8	14.8	424	+11	435	163	272	+480	752	+14	766	821	- 55	-135
430	299	22.1'	52.5'		55	19.0	17.1	489	+11	500	173	327	+480	807	+13	820	818	+ 2	- 78
431	300	22.7'	54.9'		16 ²⁰	19.1	17.1	489	+12	501	172	329	+480	809	+14	823	822	+ 1	- 79
432	301	21.7'	55.6'		35	19.5	17.2	492	+13	505	174	331	+480	811	+15	826	814	+ 12	- 68
433	302	20.9'	55.9'		40	19.3	16.8	481	+12	493	173	320	+480	800	+13	813	807	+ 6	- 64
434	303	21.0'	59.6'		17 ⁰⁵	19.1	15.0	429	+12	441	171	270	+480	750	+14	764	808	- 44	-124
435	304	20.0'	9°1.7'		20	19.0	13.6	389	+11	400	164	236	+480	716	+15	731	799	- 68	-148
436	305	18.6'	4.0'		40	19.0	11.1	317	+11	328	158	170	+480	650	+15	665	788	-123	-203
437	287	-	-		18 ⁰⁰	19.0	10.8	309	+11	320	153	167	+480	647	+15	662			
438	305	-	-	20.8.29	9 ⁰⁰	16.0	10.4	297	+ 3	300	125	175	+480	655	+10	665			
439	306	20.0'	3.6'		15	16.8	12.7	363	+ 5	368	127	241	+480	721	+10	731	799	- 68	-148
440	307	21.8'	3.6'		30	17.8	14.1	403	+ 8	411	124	287	+480	767	+10	777	813	- 36	-116
441	308	23.2'	2.9'		55	18.8	15.7	449	+11	460	122	338	+480	818	+11	829	825	+ 4	- 76
442	309	23.8'	6.3'		10 ¹⁵	19.8	16.4	469	+14	483	120	363	+480	843	+12	855	829	+ 26	- 54
443	310	23.3'	9.0'		30	19.9	16.0	458	+14	472	116	356	+480	836	+13	849	825	+ 24	- 56
444	311	22.0'	10.7'		45	19.8	15.8	452	+14	466	112	354	+480	834	+14	848	814	+ 34	- 46
445	312	20.0'	14.6'		11 ⁰⁵	19.8	16.3	466	+14	480	109	371	+480	851	+13	864	798	+ 66	- 14
446	313	21.5'	8.9'		30	19.8	15.0	429	+14	443	108	335	+480	815	+11	826	811	+ 15	- 65
447	314	21.8'	5.5'		45	19.9	14.8	424	+14	438	109	329	+480	809	+ 8	817	813	+ 4	- 76
448	307	-	-		55	20.3	13.7	392	+15	407	110	297	+480	777	± 0	777			
449	304	-	-		12 ¹⁵	21.3	12.2	349	+18	367	115	252	+480	732	- 1	731			
450	272	-	-		13 ²⁰	22.2	9.4	269	+21	290	132	158	+480	638	- 1	637			
451	315	19.1'	6.5'		35	22.4	11.4	326	+21	347	138	209	+480	689	+ 4	693	792	- 99	-179
452	316	20.0'	7.6'		14 ⁰⁰	22.6	12.6	361	+22	383	142	241	+480	721	+ 8	729	798	- 69	-149
453	317	18.5'	9.1'		15	22.5	11.1	317	+21	338	144	194	+480	674	+11	685	786	-101	-181
454	318	19.4'	11.0'		30	22.5	13.7	392	+21	413	145	268	+480	748	+13	761	793	- 32	-112
455	319	18.6'	12.7'		50	22.5	14.3	409	+21	430	145	285	+480	765	+16	781	787	- 6	- 86
456	312	-	-		15 ¹⁰	22.9	17.0	490	+23	513	148	365	+480	845	+19	864			
457	320	18.5'	15.8'		25	22.8	15.2	435	+22	457	153	304	+480	784	+17	801	784	+ 17	- 63
458	321	17.9'	18.0'		40	22.5	13.9	398	+21	419	156	263	+480	743	+18	761	780	- 19	- 99
459	322	16.9'	19.1'		50	22.0	13.1	375	+20	395	156	239	+480	719	+18	737	772	- 35	-115
460	323	16.4'	16.3'		16 ¹⁰	22.0	11.9	340	+20	360	153	207	+480	687	+20	707	768	- 61	-141
461	324	16.7'	13.7'		30	22.0	11.8	337	+20	357	150	207	+480	687	+21	708	771	- 63	-143

Laufende Nr.	Stations-Nr.	Geographische Koordinaten		Datum	M. E. Zeit	Temperatur	Ablesung		Temperaturkorrektur in γ	Δ I	Tagesvariation in γ	Δ II	Niveau-Ausgleich	Instrumentenstandkorrektur in γ	Δ III	Δ IV	Normalfeld in γ	1. Störungswert in γ	2. Störungswert in γ	Bemerkungen
		Breite φ	Länge λ				in Skalenteilen	in γ												
462	325	55°17.3'	9°8.7'	20.8.29	16 ⁵⁰	22.5	9.8	280	+21	301	152	149	+480	629	+22	651	776	-125	-205	
463	326	16.1'	10.2'		17 ¹⁰	22.5	9.5	272	+21	293	150	143	+480	623	+20	643	767	-124	-204	
464	327	15.4'	7.6'		30	22.3	8.4	240	+21	261	145	116	+480	596	+18	614	764	-150	-230	
465	328	16.4'	4.4'		50	22.0	8.8	252	+20	272	144	128	+480	608	+17	625	770	-145	-225	
466	272	—	—		18 ⁰⁵	20.8	9.1	260	+17	277	136	141	+480	621	+16	637				
467	307	—	—	21.8.29	9 ⁴⁰	16.8	14.1	403	+ 5	408	118	290	+480	770	+ 7	777				
468	312	—	—		10 ¹⁰	18.0	16.9	487	+ 9	496	115	381	+480	861	+ 3	864				
469	329	21.8'	19.3'		15	20.0	18.2	520	+14	534	114	420	+480	900	+ 0	900	811	+ 89	+ 9	
470	330	19.0'	24.7'		11 ¹⁰	22.1	15.0	429	+20	449	113	336	+480	816	- 4	812	788	+ 24	- 56	
471	331	16.0'	28.4'		30	22.3	10.3	294	+21	315	115	200	+480	680	- 6	674	763	- 89	- 169	
472	332	12.2'	28.8'		55	22.5	9.0	257	+21	278	117	161	+480	641	- 11	630	732	- 102	- 182	
473	333	8.5'	26.3'		12 ¹⁵	22.8	10.1	289	+22	311	122	189	+480	669	- 10	659	702	- 43	- 123	
474	192	—	—	22.8.29	9 ³⁵	19.5	4.8	137	+13	150	122	28	+480	508	-15	493				
475	334	54°56.5'	27.3'		10 ⁰⁰	19.3	2.4	69	+12	81	122	-41	+480	439	-12	427	605	-178	-258	
476	335	56.3'	23.7'		15	19.3	2.0	57	+12	69	122	-53	+480	427	- 8	419	604	-185	-265	
477	220	—	—		35	19.0	1.9	54	+11	65	120	-55	+480	425	- 9	416				
478	336	58.2'	17.9'		11 ⁰⁰	19.0	3.0	86	+11	97	121	-24	+480	456	- 7	449	621	-172	-252	
479	337	55°0.9'	19.4'		20	19.2	4.8	137	+12	149	122	27	+480	507	- 1	506	642	-136	-216	
480	338	3.4'	20.1'		35	19.2	6.9	197	+12	209	123	86	+480	566	+12	578	662	- 84	- 164	
481	191	—	—		50	19.0	7.5	214	+11	225	125	100	+480	580	+23	603				
482	339	6.8'	20.6'		12 ¹⁰	18.8	9.0	257	+11	268	129	139	+480	619	+14	633	689	- 56	- 136	
483	340	8.7'	19.0'		30	18.8	8.6	246	+11	257	133	124	+480	604	+16	620	706	- 86	- 166	
484	341	11.7'	18.0'		50	19.0	9.0	257	+11	268	137	131	+480	611	+19	630	730	- 100	- 180	
485	341	—	—		14 ⁰⁰	20.0	9.3	266	+14	280	142	138	+480	618	+12	630				
486	342	13.6'	18.2'		15	20.8	10.3	294	+17	311	142	169	+480	649	+10	659	746	- 87	- 167	
487	343	14.4'	14.9'		35	21.7	8.9	254	+19	273	142	131	+480	611	+14	625	752	-127	-207	
488	344	15.8'	17.4'		50	21.5	11.2	320	+19	339	143	196	+480	676	+13	689	763	- 74	- 154	
489	322	—	—		15 ¹⁰	21.2	12.9	369	+18	387	142	245	+480	725	+12	737				
490	345	15.3'	21.8'		25	20.9	11.7	334	+17	351	144	207	+480	687	+18	705	758	- 53	- 133	
491	346	14.8'	24.1'		45	20.8	10.8	309	+17	326	144	182	+480	662	+16	678	754	- 76	- 156	

492	347	14.7'	26.9'		16 ⁰⁰	20.8	10.0	286	+17	303	145	158	+480	638	+14	652	753	-101	-181
493	348	14.2'	32.8'		40	20.8	9.1	260	+17	277	143	134	+480	614	+ 8	622	748	-126	-206
494	332	—	—		17⁰⁰	20.0	9.3	266	+14	280	142	138	+480	618	+12	630			
495	349	7.3'	26.7'		25	19.0	10.2	292	+11	303	141	162	+480	642	+14	656	692	- 36	-116
496	350	4.8'	26.0'		40	18.0	9.5	272	+ 9	281	141	140	+480	620	+16	636	672	- 36	-116
497	192	—	—	23.8.29	8³⁵	19.0	4.3	123	+11	134	125	9	+480	489	+ 4	493			
498	351	54°59.5'	32.8'		9 ⁰⁰	19.4	6.0	172	+13	185	121	64	+480	544	- 6	538	628	- 90	-170
499	352	55°0.9'	34.9'		20	19.4	7.0	200	+13	213	119	94	+480	574	- 8	566	639	- 73	-153
500	353	0.4'	38.4'		45	19.4	6.8	194	+13	207	115	92	+480	572	-10	562	634	- 72	-152
501	354	2.0'	34.1'		10 ²⁰	20.0	7.4	212	+14	226	110	116	+480	596	-12	584	648	- 64	-144
502	355	0.9'	29.8'		50	21.8	6.3	180	+19	199	109	90	+480	570	-14	556	640	- 84	-164
503	356	1.0'	26.7'		11 ⁰⁵	22.2	5.8	166	+21	187	107	80	+480	560	-16	544	642	- 98	-178
504	192	—	—		20	22.1	4.0	114	+20	134	109	25	+480	505	-12	493			
505	357	54°59.1'	23.5'		35	21.8	3.7	106	+22	128	108	20	+480	500	-12	488	627	-139	-219
506	358	59.9'	20.3'		55	21.4	2.7	77	+21	98	111	-13	+480	467	+ 2	469	634	-165	-245
507	359	59.7'	16.8'		12 ¹⁵	20.8	3.2	92	+17	109	114	- 5	+480	475	± 0	475	633	-158	-238
508	359	—	—		55	19.8	3.4	97	+14	111	122	-11	+480	469	+ 6	475			
509	360	57.8'	14.8'		13 ¹⁰	20.0	2.0	57	+14	71	122	-51	+480	429	+ 8	437	618	-181	-261
510	361	59.8'	13.2'		25	20.0	3.8	109	+14	123	124	- 1	+480	479	+11	490	634	-144	-224
511	362	55°1.4'	15.5'		45	20.0	5.0	143	+14	157	125	32	+480	512	+14	526	647	-121	-201
512	363	2.9'	13.2'		14 ⁰⁰	20.3	6.3	180	+15	195	127	68	+480	548	+16	564	659	- 95	-175
513	180	—	—		20	20.5	7.3	209	+16	225	130	95	+480	575	+18	593			
514	364	4.5'	16.4'		35	20.6	6.3	180	+16	196	134	62	+480	542	+24	566	672	-106	-186
515	365	2.9'	17.8'		55	20.5	6.3	180	+16	196	138	58	+480	538	+23	561	658	- 97	-177
516	191	—	—		15 ¹⁵	20.3	7.9	226	+15	241	138	103	+480	583	+20	603			
517	366	3.3'	22.9'		30	19.9	6.8	194	+14	208	140	68	+480	548	+20	568	660	- 92	-172
518	367	2.0'	22.8'		50	19.9	5.2	149	+14	163	140	23	+480	503	+20	523	650	-127	-207
519	368	0.7'	23.3'		16 ²⁵	19.8	5.9	169	+14	183	138	45	+480	525	+16	541	640	- 99	-179
520	369	54°58.2'	22.9'		45	19.5	3.7	106	+13	119	137	-18	+480	462	+14	476	620	-144	-224
521	370	57.1'	23.8'		17 ⁰⁰	19.2	2.8	80	+12	92	138	-46	+480	434	+ 7	441	611	-170	-250
522	371	58.1'	27.0'		25	19.0	4.4	126	+11	137	140	- 3	+480	477	+ 2	479	618	-139	-219
523	192	—	—		35	18.4	4.1	117	+ 9	126	141	-15	+510	495	- 2	493			
524	192	—	—	24.8.29	10²⁰	19.8	3.2	92	+14	106	116	-10	+510	500	- 7	493			Regen
525	372	55°1.8'	25.4'		38	18.8	5.9	169	+11	180	116	64	+510	574	-12	562	648	- 86	-166
526	373	3.8'	26.2'		56	18.4	7.3	209	+ 9	218	118	100	+510	610	-10	600	664	- 64	-144
527	374	6.2'	26.4'		11 ¹⁴	18.1	10.2	292	+ 9	301	126	185	+510	695	- 5	690	684	+ 6	- 74

Sprung

Laufende Nr.	Stations-Nr.	Geographische Koordinaten		Datum	M. E. Zeit	Temperatur	Ablesung in Skalen- teilen	in γ	Temperatur- korrektur in γ	Δ I	Tagesvariation in γ	Δ II	Niveau- Ausgleich	Δ III	Instrumenten- standkorrektur in γ	Δ IV	Normalfeld in γ	1. Störungs- wert in γ	2. Störungs- wert in γ — 80	Bemerkungen
		Breite φ	Länge λ																	
528	375	55°6.9'	9°23.8'	24.8.29	11 ³³	17.7	8.5	243	+ 8	251	116	135	+510	645	- 4	641	690	- 49	-129	
529	376	9.6'	26.9'		12 ⁰⁰	17.3	9.5	272	+ 7	279	120	159	+510	669	- 4	665	712	- 47	-127	
530	377	11.5'	28.1'		17	17.2	9.7	277	+ 7	284	121	163	+510	673	- 6	667	727	- 60	-140	
531	332	—	—		32	17.0	8.7	249	+ 6	255	127	128	+510	638	— 8	630				
532	378	13.7'	29.3'		48	17.0	9.5	272	+ 6	278	128	150	+510	660	- 16	644	745	- 101	-181	
533	379	12.4'	25.9'		13 ⁰⁶	17.0	9.9	283	+ 6	289	131	158	+510	668	- 16	652	734	- 82	-162	
534	332	—	—		14 ³⁷	17.4	9.5	272	+ 7	279	143	136	+510	646	— 16	630				
535	380	13.1'	23.3'		15 ⁰³	17.9	10.8	309	+ 8	317	138	179	+510	689	- 12	677	741	- 64	-144	
536	381	11.8'	22.1'		20	18.4	10.0	286	+ 9	295	140	155	+510	665	- 10	655	730	- 75	-155	
537	382	13.7'	21.1'		43	18.5	10.8	309	+ 10	319	146	173	+510	683	- 9	674	746	- 72	-152	
538	341	—	—		16 ¹⁵	18.5	9.2	263	+ 10	273	146	127	+510	637	— 7	630				
539	383	10.1'	17.8'		28	18.0	8.4	240	+ 9	249	149	100	+510	610	- 3	607	717	- 110	-190	
540	384	8.7'	16.3'		48	17.4	8.4	240	+ 7	247	150	97	+510	607	+ 3	610	706	- 96	-176	
541	385	5.5'	20.5'		17 ¹⁸	17.1	8.5	243	+ 6	249	148	101	+510	611	+ 5	616	679	- 63	-143	
542	191	—	—		30	17.0	8.1	232	+ 6	238	146	92	+510	602	+ 1	603				
543	332	—	—	26.8.29	9 ⁰⁸	19.0	9.7	277	+ 11	288	126	162	+470	632	— 2	630				Sprung unsicher
544	386	16.0'	25.9'		44	19.2	11.3	323	+ 12	335	114	221	+470	691	+ 5	696	764	- 68	-148	
545	387	16.0'	23.8'		10 ⁰³	19.2	12.1	346	+ 12	358	110	248	+470	718	- 3	715	764	- 49	-129	—
546	331	—	—		31	19.2	10.9	312	+ 12	324	108	216	+470	686	— 12	674				
547	388	17.6'	27.9'		45	19.2	13.1	375	+ 12	387	107	280	+470	750	- 1	749	777	- 28	-108	—
548	389	18.4'	30.1'		11 ⁰²	19.2	11.3	323	+ 12	335	107	228	+470	698	+ 4	702	782	- 80	-160	
549	390	20.2'	29.6'		14	19.2	15.6	446	+ 12	458	107	351	+470	821	+ 1	822	797	+ 25	- 55	
550	391	19.1'	29.8'		27	19.2	14.4	411	+ 12	423	106	317	+470	787	+ 3	790	788	+ 2	- 78	
551	392	21.4'	30.2'		43	19.6	15.7	449	+ 13	462	107	355	+470	825	+ 4	829	807	+ 22	- 58	
552	393	21.0'	33.0'		59	20.0	14.2	406	+ 14	420	108	312	+470	782	+ 8	790	803	- 13	- 93	
553	394	21.5'	36.0'		12 ¹³	20.4	13.5	386	+ 15	401	109	292	+470	762	+ 4	766	807	- 41	-121	
554	394	—	—		13 ¹⁵	20.2	13.3	380	+ 15	395	119	276	+470	746	+ 20	766	807	— 41	-121	
555	329	—	—		54	20.2	18.7	535	+ 15	550	127	423	+470	893	+ 12	905				
556	395	21.3'	23.6'		14 ⁰⁸	20.6	17.7	506	+ 16	522	129	393	+470	863	+ 10	873	807	+ 66	- 14	
557	396	21.6'	27.0'		25	21.3	17.2	493	+ 18	511	130	381	+470	851	+ 16	867	809	+ 58	- 22	

558	397	22.7'	28.9'		14 ⁴³	21.3	16.3	466	+18	484	131	353	+470	823	+20	843	818	+ 25	- 55
559	398	24.9'	28.7'		57	21.3	17.4	498	+18	516	131	385	+470	855	+25	880	835	+ 45	- 35
560	399	27.6'	28.5'		15 ¹⁰	21.3	20.5	587	+18	605	130	475	+470	945	+35	980	858	+122	+ 42
561	400	30.2'	27.6'		38	21.2	23.4	669	+18	687	130	557	+470	1027	+30	1057	879	+178	+ 98
562	401	30.5'	20.7'		56	21.0	20.4	584	+17	601	130	471	+470	941	+30	971	882	+ 89	+ 9
563	402	29.0'	15.4'		16 ¹²	20.5	20.7	593	+16	609	130	479	+470	949	+31	980	870	+110	+ 30
564	403	26.9'	8.3'		30	19.4	18.1	517	+13	530	127	403	+470	873	+17	890	854	+ 36	- 44
565	404	24.8'	9.5'		46	19.4	17.3	495	+13	508	127	381	+470	851	+14	865	837	+ 28	- 52
566	311	—	—		17⁰¹	19.6	16.9	487	+13	500	125	375	+470	845	+ 3	848			
567	405	22.5'	13.2'		22	20.0	17.5	501	+14	515	125	390	+470	860	+ 8	868	818	+ 50	- 30
568	406	23.1'	15.4'		37	20.0	17.9	512	+14	526	124	402	+470	872	+10	882	823	+ 59	- 21
569	407	22.5'	18.0'		53	19.8	18.4	526	+14	540	125	415	+470	885	+10	895	817	+ 78	- 2
570	329	—	—		18¹⁰	19.4	18.6	532	+13	545	123	422	+470	892	+13	905			
571	332	—	—		52	19.0	10.2	292	+11	303	124	179	+470	649	-19	630			
572	408	4.9'	23.2'	27.8.29	8 ³⁷	18.6	9.7	277	+10	287	122	165	+470	635	+12	647	674	- 27	- 107
573	191	—	—		53	18.7	8.5	243	+10	253	122	131	+470	601	+ 2	603			
574	409	5.8'	17.2'		9 ¹⁵	18.8	9.1	260	+11	271	123	148	+470	618	+ 2	620	682	- 62	- 142
575	410	6.3'	14.3'		35	18.9	9.0	257	+11	268	122	146	+470	616	- 1	615	686	- 71	- 151
576	411	7.3'	15.7'		51	19.3	9.2	263	+12	275	120	155	+470	625	- 4	621	694	- 73	- 153
577	412	6.9'	13.2'		10 ¹⁵	20.3	8.6	246	+15	261	115	146	+470	616	- 8	608	692	- 84	- 164
578	180	—	—		47	21.3	7.9	226	+18	244	111	133	+470	603	-10	593			
579	413	4.3'	9.4'		11 ¹⁴	21.6	7.5	214	+19	233	110	123	+470	593	-12	581	671	- 90	- 170
580	414	4.2'	4.2'		26	21.6	6.6	189	+19	208	110	98	+470	568	-14	554	672	-118	-198
581	415	6.3'	3.1'		51	21.7	7.4	212	+19	231	112	119	+470	589	-16	573	689	-116	-196
582	416	6.1'	0.0'		12 ¹⁰	22.3	7.4	212	+21	233	113	120	+470	590	-18	572	688	-116	-196
583	184	—	—		42	23.2	7.8	223	+23	246	114	132	+470	602	-19	583			
584	186	—	—		14⁴⁵	24.3	8.1	232	+27	259	132	127	+470	597	-18	579			
585	417	13.7'	3.3'		15 ⁰⁵	24.8	8.4	240	+28	268	136	132	+470	602	-16	586	749	-163	-243
586	418	12.6'	5.6'		25	24.8	7.7	220	+28	248	137	111	+470	581	-12	569	739	-170	-250
587	419	14.1'	7.7'		40	24.8	8.3	237	+28	265	136	129	+470	599	- 9	590	751	-161	-241
588	420	15.0'	10.6'		16 ⁰⁰	24.9	8.7	249	+28	277	138	139	+470	609	- 5	604	758	-154	-234
589	421	12.6'	14.1'		19	24.9	8.6	246	+28	274	140	134	+470	604	- 1	603	738	-135	-215
590	422	12.1'	10.8'		32	24.7	7.6	217	+28	245	140	105	+470	575	+ 2	577	734	-157	-237
591	423	8.6'	3.2'		17 ⁰⁰	24.7	8.2	234	+28	262	140	122	+470	592	+ 4	596	708	-112	-192
592	182	—	—		16	24.4	8.0	229	+30	259	138	121	+470	591	+ 9	600			
593	374	—	—	28.8.29	8 ³⁶	19.8	11.0	314	+14	328	126	202	+470	672	+18	690			

Laufende Nr.	Stations-Nr.	Geographische Koordinaten		Datum	M. E. Zeit	Temperatur	Ablesung		Temperaturkorrektur in γ	Tragesvariation in γ	Niveau-Ausgleich	Instrumentenstandkorrektur in γ	Normalfeld in γ	1. Störungswert in γ	2. Störungswert in γ	Bemerkungen			
		Breite φ	Länge λ				In Skalen-teilen	In γ											
594	424	55°6.6'	9°31.0'	28.8.29	9 ⁰⁷	20.3	11.9	340	+15	355	122	233	+470	703	+ 9	712	687	+ 25	- 55
595	425	4.8'	32.7'		40	21.7	11.2	320	+19	339	120	219	+470	689	+ 1	690	671	+ 19	- 61
596	426	5.4'	29.0'		58	22.7	12.5	357	+22	379	116	263	+470	733	- 8	725	677	+ 48	- 32
597	374	-	-		10¹⁴	23.5	11.5	329	+24	353	115	238	+470	708	-18	690			
598	427	7.3'	28.2'		31	23.7	10.8	309	+22	331	112	219	+470	689	-14	675	692	- 17	- 97
599	376	-	-		54	22.8	10.4	297	+22	319	112	207	+470	677	-12	665			
600	428	9.4'	29.2'		11 ⁰⁹	23.0	12.3	351	+23	374	111	263	+470	733	- 16	717	709	+ 8	- 72
601	332	-	-		30	23.1	9.3	266	+23	289	111	178	+470	648	-18	630			
602	429	11.6'	40.8'		48	23.3	10.3	294	+24	318	109	209	+470	679	-19	660	725	- 65	- 145
603	430	9.6'	30.8'		12 ⁰⁵	23.4	10.7	306	+24	330	107	223	+470	693	-18	675	711	- 36	- 116
604	429	-	-		54	23.5	10.1	289	+24	313	105	208	+470	678	-18	660			
605	431	11.6'	35.4'		13 ¹⁸	23.6	8.5	243	+25	268	107	161	+470	631	-18	613	726	-113	-193
606	432	12.8'	34.3'		40	23.7	9.2	263	+25	288	109	179	+470	649	-16	623	736	-113	-193
607	433	12.8'	37.3'		14 ⁰¹	23.8	8.7	249	+25	274	112	162	+470	632	-19	613	735	-122	-202
608	434	12.3'	40.4'		19	24.0	8.1	232	+26	258	116	142	+470	612	-20	592	731	-139	-219
609	435	14.4'	38.4'		46	24.1	7.9	226	+26	252	122	130	+470	600	-21	579	748	-169	-249
610	436	15.3'	41.3'		15 ⁰²	23.8	8.0	229	+25	254	126	128	+470	598	-25	573	755	-182	-262
611	437	16.4'	44.3'		16 ³⁷	23.9	8.2	234	+26	260	131	129	+470	599	-22	577	764	-187	-267
612	438	17.1'	46.2'		17 ¹⁹	23.4	8.4	240	+24	264	131	133	+470	603	-24	579	770	-191	-271
613	439	16.0'	46.4'		58	22.0	7.5	214	+20	234	130	104	+470	574	-26	548	761	-213	-293
614	440	2.9'	29.1'	29.8.29	8 ⁵⁵	20.6	6.3	195	+16	211	125	86	+470	556	- 6	550	656	-106	-186
615	191	-	-		9 ³⁸	21.1	8.8	252	+17	269	122	147	+470	617	-14	603			
616	441	4.7'	20.4'		54	21.6	8.6	246	+19	265	114	151	+470	621	- 5	616	673	- 57	-137
617	442	8.4'	22.7'		10 ²²	21.7	9.2	263	+19	282	107	175	+470	645	- 5	640	702	- 62	-142
618	443	10.1'	22.3'		43	22.2	9.2	263	+21	284	113	171	+470	641	- 5	636	717	- 81	-161
619	341	-	-		11 ⁰⁷	22.2	8.9	254	+21	275	108	167	+470	637	- 7	630			
620	184	-	-		12 ⁵²	23.3	6.6	189	+24	213	102	111	+470	581	+ 2	583			
621	444	8.9'	8°55.1'		13 ¹⁵	23.1	3.4	105	+23	128	102	26	+470	496	+ 1	497	711	-214	-294
622	445	7.8'	55.0'		30	23.2	3.3	102	+23	125	107	18	+470	488	± 0	488	702	-214	-294
623	446	7.1'	54.8'		47	23.0	3.3	102	+23	125	109	16	+470	486	- 1	485	697	-212	-292

Dybhatt.

624	447	6.6'	53.1'		14 ⁰³	22.7	3.5	108	+22	130	111	19	+470	489	- 2	487	689	-202	-282
625	448	8.0'	51.9'		25	22.0	4.4	136	+20	156	116	40	+470	510	- 3	507	705	-198	-278
626	449	8.4'	53.3'		40	21.6	4.3	133	+19	152	119	33	+470	503	- 5	498	707	-209	-289
627	450	8.9'	53.2'		55	21.3	4.5	139	+18	157	120	37	+470	507	- 6	501	711	-210	-290
628	451	9.1'	52.1'		15 ⁰⁷	21.3	4.3	133	+18	151	120	31	+470	501	- 6	495	714	-219	-299
629	452	10.5'	50.6'		15 ⁴⁷	21.5	5.5	170	+19	189	125	63	+470	533	- 7	526	726	-200	-280
630	232	—	—		16¹⁹	21.4	6.6	189	+18	207	125	82	+470	552	- 8	544			
631	441	—	—		17⁰⁵	21.0	9.4	269	+17	286	129	157	+470	627	- 11	616			
632	191	—	—		22	20.7	8.9	254	+16	270	130	140	+470	610	- 7	603			
633	441	—	—		38	20.0	9.3	266	+14	280	130	150	+470	620	- 4	616			
634	453	29.0'	9°9.2'	19.9.30	9 ¹⁰	13.6	28.9	734	-11	723	179	544	+545	1089	+ 5	1094	871	+223	+143
635	454	29.0'	12.2'		35	13.7	28.4	721	-10	711	176	535	+545	1080	+ 1	1081	871	+210	+130
636	402	—	—		10⁰⁰	14.1	24.6	624	- 8	616	176	440	+545	985	- 5	980			
637	455	29.2'	17.3'		20	14.3	25.3	643	- 6	637	169	468	+545	1013	- 3	1010	872	+138	+ 58
638	456	29.1'	19.8'		45	14.6	24.6	624	- 3	621	171	450	+545	995	- 2	993	871	+122	+ 42
639	457	29.1'	22.3'		11 ⁰⁰	15.4	26.7	678	+ 3	681	171	510	+545	1055	- 1	1054	870	+184	+104
640	458	28.1'	10.6'		40	16.0	26.6	676	+ 8	684	168	516	+545	1061	- 1	1060	864	+196	+116
641	453	—	—		50	16.2	28.0	711	+10	721	172	549	+545	1094	± 0	1094			
642	305	—	—		14⁴⁰	18.0	10.9	277	+25	302	193	109	+545	654	+11	665			
643	459	25.1'	16.9'		15 ⁴⁵	18.3	23.0	584	+28	612	225	387	+545	932	+ 7	939	839	+100	+ 20
644	460	26.5'	20.9'		16 ¹⁵	18.4	24.3	617	+29	646	227	419	+545	964	+ 6	970	849	+121	+ 41
645	461	24.9'	22.7'		40	18.3	23.3	593	+28	621	209	412	+545	957	+ 7	964	836	+128	+ 48
646	462	25.4'	25.1'		17 ⁰⁰	17.4	24.3	617	+20	637	208	429	+545	974	+ 5	979	840	+139	+ 59
647	463	26.2'	27.9'		20	17.5	24.8	630	+12	642	204	438	+545	983	+ 4	987	846	+141	+ 61
648	464	30.4'	24.6'		18 ⁰⁰	17.6	30.3	769	+ 5	774	210	564	+545	1109	+ 4	1113	880	+233	+153
649	453	—	—		40	15.0			+ 0	201									
650	373	—	—	20.9.30	10³⁰	16.8	7.4	188	+14	202	170	32	+545	577	+23	600			
651	374	—	—		55	17.8	10.9	277	+23	300	172	128	+545	673	+17	690			
652	377	—	—		11¹⁹	17.9	10.8	277	+24	298	172	126	+545	671	- 4	667			
653	345	—	—		58	18.2	11.8	299	+27	326	171	155	+545	700	+ 5	705			
654	453	—	—		14⁴⁰	19.0	28.1	713	+24	747	192	555	+545	1100	- 6	1094			
655	465	30.9'	10.9'		15 ⁰⁵	17.8	31.8	808	+23	831	194	637	+545	1182	+ 4	1186	886	+300	+220
656	466	32.3'	13.0'		32	17.8	31.3	795	+23	818	189	629	+545	1174	+ 3	1177	897	+280	+200
657	467	33.9'	12.9'		50	17.8	30.8	782	+23	805	189	616	+545	1161	+ 2	1163	910	+253	+173
658	468	33.8'	15.4'		16 ¹⁰	17.4	28.2	716	+20	736	192	544	+545	1089	+ 1	1090	909	+181	+101
659	469	32.6'	17.4'		27	17.2	26.9	683	+18	701	194	507	+545	1052	± 0	1052	900	+152	+ 72

Laufende Nr.	Stations-Nr.	Geographische Koordinaten		Datum	M. E. Zeit	Temperatur	Ablesung		Temperaturkorrektur in γ	Tagesvariation in γ	Niveau-Ausgleich	Instrumentenstandkorrektur in γ		Normalfeld in γ	1. Störungswert in γ	2. Störungswert in γ	Bemerkungen	
		Breite φ	Länge λ				in Skalen-teilen	in γ				Δ I	Δ II	Δ III	Δ IV			
660	470	55°30.7'	9°16.9'	20.9.30	16 ⁴⁵	16.9	27.1	688	+15	703	194	509	+545	1054	+ 1	1055	884	+171 + 91
661	455	—	—		17 ⁰⁰	16.5	25.4	645	+12	657	192	465	+545	1010	± 0	1010		
662	471	30.5'	22.7'		23	15.9	27.2	691	+ 7	698	192	506	+545	1051	± 0	1051	882	+169 + 89
663	472	30.5'	23.7'		35	15.4	28.3	718	+ 3	721	190	531	+545	1076	+ 2	1078	882	+196 + 116
664	453	—	—		18 ¹²	15.0	29.4	746	+ 0	746	197	549	+545	1094	± 0	1094		
665	453	—	—	21.9.30	10 ¹⁰	13.8	28.6	726	-10	716	169	547	+545	1092	+ 2	1094		
666	473	29.6'	5.7'		35	13.3	28.6	726	-14	712	174	538	+545	1083	+ 2	1085	876	+209 + 129
667	474	30.0'	1.4'		55	12.8	26.8	681	-18	663	176	487	+545	1032	+ 3	1035	880	+155 + 75
668	475	31.7'	2.8'		11 ¹²	12.7	29.7	754	-19	735	180	555	+545	1100	+ 4	1104	894	+210 + 130
669	476	32.7'	5.0'		28	12.7	31.3	795	-19	776	186	590	+545	1135	+ 6	1141	902	+239 + 159
670	477	33.1'	7.0'		42	12.8	34.4	873	-18	855	184	671	+545	1216	+ 4	1220	904	+316 + 236
671	478	31.5'	6.9'		12 ⁰⁰	12.8	31.6	803	-18	785	183	602	+545	1147	+12	1159	891	+268 + 188
672	453	—	—		20	12.8	29.1	739	-18	721	184	537	+545	1082	+12	1094		
673	453	—	—		14 ³³	12.8	29.5	749	-18	731	192	539	+545	1084	+10	1094		
674	403	—	—		52	12.7	21.8	554	-19	535	192	343	+545	888	+ 2	890		
675	479	26.4'	4.2'		15 ⁰⁵	12.8	22.4	569	-18	551	192	359	+545	904	+ 2	906	850	+ 56 - 24
676	480	26.6'	0.4'		20	13.0	22.8	579	-16	563	202	361	+545	906	+ 1	907	853	+ 54 - 26
677	481	28.3'	1.1'		37	13.1	24.8	630	-15	615	203	412	+545	957	± 0	957	866	+ 91 + 11
678	482	30.6'	8°55.4'		16 ⁰³	13.1	25.9	658	-15	643	202	441	+545	986	- 1	985	885	+100 + 20
679	483	35.5'	56.5'		16 ²⁵	13.1	26.0	661	-15	646	204	442	+545	987	+ 3	990	924	+ 66 - 14
680	484	38.3'	57.2'		43	13.1	22.2	564	-15	549	208	341	+545	886	+ 1	887	946	- 59 - 139
681	485	38.2'	59.8'		17 ⁰⁸	13.1	23.9	607	-15	592	213	379	+545	924	- 2	922	946	- 24 - 104
682	486	37.8'	9°4.5'		30	13.1	29.2	742	-15	727	234	493	+545	1038	- 4	1034	942	+ 92 + 12
683	487	35.2'	9.7'		55	13.1	34.3	871	-15	856	221	635	+545	1180	- 6	1174	921	+253 + 173
684	478	—	—		18 ²⁰	13.1	33.7	856	-15	841	216	625	+545	1170	-11	1159		
685	453	—	—	22.9.30	8 ⁵⁰	13.0	29.2	742	-16	726	178	548	+545	1093	+ 1	1094		
686	478	—	—		9 ²²	13.1	31.8	808	-15	793	178	615	+545	1160	- 1	1159		
687	488	32.3'	6.9'		37	13.2	32.6	828	-14	814	180	634	+545	1179	+ 3	1182	897	+285 + 205
688	477	—	—		50	13.5	33.8	859	-12	847	178	669	+545	1214	+ 6	1220		
689	489	34.1'	8.2'		10 ⁰⁵	13.6	33.7	856	-11	845	179	666	+545	1211	+ 3	1214	912	+302 + 222

690	490	36.4'	11.1'		10 ³⁰	13.7	31.9	810	-10	800	176	624	+545	1169	+	1	1170	930	+240	+160
691	491	36.4'	14.3'		43	14.0	27.9	709	-8	701	177	524	+545	1069	-	1	1068	930	+138	+ 58
692	492	35.6'	14.1'		11 ⁰⁵	14.1	28.9	734	-7	727	175	552	+545	1097	-	3	1094	924	+170	+ 90
693	493	34.4'	14.1'		22	14.5	30.3	769	-4	765	174	591	+545	1136	-	5	1131	914	+217	+137
694	494	32.8'	14.9'		40	15.3	29.3	744	+2	746	175	571	+545	1116	-	6	1110	901	+219	+139
695	453	-	-		12⁴⁰	16.2	28.5	724	+10	734	175	559	+545	1104	-10	1094				
696	495	30.0'	8.2'		14 ⁰³	18.0	29.7	754	+25	779	176	603	+545	1148	-	7	1141	879	+262	+182
697	453	-	-		20	17.6	27.9	709	+21	730	176	554	+545	1099	-5	1094				
698	496	30.1'	14.2'		45	17.3	28.6	726	+19	745	178	567	+545	1112	-	5	1107	880	+227	+147
699	497	26.7'	14.7'		15 ²⁰	17.7	22.9	580	+22	602	179	423	+545	968	-	7	961	852	+109	+ 29
700	455	-	-		45	18.5	24.5	622	+30	652	181	471	+545	1016	-6	1010				
701	498	27.9'	20.0'		16 ⁰⁷	18.2	23.0	584	+27	611	181	430	+545	975	-	8	967	861	+106	+ 26
702	499	27.1'	24.3'		35	17.1	25.5	648	+17	665	181	484	+545	1029	-	12	1017	854	+163	+ 83
703	399	-	-		17⁰⁰	16.5	25.0	635	+12	647	184	463	+545	1008	-28	980				
704	500	28.0'	32.7'		30	16.4	21.2	541	+11	652	183	469	+545	1014	-	20	994	860	+134	+ 54
705	501	25.5'	31.7'		18 ⁰⁰	16.3	20.5	521	+10	531	184	347	+545	892	-	20	872	837	+ 35	- 45
706	453	-	-	23.9.30	8 ⁵⁵	12.2	29.3	744	-23	721	174	547	+545	1092	+2	1094				
707	502	31.4'	5.9'		9 ⁴⁵	13.8	31.7	805	-10	795	171	624	+545	1169	+	1	1170	890	+280	+200
708	503	33.3'	4.0'		10 ¹⁴	15.2	30.4	772	+2	774	176	598	+545	1143	-	2	1141	906	+235	+155
709	504	33.8'	1.3'		40	16.5	29.6	751	+12	763	173	590	+545	1135	-	6	1129	910	+219	+139
710	505	34.7'	1.3'		11 ⁰⁰	17.5	28.3	718	+21	739	168	571	+545	1116	-	7	1109	918	+191	+111
711	506	35.5'	1.0'		20	17.5	27.3	694	+21	715	181	534	+545	1079	-	9	1070	924	+146	+ 66
712	453	-	-		12¹⁰	17.8	28.3	718	+23	741	177	564	+545	1109	-15	1094				
713	453	-	-		14¹⁰	18.5	27.9	709	+30	739	183	556	+545	1101	-7	1094				
714	455	-	-		35	18.5	24.7	627	+30	657	184	473	+545	1018	-8	1010				
715	507	30.9'	19.5'		50	17.4	25.2	640	+20	660	184	476	+545	1021	-	7	1014	885	+129	+ 49
716	508	30.0'	19.6'		15 ⁰⁵	16.8	25.5	648	+14	662	184	478	+545	1023	-	7	1016	878	+138	+ 58
717	509	33.3'	18.7'		25	15.9	25.2	640	+7	647	186	461	+545	1006	-	6	1000	904	+ 96	+ 16
718	510	34.6'	17.6'		16 ⁰⁰	15.5	26.4	671	+4	675	188	487	+545	1032	-	4	1028	915	+113	+ 33
719	511	35.7'	18.1'		15	15.2	26.6	676	+2	678	192	486	+545	1031	-	5	1026	925	+101	+ 21
720	512	36.6'	18.8'		30	15.1	26.8	681	+1	682	189	493	+545	1038	-	4	1034	932	+102	+ 22
721	513	35.3'	20.5'		50	14.8	28.0	711	-2	709	186	523	+545	1068	-	3	1065	920	+145	+ 65
722	514	34.3'	23.8'		17 ⁰⁵	14.5	33.5	851	-4	847	192	655	+545	1200	-	2	1198	912	+286	+206
723	515	33.4'	21.9'		20	14.4	27.2	691	-5	686	192	494	+545	1039	-	1	1038	905	+133	+ 53
724	455	-	-		18¹⁰	14.4	26.1	663	-5	658	192	466	+545	1011	-1	1010				
725	453	-	-	24.9.30	9 ¹⁰	14.7	28.8	732	-2	730	174	556	+545	1101	-7	1094				

Laufende Nr.	Stations-Nr.	Geographische Koordinaten		Datum	M. E. Zeit	Temperatur	Ablesung		Temperaturkorrektur in γ	Δ I	Tagesvariation in γ	Niveau-Ausgleich	Instrumentenstandkorrektur in γ	Δ IV	Normalfeld in γ	I. Störungswert in γ	— 2. Störungswert in γ	Bemerkungen
		Breite φ	Länge λ				in Skalen-teilen	in γ										
726	516	55°28.3'	9°5.9'	24.9.30	9 ⁴⁰	15.7	25.2	640	+ 6	646	168	478	+545	1023	- 8	1015	865	+150 + 70
727	455	—	—		10 ²⁰	16.7	24.9	633	+14	647	174	473	+545	1018	- 8	1010		
728	517	30.5'	25.7'		5 ⁰	17.0	30.1	764	+16	780	177	603	+545	1148	- 7	1141	881	+260 + 180
729	518	30.9'	25.3'		11 ⁰⁵	17.5	31.0	787	+21	808	171	637	+545	1182	- 7	1175	884	+291 + 211
730	519	31.3'	25.5'		15	17.7	32.5	826	+22	848	170	678	+545	1223	- 6	1217	887	+330 + 250
731	520	31.7'	25.9'		25	17.7	33.5	851	+22	873	168	705	+545	1250	- 5	1245	891	+354 + 274
732	521	31.9'	25.3'		40	17.8	32.9	836	+23	859	167	692	+545	1237	- 6	1231	892	+339 + 259
733	522	32.4'	25.2'		50	18.0	32.5	826	+25	851	164	687	+545	1232	- 7	1225	896	+329 + 249
734	523	33.4'	24.7'		12 ⁰⁵	18.2	32.7	831	+27	858	163	695	+545	1240	- 7	1233	905	+328 + 248
735	524	32.6'	23.5'		25	19.2	27.4	696	+36	732	168	564	+545	1109	- 6	1103	899	+204 + 124
736	525	31.4'	22.8'		40	19.1'	25.7	653	+35	688	168	520	+545	1065	- 7	1058	889	+169 + 89
737	455	—	—		13 ⁰⁰	19.0	24.2	614	+34	648	175	473	+545	1018	- 8	1010		
738	453	—	—		14 ⁵⁰	18.3	28.0	711	+28	739	186	553	+545	1098	- 4	1094		
739	526	29.8'	10.0'		15 ⁰⁵	18.0	29.8	756	+25	781	191	590	+545	1135	- 4	1131	877	+254 + 174
740	527	31.5'	12.5'		25	17.5	30.8	782	+21	803	187	616	+545	1161	- 3	1158	891	+267 + 187
741	528	31.7'	14.4'		45	17.2	29.4	746	+18	764	186	578	+545	1123	- 2	1121	893	+228 + 148
742	529	31.8'	16.6'		16 ⁰⁰	17.0	27.0	686	+16	702	189	513	+545	1058	- 1	1057	892	+165 + 85
743	530	34.4'	11.3'		25	17.0	32.3	821	+16	837	189	648	+545	1193	+ 1	1194	914	+280 + 200
744	531	36.4'	8.9'		45	17.0	32.1	815	+16	831	189	642	+545	1187	+ 3	1190	930	+260 + 180
745	532	37.4'	8.6'		17 ⁰⁵	17.0	30.4	772	+16	788	186	602	+545	1147	+ 4	1151	938	+213 + 133
746	533	36.7'	7.3'		25	16.8	31.6	803	+14	817	199	618	+545	1163	+ 5	1168	934	+234 + 154
747	534	35.8'	6.3'		50	16.7	32.4	823	+14	837	206	631	+545	1176	- 2	1174	926	+248 + 168
748	478	—	—		18 ²⁰	16.3	31.7	805	+10	815	196	619	+545	1164	- 5	1159		
749	453	—	—	25.9.30	8 ⁵⁰	14.6	28.5	724	- 3	721	174	547	+545	1092	+ 2	1094		
750	455	—	—		9 ¹⁵	15.3	25.1	637	+ 2	639	171	468	+545	1013	- 3	1010		
751	400	—	—		45	16.1	29.9	759	+ 9	768	168	600	+545	1145	(-88)	1057		
752	535	31.0'	27.6'		55	16.1	30.8	782	+ 9	791	166	625	+545	1170	± 0	1170	885	+285 + 205
753	536	31.9'	27.6'		10 ⁰⁵	16.1	30.3	769	+ 9	778	166	612	+545	1157	+ 1	1158	892	+266 + 186
754	537	32.8'	27.0'		20	17.0	32.1	815	+16	831	161	670	+545	1215	+ 2	1217	900	+317 + 237
755	538	33.7'	26.7'		35	17.8	32.9	836	+23	859	161	698	+545	1243	+ 3	1246	908	+338 + 258

Diff. durch
Neubauten

756	539	34.7'	26.0'		45	18.2	32.8	834	+27	861	161	700	+545	1245	+ 4	1249	916	+333	+253
757	540	36.0'	25.9'		11 ⁰⁰	18.7	30.5	775	+31	806	160	646	+545	1191	+ 5	1196	926	+270	+190
758	541	37.2'	25.3'		20	19.0	29.3	744	+34	778	161	617	+545	1162	+ 4	1166	937	+229	+149
759	542	38.8'	24.6'		40	18.6	27.1	688	+30	718	164	554	+545	1099	+ 1	1100	949	+151	+ 71
760	535	—	—		12 ³⁰	16.9	30.3	769	+15	784	166	618	+545	1163	+ 7	1170			
761	542	—	—		13 ¹⁰	16.3	27.9	709	+10	719	173	546	+545	1091	+ 9	1100			
762	543	40.2'	20.0'		30	15.7	26.6	676	+ 6	682	175	507	+545	1052	+10	1062	961	+101	+ 21
763	544	42.0'	23.1'		50	15.8	29.2	742	+ 6	748	174	574	+545	1119	+11	1130	975	+155	+ 75
764	545	42.4'	26.5'		14 ¹²	16.4	27.7	704	+11	715	178	537	+545	1082	+12	1094	978	+116	+ 36
765	546	42.9'	30.7'		35	16.7	29.7	754	+14	768	179	589	+545	1134	+11	1145	982	+163	+ 83
766	547	41.8'	31.7'		15 ⁰⁰	17.0	25.0	635	+16	651	180	471	+545	1016	+10	1026	972	+ 54	- 26
767	548	40.2'	31.1'		15	16.9	23.1	586	+15	601	181	420	+545	965	+10	975	960	+ 15	- 65
768	549	38.9'	30.2'		30	16.7	23.6	599	+14	613	180	433	+545	978	+ 9	987	949	+ 38	- 42
769	550	37.3'	29.9'		40	16.3	26.7	678	+10	688	181	507	+545	1052	+ 9	1061	936	+125	+ 45
770	551	35.2'	29.7'		16 ⁰⁰	16.3	28.8	732	+10	742	182	560	+545	1105	+ 8	1113	919	+194	+114
771	552	33.8'	29.4'		15	16.3	31.5	800	+10	810	185	625	+545	1170	+ 7	1177	907	+270	+190
772	553	31.2'	28.9'		30	16.5	28.0	711	+12	723	185	538	+545	1083	+ 7	1090	887	+203	+123
773	535	—	—		45	16.5	31.1	790	+12	802	185	617	+545	1162	+ 8	1170			
774	554	29.1'	26.4'		17 ¹⁵	15.6	28.5	724	+ 5	729	184	545	+545	1090	+ 3	1093	870	+223	+143
775	555	29.4'	24.8'		30	15.2	29.2	742	+ 2	744	184	560	+545	1105	+ 1	1106	872	+234	+154
776	556	29.7'	23.6'		45	15.1	28.1	713	+ 1	714	182	532	+545	1077	- 4	1073	875	+198	+118
777	455	—	—		18 ¹⁰	14.5	26.2	666	- 4	662	181	481	+545	1026	-16	1010			
778	455	—	—	26.9.30	8 ⁵⁰	12.8	26.0	661	-18	643	174	469	+545	1014	- 4	1010			
779	535	—	—		9 ²⁰	12.8	31.7	805	-18	787	172	615	+545	1160	+10	1170			
780	557	31.9'	38.4'		10 ⁰⁰	12.8	22.4	569	-18	551	172	379	+545	924	+ 1	925	891	+ 34	- 46
781	558	31.5'	33.3'		15	12.8	29.4	746	-18	728	170	558	+545	1103	- 3	1100	889	+211	+131
782	535	—	—		40	12.8	32.0	813	-18	795	168	627	+545	1172	- 2	1170			
783	559	30.6'	30.9'		11 ⁰⁰	12.9	28.1	713	-17	696	166	530	+545	1075	- 4	1071	882	+189	+109
784	560	32.0'	36.1'		20	13.3	24.7	627	-14	613	163	450	+545	995	- 8	987	892	+ 95	+ 15
785	561	32.1'	40.8'		35	14.0	20.9	531	- 8	523	164	359	+545	904	-10	894	893	+ 1	- 79
786	562	31.2'	43.0'		50	15.6	13.4	340	+ 5	345	166	179	+545	724	-10	714	886	-172	-252
787	557	—	—		13 ⁰⁰	16.4	22.3	566	+11	577	168	409	+545	954	-29	925			
788	563	32.9'	39.3'		20	16.5	20.6	523	+12	535	173	362	+545	907	- 7	900	900	± 0	- 80
789	564	34.1'	42.6'		40	16.5	26.4	671	+12	683	174	509	+545	1054	+ 4	1058	909	+149	+ 69
790	565	34.1'	44.7'		14 ⁰⁰	16.8	26.9	683	+14	697	174	523	+545	1068	+ 2	1070	909	+161	+ 81
791	566	34.3'	40.0'		20	16.8	23.7	602	+14	616	179	437	+545	982	+ 4	986	910	+ 76	- 4

Laufende Nr.	Stations-Nr.	Geographische Koordinaten		Datum	M. E. Zeit	Temperatur in Skalenstellen	Ablesung in γ	Temperaturkorrektur in γ	Δ I	Tagesvariation in γ	Δ II	Niveau-Ausgleich	Instrumentenstandkorrektur in γ	Δ III	Δ IV	Normalfeld in γ	1. Störungswert in γ	2. Störungswert in γ	Bemerkungen
		Breite φ	Länge λ																
792	567	55°35.2'	9°39.3'	26.9.30	14 ³⁵	16.7	24.0	609	+ 14	623	177	446	+ 545	991	+ 6	997	919	+ 78	- 2
793	568	36.9'	36.8'		50	16.4	21.1	536	+ 11	547	179	368	+ 545	913	+ 7	920	932	- 12	- 92
794	569	38.7'	36.2'		15 ⁰⁵	15.5	21.4	543	+ 3	549	180	369	+ 545	914	+ 6	920	948	- 28	- 108
795	570	40.2'	34.6'		20	15.2	21.0	533	+ 2	535	181	354	+ 545	899	+ 9	908	960	- 52	- 132
796	571	41.1'	36.1'		40	14.8	22.0	559	- 2	557	183	374	+ 545	919	+ 10	929	967	- 38	- 118
797	572	38.2'	33.7'		16 ¹⁵	14.8	21.4	544	- 2	542	185	357	+ 545	902	+ 11	913	943	- 30	- 110
798	573	36.7'	32.9'		30	14.8	20.9	531	- 2	529	183	346	+ 545	891	+ 12	903	932	- 29	- 109
799	574	35.0'	35.6'		50	14.8	20.5	521	- 2	519	183	336	+ 545	881	+ 14	895	917	- 22	- 102
800	575	34.8'	32.9'		17 ¹⁰	14.7	22.5	571	- 2	569	185	384	+ 545	929	+ 18	947	915	+ 32	- 48
801	576	33.8'	31.8'		30	14.5	27.8	706	- 4	702	181	521	+ 545	1066	+ 20	1086	907	+ 179	+ 99
802	535	—	—		45	14.1	31.1	790	- 7	783	181	601	+ 545	1146	+ 24	1170			
803	453	—	—	27.9.30	13 ²⁰	12.8	29.9	759	- 18	741	179	562	+ 545	1107	- 13	1094			
804	482	—	—		50	15.4	24.9	633	+ 3	636	181	455	+ 545	1000	- 15	985			
805	577	30.9'	8°52.8'		14 ¹⁰	16.9	22.1	561	+ 15	576	182	394	+ 545	939	- 13	926	888	+ 38	- 42
806	578	31.0'	50.5'		25	17.1	19.0	482	+ 17	499	181	318	+ 545	863	- 12	851	889	- 38	- 118
807	579	31.2'	48.1'		35	17.7	17.9	455	+ 22	477	183	294	+ 545	839	- 11	828	891	- 63	- 143
808	580	31.3'	45.8'		50	18.1	14.9	378	+ 26	404	184	220	+ 545	765	- 10	755	892	- 137	- 217
809	581	31.5'	42.3'		15 ⁰⁵	18.1	12.5	318	+ 26	344	186	158	+ 545	703	- 8	695	894	- 199	- 279
810	582	31.5'	41.3'		20	17.4	11.8	299	+ 20	319	187	132	+ 545	677	- 7	670	894	- 224	- 304
811	583	31.6'	38.3'		40	16.9	12.9	328	+ 15	343	186	157	+ 545	702	- 8	694	895	- 201	- 281
812	584	31.5'	36.5'		55	16.9	13.4	335	+ 15	350	187	163	+ 545	708	- 10	698	894	- 196	- 276
813	585	30.3'	40.0'		16 ¹⁵	17.2	12.6	320	+ 18	338	192	146	+ 545	691	- 12	679	884	- 205	- 285
814	586	29.2'	38.5'		30	16.8	13.4	340	+ 14	354	187	167	+ 545	712	- 12	700	876	- 176	- 256
815	587	28.2'	40.1'		45	15.6	14.7	373	+ 5	378	189	189	+ 545	734	- 14	720	858	- 138	- 218
816	588	27.8'	42.4'		17 ⁰⁰	15.6	14.6	371	+ 5	376	187	189	+ 545	734	- 22	712	864	- 152	- 232
817	296	—	—		25	15.4	17.2	437	+ 3	440	190	250	+ 545	795	- 27	768			
818	403	—	—		18 ¹⁵	14.9	21.9	556	- 1	555	188	367	+ 545	912	- 22	890			
819	403	—	—	28.9.30	8 ²⁰	10.3	23.4	595	- 37	558	170	388	+ 545	933	- 43	890			
820	312	—	—		9 ⁰⁰	10.4	21.7	551	- 36	515	168	347	+ 545	892	- 28	864			
821	332	—	—		55	12.2	10.7	279	- 23	249	166	83	+ 545	628	+ 2	630			

822	589	15.3'	9°36.5'		10 ³⁵	12.2	8.3	211	-23	188	165	23	+545	568	+10	578	756	-178	-258
823	436	-	-		55	12.9	7.9	201	-17	184	163	21	+545	566	+ 7	573			
824	590	15.7'	42.7'		11 ¹⁰	13.0	4.7	119	-16	103	162	-59	+545	486	+ 8	494	759	-265	-345
825	591	15.3'	55.2'		13 ⁴⁵	13.7	3.6	91	-10	81	185	-104	+545	441	+ 6	447	753	-306	-386
826	592	16.1'	55.9'		14 ⁰⁰	13.6	4.1	104	-11	93	182	-89	+545	456	+ 5	461	760	-299	-379
827	593	16.6'	54.9'		15	13.4	4.4	112	-13	99	189	-90	+545	455	+ 4	459	764	-305	-385
828	594	17.8'	56.5'		30	13.3	5.5	140	-14	126	188	-62	+545	483	+ 3	486	774	-288	-368
829	595	19.4'	56.5'		45	13.3	6.8	173	-14	159	187	-28	+545	517	+ 3	520	787	-267	-347
830	596	21.0'	56.5'		15 ⁰⁰	13.4	8.2	208	-13	195	181	+14	+545	559	+ 3	562	793	-231	-311
831	597	22.2'	55.5'		10	14.0	11.2	284	-8	276	181	95	+545	640	+ 3	643	810	-167	-247
832	598	23.6'	54.8'		25	14.1	14.3	363	-7	356	192	164	+545	709	+ 3	712	822	-110	-190
833	599	24.6'	53.0'		35	14.1	17.2	437	-7	430	195	235	+545	780	+ 3	783	830	-47	-127
834	600	25.9'	51.9'		50	13.9	22.1	561	-9	552	194	358	+545	903	+ 3	906	841	+ 65	- 15
835	601	27.1'	50.5'		16 ⁰⁰	13.9	22.9	582	-9	573	188	385	+545	930	+ 4	934	851	+ 83	+ 3
836	602	28.3'	48.5'		15	14.1	24.7	627	-7	620	188	432	+545	977	+ 4	981	860	+121	+ 41
837	603	29.2'	46.9'		30	14.3	25.1	637	-6	631	194	437	+545	982	+ 5	987	869	+118	+ 38
838	557	-	-		17 ³⁰	14.4	22.7	576	-5	571	196	375	+545	920	+ 5	925			
839	478	-	-	29.9.30	8 ⁴⁵	11.1	31.8	810	-31	779	161	618	+545	1163	- 4	1159			
840	604	38.4'	5.9'		9 ³²	12.2	28.2	716	-23	693	166	527	+545	1072	- 6	1066	947	+119	+ 39
841	605	39.0'	7.4'		50	13.3	27.9	709	-14	695	169	526	+545	1071	- 9	1062	952	+110	+ 30
842	533	-	-		10 ³⁵	13.9	32.2	818	-9	809	174	635	+545	1180	-12	1168			
843	606	38.7'	10.1'		11 ¹²	14.6	28.2	716	-3	713	186	527	+545	1072	-14	1058	950	+108	+ 28
844	607	39.3'	13.3'		40	15.3	24.6	624	+ 2	626	183	443	+545	988	-18	970	953	+ 17	- 63
845	608	38.3'	14.9'		50	15.8	25.2	640	+ 6	646	184	462	+545	1007	-22	985	945	+ 40	- 40
846	609	37.4'	16.7'		12 ⁰⁵	16.3	25.3	643	+10	653	179	474	+545	1019	-22	997	938	+ 59	- 21
847	478	-	-	30.9.30	40	16.4	31.8	808	+11	819	182	637	+545	1182	-23	1159			
848	403	-	-	30.9.30	8 ³⁵	11.5	22.1	561	-28	533	162	371	+545	916	-26	890			
849	610	24.6'	2.0'		9 ⁰⁵	11.4	20.9	531	-29	502	180	322	+545	867	- 3	864	837	+ 27	- 53
850	307	-	-		27	11.3	17.7	449	-30	419	182	237	+545	782	- 5	777			
851	611	23.1'	8°59.3'		50	11.8	20.1	510	-26	484	190	294	+545	839	- 6	833	825	+ 8	- 72
852	612	24.2'	56.2'		10 ¹²	12.4	20.6	523	-21	502	204	298	+545	843	- 7	836	834	+ 2	- 78
853	613	25.1'	53.8'		35	13.0	20.6	523	-16	507	186	321	+545	866	- 8	858	842	+ 16	- 64
854	614	26.5'	57.2'		52	13.5	23.0	584	-12	572	194	378	+545	923	- 8	915	852	+ 63	- 17
855	615	28.6'	57.0'		11 ²⁰	15.1	24.1	612	+ 1	613	187	426	+545	971	- 8	963	869	+ 94	+ 14
856	616	27.5'	54.4'		37	16.1	20.3	515	+ 9	524	180	344	+545	889	- 8	881	861	+ 20	- 60
857	617	29.4'	55.0'		58	16.6	24.2	620	+13	633	182	451	+545	996	- 8	988	875	+113	+ 33

Insel Fünen

888	640	37.7'	48.1'		55	14.7	19.8	503	- 2	501	211	290	+ 545	835	+ 2	837	943	- 106	- 186
889	482	-	-		17 ³⁵	14.3	25.5	648	- 6	642	204	438	+ 545	983	+ 2	985			
890	453	-	-		18 ⁰⁸	12.9	30.9	784	- 17	767	206	561	+ 545	1106	- 12	1094			
891	403	-	-	2.10.30	15 ⁴⁰	12.5	23.2	589	- 21	568	195	373	+ 545	918	- 28	890			
892	278	-	-		16 ³³	13.0	17.2	437	- 16	421	215	206	+ 545	751	- 8	743			
893	289	-	-		50	13.5	9.2	234	- 12	222	196	26	+ 545	571	+ 14	585			
894	641	34.3'	45.1'		17 ³⁰	12.8	17.8	452	- 18	434	193	241	+ 545	786	+ 12	798	915	- 117	- 197
895	642	25.2'	47.7'		45	11.9	18.5	470	- 25	445	195	250	+ 545	795	+ 6	801	843	- 42	- 122
896	643	24.8'	51.1'		18 ⁰⁰	11.0	20.8	528	- 32	496	190	306	+ 545	851	- 10	841	839	+ 2	- 78
897	403	-	-	3.10.30	35	10.2	23.7	602	- 38	564	194	370	+ 545	915	- 25	890			
898	403	-	-		8 ⁵⁰	10.6	23.0	584	- 35	549	180	369	+ 545	914	- 24	890			
899	614	-	-		9 ²⁰	11.8	22.5	571	- 26	545	175	370	+ 545	915	± 0	915			
900	644	26.9'	53.3'		35	12.0	21.2	539	- 24	515	174	341	+ 545	886	- 14	872	856	+ 16	- 64
901	645	26.6'	49.7'		50	12.8	17.8	452	- 18	434	174	260	+ 545	805	- 8	797	854	- 57	- 137
902	646	27.9'	48.4'		10 ⁰⁵	13.2	17.0	432	- 14	418	174	244	+ 545	789	- 7	782	864	- 82	- 162
903	647	26.6'	46.9'		25	14.0	15.3	388	- 8	380	175	205	+ 545	750	- 8	742	854	- 112	- 192
904	641	-	-		48	14.8	17.3	439	- 2	437	174	263	+ 545	808	- 10	798			
905	648	26.0'	44.7'		11 ⁰⁸	14.8	14.4	366	- 2	364	169	195	+ 545	740	- 8	732	850	- 118	- 198
906	649	25.4'	42.3'		15	14.8	14.6	371	- 2	369	174	195	+ 545	740	- 4	736	845	- 109	- 189
907	650	25.5'	38.9'		30	14.9	15.1	384	- 1	383	168	215	+ 545	760	- 1	759	846	- 87	- 167
908	651	26.9'	39.1'		45	14.9	14.5	368	- 1	367	173	194	+ 545	739	+ 4	735	857	- 122	- 202
909	587	-	-		12 ⁰⁸	14.9	13.9	354	- 1	353	185	168	+ 545	713	+ 7	720			
910	587	-	-		13 ¹⁰	15.1	14.4	366	+ 1	367	200	167	+ 545	712	+ 8	720			
911	582	-	-		35	14.9	12.4	314	- 1	313	197	116	+ 545	661	+ 9	670			
912	652	33.3'	34.2'		14 ¹⁰	14.6	14.7	373	- 3	370	203	167	+ 545	712	- 6	706	908	- 202	- 282
913	653	32.3'	30.7'		30	14.1	16.4	417	- 7	410	208	202	+ 545	747	+ 5	752	901	- 149	- 229
914	654	31.8'	27.2'		45	14.1	19.1	485	- 7	428	215	263	+ 545	808	+ 2	810	897	- 87	- 167
915	655	31.5'	22.0'		15 ⁰⁰	14.1	25.1	637	- 7	630	236	394	+ 545	939	+ 2	941	896	+ 45	- 35
916	656	29.3'	23.5'		23	14.3	17.8	452	- 6	446	234	212	+ 545	757	+ 3	760	878	- 118	- 198
917	657	27.8'	30.3'		50	14.8	17.9	455	- 2	453	242	211	+ 545	756	+ 3	759	865	- 106	- 186
918	658	27.8'	33.7'		16 ¹⁵	15.1	17.0	432	+ 1	433	240	193	+ 545	738	+ 2	740	865	- 125	- 205
919	659	28.0'	37.9'		30	14.8	17.6	447	- 2	445	264	181	+ 545	726	+ 4	730	866	- 136	- 216
920	587	-	-		48	14.6	16.9	429	- 3	426	255	171	+ 545	716	+ 4	720			
921	660	29.6'	42.1'		17 ⁰⁵	14.4	15.4	391	- 5	386	249	137	+ 545	682	- 2	680	879	- 199	- 279
922	661	29.5'	44.7'		15	13.8	16.9	429	- 10	419	243	176	+ 545	721	- 4	717	878	- 161	- 241
923	662	29.5'	47.7'		35	12.9	18.3	466	- 17	449	232	217	+ 545	762	- 3	759	877	- 118	- 198

Laufende Nr.	Stations-Nr.	Geographische Koordinaten		Datum	M. E. Zeit	Temperatur	Ablesung in Skalen- teilen	in γ	Temperatur- korrektur in γ	Δ I	Tagesvariation in γ	Niveau- Ausgleich	Instrumenten- standskorrektur in γ	Δ III	Δ IV	Normalfeld in γ	1. Störungs- wert in γ	2. Störungs- wert in γ — 80	Bemerkungen
		Breite φ	Länge λ																
924	663	55°28.9'	8°50.7'	3.10.30	17 ⁵³	12.2	21.2	539	-23	516	238	278	+545	823	- 9	814	872	- 58	-138
925	403	—	—		18 ⁴³	11.6	24.1	612	-27	585	228	357	+545	902	-12	890			
926	453	—	—	4.10.30	9 ⁰⁰	10.1	29.9	759	-38	721	176	545	+545	1090	+ 4	1094			
927	482	—	—		30	10.3	22.9	582	-37	545	176	369	+545	914	+71	985			
928	664	33.1'	43.3'		10 ⁰⁵	10.3	15.1	384	-37	347	176	171	+545	716	+ 5	721	906	-185	-265
929	665	34.9'	44.4'		20	10.5	16.7	424	-36	388	178	210	+545	755	+ 4	759	920	-161	-241
930	666	36.2'	43.8'		35	10.7	16.9	429	-34	395	176	219	+545	764	+ 3	767	931	-164	-244
931	667	37.9'	41.8'		55	10.7	17.7	449	-34	415	184	231	+545	776	+ 2	778	944	-166	-246
932	636	—	—		11 ¹⁰	10.5	17.5	444	-36	408	184	224	+545	769	+ 1	770			Sprung
933	668	37.9'	40.9'		30	10.1	16.6	421	-38	383	186	197	+545	742	- 1	741	945	-204	-284
934	669	34.9'	40.6'		55	9.9	16.0	406	-40	366	186	180	+545	725	+ 2	727	921	-194	-274
935	670	35.2'	37.7'		13 ⁰⁵	9.9	17.6	447	-40	407	216	191	+545	736	+ 8	744	924	-180	-260
936	671	33.8'	39.4'		25	9.9	15.5	394	-40	354	224	130	+545	675	+12	687	912	-225	-305
937	672	32.7'	40.5'		40	9.8	14.0	356	-40	316	210	106	+545	651	+16	667	904	-237	-317
938	652	—	—		14 ¹⁰	9.7	15.6	396	-41	355	214	141	+545	686	+20	706			
939	673	33.8'	31.9'		25	9.4	19.0	482	-43	339	216	223	+545	768	+18	786	913	-127	-207
940	674	33.2'	28.5'		45	9.1	20.5	521	-45	476	212	264	+545	809	+19	828	909	- 81	-161
941	675	35.2'	29.7'		15 ⁰³	8.9	20.0	508	-47	461	225	236	+545	781	+20	801	925	-124	-204
942	668	—	—		40	9.0	17.6	447	-46	401	225	176	+545	721	+20	741			
943	676	37.6'	43.9'		16 ⁰⁵	9.1	18.9	480	-45	435	238	197	+545	742	+22	764	942	-178	-258
944	677	36.8'	46.0'		20	9.1	19.7	500	-45	455	212	243	+545	788	+26	814	935	-121	-201
945	482	—	—		17 ⁰⁰	9.1	26.2	666	-45	621	210	411	+545	956	+29	985			
946	403	—	—	5.10.30	13 ³⁵	11.4	22.9	582	-29	553	202	351	+545	896	- 6	890			
947	455	—	—		14 ⁰⁰	12.9	26.7	678	-17	661	194	467	+545	1012	- 2	1010			
948	464	—	—		25	13.2	30.8	782	-14	768	200	568	+545	1113	± 0	1113			
949	678	28.6'	9°40.3'		52	13.1	24.0	609	-15	594	204	390	+545	935	- 4	931	864	+ 67	- 13
950	679	28.0'	36.2'		15 ¹⁰	13.0	22.1	561	-16	545	211	334	+545	879	- 8	971	860	+111	+ 31
951	680	28.8'	38.1'		30	13.0	21.4	544	-16	528	210	318	+545	863	- 6	857	866	- 9	- 89
952	681	27.7'	39.8'		16 ⁰⁵	12.8	18.7	475	-18	457	225	232	+545	777	- 8	769	857	- 88	-168
953	682	26.5'	34.7'		30	12.5	22.0	559	-21	538	220	318	+545	863	- 9	854	848	+ 6	- 74

954	455	—	—		17 ³⁵	12.2	27.6	701	—23	678	203	475	+545	1020	—10	1010				
955	455	—	—	6.10.30	9 ⁵⁰	11.1	25.4	645	—31	614	180	434	+545	979	+31	1010				
956	683	24.1'	32.0'		10 ⁴⁰	12.8	19.2	488	—18	470	182	288	+545	833	+20	853	829	+ 24	— 56	
957	684	23.1'	36.2'		11 ⁰⁸	13.8	18.2	462	—10	452	178	274	+545	819	+10	829	820	+ 9	— 71	
958	394	—	—		25	13.8	16.9	429	—10	419	178	241	+545	786	—20	766				
959	1601	19.8'	29.6'		58	14.0	18.4	467	—8	459	175	284	+545	829	—6	823	793	+ 30	— 50	Seggelund
960	389	—	—		12 ¹⁰	13.8	13.1	333	—10	323	176	147	+545	692	+10	702				
961	685	18.4'	32.3'		22	13.8	13.8	351	—10	341	176	165	+545	710	+ 2	712	782	— 70	— 150	
962	686	19.3'	33.9'		40	14.8	13.7	348	—2	346	180	166	+545	711	+ 3	714	789	— 75	— 155	
963	687	17.5'	33.7'		13 ⁰⁵	15.8	10.6	269	+ 6	275	181	94	+545	639	+ 4	643	775	—132	—212	
964	688	17.4'	36.3'		22	15.8	11.2	284	+ 6	290	186	104	+545	649	+ 5	654	773	—119	—199	
965	689	15.6'	32.8'		40	15.6	7.8	198	+ 5	203	192	11	+545	556	+ 6	562	760	—198	—278	
966	594	—	—		16 ³⁸	14.5	5.9	150	—4	146	212	—66	+545	479	+ 7	486				

Fünen.

967	690	55°23.6'	10°20.1'	7.10.30	8 ⁴²	10.6	20.6	523	—35	488	186	302	+545	847	+ 3	850	819	+ 31	— 49	
968	691	23.4'	15.8'		55	9.2	17.0	432	—45	487	184	303	+545	848	+ 2	850	817	+ 33	— 47	
969	692	23.3'	11.6'		9 ²⁰	9.0	15.8	401	—46	355	181	174	+545	719	+ 2	721	816	— 95	— 175	
970	693	23.4'	7.1'		40	8.6	15.6	396	—49	347	178	169	+545	714	+ 2	716	818	—102	—182	
971	694	24.6'	4.2'		55	8.3	18.1	460	—51	409	175	234	+545	779	+ 2	781	829	— 48	— 128	
972	695	22.4'	2.9'		10 ¹⁵	8.0	14.4	366	—53	313	171	142	+545	687	+ 1	688	811	—123	—203	
973	696	20.6'	3.0'		30	8.1	11.0	279	—52	227	166	61	+545	606	+ 1	607	815	—208	—288	
974	697	19.5'	2.9'		42	8.2	9.7	246	—52	194	169	25	+545	570	± 0	570	787	—217	—297	
975	698	18.6'	1.3'		53	8.2	8.1	206	—52	154	170	—16	+545	529	+ 1	530	780	—250	—330	
976	699	18.0'	9°59.3'		11 ⁰⁵	8.6	6.3	160	—49	111	169	—58	+545	487	+ 2	489	775	—286	—366	
977	594	—	—		20	9.4	6.0	152	—43	109	171	—62	+545	483	+ 3	486				
978	598	—	—		50	9.7	14.5	368	—41	327	167	160	+545	705	+ 7	712				
979	700	27.4'	57.0'		12 ¹⁸	9.9	24.8	630	—40	590	168	422	+545	967	+ 1	968	853	+115	+ 35	
980	694	—	—		35	9.7	17.3	439	—41	398	167	231	+545	776	+ 5	781				
981	694	—	—		13 ⁴⁷	9.9	17.5	444	—40	404	176	226	+545	771	+10	781				
982	701	25.4'	10°2.0'		14 ⁰³	9.6	17.4	442	—42	400	178	222	+545	767	+ 7	774	835	— 61	— 141	
983	702	26.1'	0.5'		12	9.5	20.0	508	—43	465	175	290	+545	835	+ 5	840	841	— 1	— 81	
984	703	27.0'	9°58.8'		22	9.4	24.0	609	—43	566	176	390	+545	935	+ 4	939	849	+ 90	+ 10	
985	700	—	—		35	9.3	25.3	643	—44	599	180	419	+545	964	+ 4	968				
986	704	28.6'	58.4'		48	9.2	25.1	637	—45	592	186	406	+545	951	+ 4	955	862	+ 93	+ 13	
987	705	27.9'	10°2.3'		15 ¹⁰	9.2	22.2	564	—45	519	201	318	+545	863	+ 4	867	856	+ 11	— 69	

Laufende Nr.	Stations-Nr.	Geographische Koordinaten		Datum	M. E. Zeit	Temperatur	Ablesung		Temperaturkorrektur in γ	Δ I	Tagesvariation in γ	Δ II	Niveau-Ausgleich	Δ III	Instrumentenstandkorrektur in γ	Δ IV	Normalfeld in γ	1. Störungswert in γ	2. Störungswert in γ	Bemerkungen
		Breite φ	Länge λ				in Skalen-teilen	in γ												
988	706	55°27.6'	10°6.2'	7.10.30	15 ²⁵	9.0	19.1	485	-46	439	205	234	+545	779	+ 4	783	853	- 70	-150	
989	707	26.8'	9.8'		45	8.9	18.7	475	-47	428	201	227	+545	772	+ 4	776	846	- 70	-150	
990	708	26.4'	13.1'		16 ⁰⁵	8.8	19.0	482	-47	435	193	242	+545	787	+ 5	792	842	- 50	-130	
991	709	26.0'	15.9'		15	8.8	19.8	503	-47	456	197	259	+545	804	+ 6	810	839	- 29	-109	
992	710	25.3'	17.0'		28	8.6	20.0	508	-49	459	198	261	+545	806	+ 7	813	833	- 20	-100	
993	711	24.7'	19.7'		38	8.4	21.6	549	-50	499	201	298	+545	843	+ 7	850	828	+ 22	- 58	
994	690	—	—		52	8.2	21.3	544	-52	492	194	298	+545	843	+ 7	850				
995	690	—	—	8.10.30	8 ⁵⁰	9.0	21.1	536	-46	490	182	308	+545	853	- 3	850				
996	712	24.8'	11.7'		9 ²⁰	9.1	17.1	434	-45	389	188	201	+545	746	- 4	742	829	- 87	-167	
997	713	25.8'	9.4'		42	9.2	17.0	432	-45	387	182	205	+545	750	- 2	748	838	- 90	-170	
998	714	24.9'	7.3'		10 ⁰⁰	9.4	14.4	366	-43	323	180	143	+545	688	- 1	687	831	-144	-224	
999	715	26.2'	5.7'		18	9.7	17.1	434	-41	393	181	212	+545	757	± 0	757	842	- 85	-165	
1000	706	—	—		35	10.0	18.0	462	-39	418	180	238	+545	783	± 0	783				
1001	716	28.2'	4.2'		45	10.1	20.8	528	-38	490	181	309	+545	854	- 4	850	859	- 9	- 89	
1002	717	29.3'	5.2'		58	10.1	22.1	561	-38	523	182	341	+545	886	- 8	878	867	+ 11	- 69	
1003	718	31.1'	6.1'		11 ¹⁰	10.1	15.5	394	-38	356	181	175	+545	720	- 9	711	882	-171	-251	
1004	719	33.0'	5.6'		22	10.0	17.7	449	-39	410	184	226	+545	771	- 11	760	898	-138	-218	
1005	720	34.2'	6.0'		45	10.0	18.2	462	-39	423	185	238	+545	783	- 10	773	908	-135	-215	
1006	721	30.8'	3.5'		12 ¹⁰	10.0	20.9	531	-39	492	188	304	+545	849	- 11	838	880	- 42	-122	
1007	722	30.0'	0.4'		25	10.1	22.4	569	-38	531	194	337	+545	882	- 12	870	874	- 4	- 84	
1008	723	29.6'	9°57.3'		40	10.0	23.1	586	-39	547	192	355	+545	900	+ 13	913	881	+ 32	- 48	
1009	723	—	—		14 ²⁰	9.9	23.8	604	-40	564	216	348	+545	893	+ 20	913				
1010	700	—	—		48	9.8	25.7	653	-40	613	224	389	+545	934	+ 34	968				
1011	690	—	—		15 ³³	9.8	22.7	576	-40	536	234	302	+545	847	+ 3	850				
1012	690	—	—	9.10.30	8 ⁴⁵	10.9	20.4	518	-33	485	182	303	+545	848	+ 2	850				
1013	694	—	—		9 ¹⁵	11.0	17.5	444	-32	412	178	234	+545	779	+ 2	781				
1014	724	26.6'	10°2.1'		30	11.0	18.6	472	-32	440	177	263	+545	808	+ 2	810	846	- 36	-116	
1015	725	27.7'	0.0'		50	11.2	21.3	541	-30	511	176	335	+545	880	+ 2	882	855	+ 27	- 53	
1016	726	28.6'	9°56.4'		10 ¹²	11.3	24.0	609	-30	579	174	405	+545	950	+ 3	953	863	+ 90	+ 10	
1017	727	29.5'	53.8'		30	11.6	21.7	551	-27	524	174	350	+545	895	+ 3	898	870	+ 28	- 52	

1018	728	29.9'	51.7'		45	12.1	20.6	523	-24	499	171	328	+545	873	+ 2	875	874	+ 1	- 79
1019	729	30.0'	49.5'		57	12.4	22.0	559	-21	538	166	372	+545	917	+ 4	921	875	+ 46	- 34
1020	730	30.3'	47.2'		11 ⁰⁸	12.4	25.0	635	-21	614	168	446	+545	991	+ 3	994	877	+117	+ 37
1021	731	30.1'	45.4'		22	12.2	23.8	604	-23	581	168	413	+545	958	+ 4	962	876	+ 86	+ 6
1022	700	-	-		45	12.1	24.5	622	-24	598	170	428	+545	973	- 5	968			
1023	732	26.4'	56.8'		12 ⁰⁰	12.2	22.3	566	-23	543	171	372	+545	917	- 5	912	844	+ 68	- 12
1024	733	25.6'	55.6'		15	12.3	19.5	495	-22	473	173	300	+545	845	- 4	841	838	+ 3	- 77
1025	734	24.5'	55.0'		25	12.0	15.8	401	-24	377	175	202	+545	747	- 3	744	829	- 85	-165
1026	598	-	-		40	11.2	14.8	376	-30	346	174	172	+545	717	- 5	712			
1027	735	26.9'	52.3'		13 ⁰⁵	10.6	21.9	556	-35	521	173	348	+545	893	- 2	891	849	+ 42	- 38
1028	735	-	-		14 ²⁵	11.9	21.9	556	-25	531	183	348	+545	893	- 2	891			
1029	736	28.2'	53.6'		38	11.9	22.0	559	-25	534	191	343	+545	888	+ 2	890	860	+ 30	- 50
1030	737	28.7'	51.1'		48	11.2	20.8	528	-30	498	194	304	+545	849	+ 3	852	864	- 12	- 92
1031	738	29.3'	48.9'		58	10.8	24.1	612	-33	579	196	383	+545	928	+ 1	929	868	+ 61	- 19
1032	739	31.4'	49.8'		15 ¹⁵	10.6	23.1	586	-35	551	194	357	+545	902	+ 2	904	886	+ 18	- 62
1033	740	32.8'	50.0'		35	10.2	25.4	645	-38	607	194	413	+545	958	+ 2	960	898	+ 62	- 18
1034	741	32.7'	47.6'		52	9.8	24.5	622	-40	582	194	388	+545	933	+ 3	936	898	+ 38	- 42
1035	742	32.6'	46.2'		16 ¹⁵	9.3	25.3	643	-44	599	194	405	+545	950	+ 5	955	897	+ 58	- 22
1036	743	31.4'	47.3'		28	9.0	24.6	624	-46	578	194	384	+545	929	+10	939	886	+ 53	- 27
1037	700	-	-		17 ⁰⁰	8.4	25.3	643	-50	593	190	403	+545	948	+20	968			
1038	694	-	-		17	7.0	19.0	482	-60	422	189	233	+545	778	+ 3	781			
1039	690	-	-		48	6.8	21.6	549	-60	489	193	296	+545	841	+ 9	850			
1040	690	-	-	10.10.30	8 ⁴⁸	9.6	17.9	455	-42	413	185	228	+545	773	+77	850		Sprung	
1041	744	22.2'	10°16.2'		9 ⁰⁸	9.3	15.8	401	-44	357	185	172	+545	717	+15	732	807	- 75	-155
1042	745	20.6'	16.2'		25	9.3	16.1	409	-44	365	183	182	+545	727	+ 3	730	795	- 65	-145
1043	746	19.3'	17.2'		42	9.4	15.5	393	-43	350	182	168	+545	713	- 1	712	783	- 71	-151
1044	747	18.1'	15.4'		10 ⁰⁰	10.0	12.5	318	-39	279	179	100	+545	645	+ 1	646	774	-128	-208
1045	748	17.4'	12.4'		13	10.0	9.5	242	-39	203	177	26	+545	571	+ 5	576	768	-192	-272
1046	749	16.1'	7.3'		45	10.4	8.0	203	-36	167	173	- 6	+545	539	+12	551	758	-207	-287
1047	594	-	-		11 ²⁰	10.7	5.6	142	-34	108	170	-62	+545	483	+ 3	486			
1048	750	18.3'	3.2'		12 ⁰⁰	11.3	9.0	228	-30	198	170	28	+545	573	+ 2	575	777	-202	-282
1049	751	17.5'	5.2'		18	11.2	7.3	185	-30	155	168	-13	+545	532	+ 1	533	770	-237	-317
1050	749	-	-		30	11.2	8.0	203	-30	173	168	+ 5	+545	550	+ 1	551			
1051	749	-	-		13 ³⁵	11.2	8.3	211	-30	181	176	+ 5	+545	550	+ 1	551			
1052	752	17.1'	10.3'		50	11.3	8.3	211	-30	181	177	+ 4	+545	549	+ 1	550	766	-216	-296
1053	753	18.6'	9.3'		14 ⁰⁵	11.4	9.5	242	-29	213	179	34	+545	579	- 1	578	779	-201	-281

Laufende Nr.	Stations-Nr.	Geographische Koordinaten		Datum	M. E. Zeit	Temperatur in Skalen-teilen	Ablesung in γ	Temperatur-korrektur in γ	Tagessvariation in γ	Niveau-Ausgleich	Instrumenten-standkorrektur in γ	Normalfeld in γ	1. Störungs-wert in γ	— 2. Störungs-wert in γ	Bemerkungen				
		Breite φ	Länge λ																
1054	754	55°19.7'	10°8.6'	10.10.30	14 ¹⁸	11.2	10.2	259	-30	229	181	48	+545	593	- 2	591	788	-197	-277
1055	755	19.6'	11.6'		35	10.9	11.2	284	-33	251	184	67	+545	612	- 2	610	787	-177	-257
1056	756	21.5'	10.5'		15 ¹⁵	10.0	12.2	310	-39	271	185	86	+545	631	- 3	628	802	-174	-254
1057	694	—	—		40	9.8	18.8	477	-42	435	190	245	+545	790	- 9	781			
1058	744	—	—		16 ¹²	9.9	16.2	411	-40	371	192	179	+545	724	- 2	722			
1059	690	—	—		30	9.9	20.2	513	-40	473	192	281	+545	826	+24	850			
1060	690	—	—	11.10.30	13 ⁴⁰	13.7	19.3	490	-10	480	179	301	+545	846	+ 4	850			
1061	694	—	—		14 ¹²	13.2	16.9	429	-14	415	179	236	+545	781	± 0	781			
1062	706	—	—		32	12.7	16.8	426	-19	407	181	226	+545	771	+12	783			
1063	757	29.2'	14.4'		15 ¹⁵	12.4	18.2	462	-21	441	187	254	+545	799	+19	818	866	- 48	-128
1064	758	30.3'	11.3'		32	12.1	18.2	462	-24	438	192	246	+545	791	+21	812	875	- 63	-143
1065	694	—	—		16 ¹⁸	11.5	17.1	434	-28	406	194	212	+545	757	+24	781			
1066	690	—	—	13.10.30	10 ⁵³	10.9	19.7	500	-33	467	175	292	+545	837	+13	850			
1067	694	—	—		11 ²⁵	11.8	15.7	399	-26	373	175	198	+545	743	+38	781			
1068	759	24.4'	0.9'		35	12.2	15.1	384	-23	361	177	184	+545	729	+32	761	826	- 65	-145
1069	760	23.6'	9°58.2'		12 ⁰⁰	12.5	13.5	343	-21	322	178	144	+545	689	+29	718	822	-104	-184
1070	598	—	—		18	13.0	13.1	333	-16	317	178	139	+545	684	+28	712			
1071	761	25.2'	51.7'		35	13.2	17.4	442	-14	428	179	249	+545	794	+20	814	836	- 22	-102
1072	761	—	—		13 ⁴⁰	14.6	16.6	422	- 3	419	181	238	+545	783	+19	802			
1073	762	25.6'	49.6'		52	14.8	19.3	490	- 2	488	184	304	+545	849	+17	866	839	+ 27	- 53
1074	763	26.3'	47.1'		14 ⁰⁵	14.8	21.5	546	- 2	544	184	360	+545	905	+15	920	844	+ 76	- 4
1075	764	26.9'	45.7'		18	14.4	20.9	531	- 5	526	185	341	+545	886	+12	898	850	+ 48	- 32
1076	765	27.8'	43.8'		30	14.3	19.2	488	- 6	482	186	296	+545	841	+11	852	857	- 5	- 85
1077	761	—	—		58	14.3	17.4	442	- 6	436	189	247	+545	792	+10	802			
1078	766	24.1'	52.4'		15 ¹⁰	14.3	13.7	351	- 6	345	190	155	+545	700	+10	710	827	-117	-197
1079	767	24.5'	50.0'		25	13.8	15.8	401	-10	391	190	201	+545	746	+ 8	754	830	- 76	-156
1080	768	23.2'	51.3'		40	13.4	12.4	314	-13	301	189	112	+545	657	+ 7	664	819	-155	-235
1081	769	22.1'	50.6'		52	13.2	9.6	244	-14	230	189	41	+545	586	+ 8	594	810	-216	-296
1082	770	21.9'	49.1'		16 ⁰⁵	13.1	8.8	224	-15	209	189	20	+545	565	+ 9	574	808	-234	-314
1083	771	21.5'	52.5'		25	13.2	8.9	226	-14	212	192	20	+545	565	+11	576	805	-229	-309

1084	772	20.7'	55.1'		40	12.9	7.9	201	-17	184	192	- 8	+545	537	+12	549	799	-250	-330
1085	596	-	-		55	11.9	8.7	221	-25	196	191	+ 5	+545	550	+12	562			
1086	773	21.8'	59.6'		17 ¹⁵	11.0	11.7	297	-32	265	190	75	+545	620	+18	638	806	-168	-248
1087	690	-	-		18 ⁰⁵	10.5	19.9	506	-36	470	188	282	+545	827	+23	850			
1088	690	-	-	14.10.30	8 ⁵⁰	16.2	17.2	437	+10	447	164	283	+545	828	+22	850			
1089	774	21.2'	10°8.2'		9 ²⁵	14.3	10.0	254	- 6	248	159	89	+545	634	+21	655	801	-146	-226
1090	775	21.0'	6.0'		45	13.4	9.6	244	-13	231	159	72	+545	617	+22	639	799	-160	-240
1091	776	20.1'	5.6'		10 ⁰⁵	13.0	8.9	226	-16	210	158	52	+545	597	+21	618	791	-173	-253
1092	777	18.8'	6.0'		25	12.5	8.5	215	-21	194	157	33	+545	582	+18	600	780	-180	-260
1093	778	20.2'	1.0'		45	12.7	7.3	185	-19	166	156	10	+545	555	+19	574	793	-219	-299
1094	779	20.0'	9°58.6'		11 ⁰⁵	12.7	5.1	129	-19	110	151	-41	+545	504	+17	521	791	-270	-350
1095	598	-	-		35	13.3	12.8	325	-14	311	163	148	+545	693	+19	712			
1096	603	-	-		12 ¹²	13.6	23.7	602	-11	591	166	425	+545	970	+12	982			
1097	780	28.8'	44.9'		30	14.1	22.1	561	- 7	554	165	389	+545	934	+14	948	865	+ 83	+ 3
1098	731	-	-		13 ²⁵	15.6	22.2	564	+ 5	569	167	402	+545	947	+15	962			
1099	781	30.2'	43.3'		37	15.7	20.7	526	+ 6	532	165	367	+545	912	+16	928	878	+ 50	- 30
1100	782	30.4'	41.6'		50	15.7	19.0	482	+ 6	488	168	320	+545	865	+19	884	879	+ 5	- 75
1101	700	-	-		14 ²²	15.2	22.6	574	+ 2	576	177	399	+545	944	+24	968			
1102	783	25.5'	58.8'		37	14.6	18.2	462	- 3	459	178	281	+545	826	+20	846	837	+ 9	- 71
1103	694	-	-		55	14.2	15.9	404	- 6	398	179	219	+545	764	+17	781			
1104	690	-	-	15.10.30	8 ⁴⁵	12.6	19.9	506	-20	486	188	298	+545	843	+ 7	850			
1105	784	21.1'	10°20.5'		9 ¹⁵	12.4	20.3	515	-21	494	187	307	+545	852	+12	864	799	+ 65	- 15
1106	746	-	-		30	12.2	14.3	363	-23	340	187	153	+545	698	+14	712			
1107	749	-	-		58	12.1	8.0	203	-24	179	185	- 6	+545	539	+12	551			
1108	785	16.2'	4.8'		10 ¹⁰	12.0	6.6	168	-24	144	185	-41	+545	504	+10	514	760	-246	-326
1109	786	16.1'	1.7'		22	12.0	5.7	145	-24	121	184	-63	+545	482	+ 9	491	759	-268	-348
1110	787	17.3'	0.7'		35	12.3	5.0	127	-22	105	184	-79	+545	466	+ 8	474	768	-294	-374
1111	788	17.1'	9°58.7'		50	12.7	4.3	109	-19	90	183	-93	+545	452	+ 7	459	768	-309	-389
1112	594	-	-		11 ⁰⁵	13.5	5.1	129	-12	117	182	-65	+545	480	+ 6	486			
1113	789	14.8'	54.0'		12 ⁰⁰	13.8	2.1	53	-10	43	184	-141	+545	404	+ 4	408	749	-341	-421
1114	790	13.7'	55.4'		20	14.5	1.9	48	- 4	44	181	-137	+545	408	+ 4	412	741	-329	-409
1115	791	14.5'	59.0'		40	14.7	0.6	15	- 2	+13	184	-171	+545	374	- 4	370	746	-376	-456
1116	791	-	-		13 ³⁸	15.0	0.1	3	+ 0	+3	185	-182	+545	363	+ 7	370			
1117	792	13.2'	58.3'		57	15.1	2.6	66	+ 1	67	186	-119	+545	426	+ 4	430	736	-306	-386
1118	793	12.3'	59.6'		14 ²⁰	15.3	1.4	36	+ 2	38	187	-149	+545	396	+ 5	401	727	-326	-406
1119	794	10.5'	59.2'		35	15.4	2.9	74	+ 3	77	189	-112	+545	433	+ 4	437	713	-276	-356

Laufende Nr.	Stations-Nr.	Geographische Koordinaten		Datum	M. E. Zeit	Temperatur	Ablesung in Skalen- teilen	in γ	Temperatur- korrektur in γ	Δ I	Δ II	Niveau- Ausgleich	Instrumenten- standarkorrektur in γ	Δ III	Δ IV	Normalfeld in γ	1. Störungs- wert in γ	2. Störungs- wert in γ - 80	Bemerkungen
		Breite φ	Länge λ																
1120	795	55°9.2'	10°1.1'	15.10.30	14 ⁵⁵	15.4	2.5	63	+ 3	66	191	- 125	+ 545	420	+ 3	423	702	- 279	- 359
1121	796	8.0'	2.6'		15 ¹⁰	15.2	4.4	112	+ 2	114	192	- 78	+ 545	467	+ 3	470	692	- 222	- 303
1122	797	8.0'	9°58.9'		30	15.0	4.1	104	+ 0	104	192	- 88	+ 545	457	+ 2	459	692	- 233	- 313
1123	798	12.2'	10°2.0'		16 ²⁰	15.0	2.0	51	+ 0	51	192	- 141	+ 545	404	+ 2	406	727	- 321	- 401
1124	799	14.4'	3.6'		40	14.7	4.0	102	- 2	100	189	- 89	+ 545	456	+ 1	457	744	- 287	- 367
1125	749	—	—		17 ⁰⁰	13.5	8.1	206	- 12	194	189	+ 5	+ 545	550	+ 1	551			
1126	690	—	—	16.10.30	8 ⁴²	14.0	19.8	503	- 8	495	185	310	+ 545	855	- 5	850			
1127	694	—	—		9 ¹⁰	13.6	16.9	429	- 11	418	182	236	+ 545	781	± 0	781			
1128	697	—	—		40	13.8	8.2	208	- 10	198	181	+ 17	+ 545	562	+ 8	570			
1129	749	—	—		10 ⁰⁰	14.1	8.4	213	- 7	206	181	+ 25	+ 545	570	- 19	551			
1130	800	13.3'	8.0'		25	14.5	5.6	142	- 4	138	180	- 42	+ 545	503	- 13	490	734	- 244	- 324
1131	801	10.5'	9.1'		40	14.9	3.8	96	- 1	95	180	- 85	+ 545	460	- 10	450	712	- 262	- 342
1132	802	8.3'	10.8'		11 ²²	15.0	5.0	127	+ 0	127	180	- 53	+ 545	492	- 5	487	692	- 205	- 285
1133	803	6.3'	6.1'		50	15.3	4.9	124	+ 2	126	179	- 53	+ 545	492	- 1	491	677	- 186	- 266
1134	804	6.6'	9.5'		12 ⁰⁰	15.5	4.5	114	+ 4	118	180	- 62	+ 545	483	+ 2	485	680	- 195	- 275
1135	804	—	—		13 ¹⁵	15.9	5.1	129	+ 2	131	185	- 54	+ 545	491	- 6	485			
1136	805	6.8'	14.6'		32	16.2	4.7	119	+ 10	129	186	- 7	+ 545	538	- 2	536	680	- 144	- 224
1137	806	9.0'	16.1'		48	16.3	6.5	165	+ 10	175	184	- 9	+ 545	536	+ 1	537	698	- 161	- 241
1138	807	11.5'	14.7'		14 ⁰⁰	16.4	5.5	140	+ 11	151	184	- 33	+ 545	512	+ 2	514	719	- 205	- 285
1139	808	11.7'	12.1'		15	16.6	4.6	117	+ 13	130	185	- 55	+ 545	490	+ 2	492	721	- 229	- 309
1140	800	—	—		30	17.1	4.4	112	+ 17	129	186	- 57	+ 545	488	+ 2	490			
1141	809	12.5'	5.5'		45	17.3	3.1	79	+ 19	98	186	- 88	+ 545	457	+ 1	458	729	- 271	- 351
1142	810	14.1'	11.9'		15 ¹²	17.4	5.5	140	+ 20	160	188	- 28	+ 545	517	+ 2	519	741	- 222	- 302
1143	811	15.4'	14.8'		32	17.3	8.9	226	+ 19	245	192	+ 53	+ 545	598	± 0	598	751	- 153	- 233
1144	812	13.7'	16.6'		55	17.2	6.2	157	+ 18	175	194	- 19	+ 545	526	+ 6	532	737	- 205	- 285
1145	813	12.7'	20.1'		16 ¹⁰	17.0	8.9	226	+ 16	242	194	+ 48	+ 545	593	+ 7	600	728	- 128	- 208
1146	814	14.8'	21.9'		25	16.8	11.8	299	+ 14	313	193	+ 120	+ 545	665	+ 12	677	745	- 68	- 148
1147	815	16.6'	18.6'		45	16.2	12.1	307	+ 10	317	192	125	+ 545	670	+ 16	686	761	- 75	- 155
1148	784	—	—	17.10.30	17 ⁰⁵	15.2	19.0	482	+ 2	484	189	295	+ 545	840	+ 24	864			
1149	757	—	—		9 ⁰⁸	15.2	17.5	444	+ 2	446	187	259	+ 545	804	+ 14	818			
1150	816	28.6'	10.3'		30	15.2	17.7	449	+ 2	451	184	267	+ 545	812	+ 15	827	861	- 34	- 114

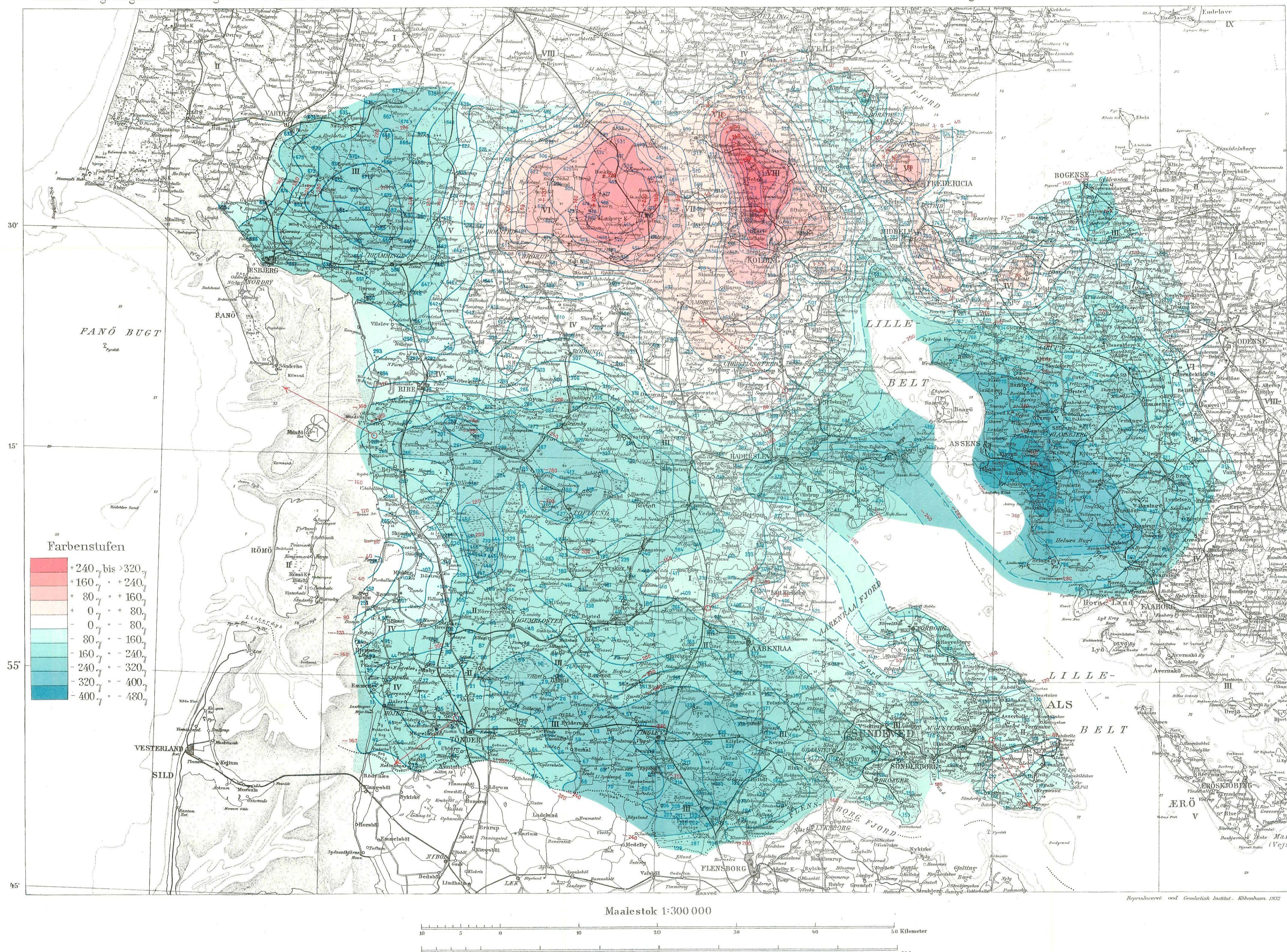
Laufende Nr.	Stations-Nr.	Geographische Koordinaten		Datum	M. E. Zeit	Temperatur	Ablesung		Temperaturkorrektur in γ	Δ I	Tagesvariation in γ	Niveau-Ausgleich	Instrumentenstandkorrektur in γ	Δ IV	Normalfeld in γ	1. Störungswert in γ	2. Störungswert in γ	Bemerkungen	
		Breite φ	Länge λ				in Skalen-teilen	in γ											
1186	520	—	—	16.5.31	9 ³⁷	17.7	22.6	678	+16	694	49	645	+635	1280	-35	1245			
1187	839	55°31.5'	9°25.7'		10 ⁵⁰	17.8	21.2	636	+17	653	37	616	+635	1251	-22	1229	889	+340	
1188	840	31.8'	25.9'		11 ³⁰	18.0	22.4	672	+18	690	36	654	+635	1289	-19	1270	891	+379	
1189	841	32.0'	25.9'		48	17.6	22.7	681	+16	697	37	660	+635	1295	-17	1278	893	+385	
1190	523	—	—		12 ¹⁸	16.8	21.4	642	+11	653	39	614	+635	1249	-16	1233			
1191	523	—	—		13 ⁴²	17.5	21.6	648	+15	663	52	611	+635	1246	-13	1233			
1192	842	34.0'	24.9'		14 ⁰⁵	17.9	23.7	711	+17	728	52	676	+635	1311	-15	1296	909	+387	
1193	843	34.0'	25.8'		25	18.3	23.1	693	+20	713	55	658	+635	1293	-13	1280	909	+371	
1194	844	33.2'	26.3'		48	19.0	22.4	672	+24	696	60	636	+635	1271	-18	1253	903	+350	
1195	845	32.7'	26.1'		15 ³⁰	19.0	23.4	702	+24	726	71	655	+635	1290	-20	1270	899	+371	
1196	520	—	—		16 ⁰⁵	18.2	22.6	678	+19	697	62	635	+635	1270	-25	1245			
1197	846	33.4'	25.3'		40	18.2	23.4	702	+19	721	69	652	+635	1287	-17	1270	904	+366	
1198	847	33.3'	25.5'		50	18.3	23.8	714	+20	734	67	667	+635	1302	-10	1292	903	+389	
1199	848	34.6'	24.7'		17 ²⁰	18.4	22.9	687	+20	707	63	644	+635	1279	-5	1274	914	+360	
1200	849	34.8'	25.5'		40	18.4	22.6	678	+20	698	66	632	+635	1267	-3	1264	915	+349	
1201	538	—	—		18 ⁰⁰	18.2	21.9	657	+19	676	66	610	+635	1245	+1	1246			
1202	520	—	—		17.5.31	9 ¹⁴	18.0	21.9	657	+18	675	47	628	+635	1263	-18	1245		
1203	850	36.5'	23.3'		55	18.2	21.8	654	+19	673	41	632	+635	1267	-10	1257	930	+327	
1204	851	37.7'	21.5'		10 ³³	18.8	18.4	552	+23	575	37	538	+635	1173	-8	1165	940	+225	
1205	542	—	—		58	19.8	15.8	474	+29	503	34	469	+635	1104	-4	1100			
1206	852	39.1'	20.1'		11 ³²	20.8	14.7	441	+35	476	34	442	+635	1077	-6	1071	952	+119	
1207	853	39.5'	18.3'		12 ⁰⁰	22.0	12.3	369	+42	411	37	374	+635	1009	-7	1002	955	+47	
1208	544	—	—		40	23.2	16.5	495	+49	544	40	504	+635	1139	-9	1130			
1209	544	—	—		14 ³⁰	23.0	16.5	495	+48	543	50	493	+635	1128	+2	1130			
1210	854	42.3'	17.2'		50	22.0	11.5	345	+42	387	53	334	+635	969	-2	967	977	-10	
1211	855	42.5'	13.4'		15 ⁰⁵	21.2	9.4	282	+37	319	53	266	+635	901	±0	901	979	-78	
1212	856	45.6'	7.8'		27	21.0	6.5	195	+36	231	52	179	+635	814	+1	815	1005	-190	
1213	857	45.3'	8°57.5'		16 ⁰⁰	21.2	7.0	210	+37	247	57	190	+635	825	+3	828	1003	-175	
1214	858	48.5'	9°2.0'		27	21.5	4.9	147	+39	186	54	132	+635	767	+4	771	1028	-257	
1215	859	47.7'	9.0'		50	21.8	6.6	198	+41	239	58	181	+635	816	+5	821	1022	-201	

1216	860	45.9'	17.6'		17 ¹²	21.8	14.6	438	+41	479	58	421	+635	1056	+ 5	1061	1007	+ 54	- 26
1217	544	-	-		38	21.8	17.0	510	+41	551	62	489	+635	1124	+ 6	1130			
1218	520	-	-		18 ²⁵	20.6	21.8	654	+34	688	62	626	+635	1261	-16	1245			
1219	520	-	-	18.5.31	8 ⁵⁰	13.8	22.7	681	- 7	674	40	634	+635	1269	-24	1245			
1220	828	-	-		10 ¹⁸	14.0	9.6	288	- 6	282	30	252	+635	887	-13	874			
1221	861	40 5'	41 5'		48	14.5	8.3	249	- 3	246	30	216	+635	851	-13	838	961	-123	-203
1222	862	40.6'	38.1'		11 ¹⁸	14.8	9.3	279	- 1	278	31	247	+635	882	-12	870	963	- 93	-173
1223	863	40.9'	39.3'		45	14.6	9.5	285	- 2	283	32	251	+635	886	-12	874	964	- 90	-170
1224	828	-	-		12 ²²	14.4	9.7	291	- 4	287	34	253	+635	888	-14	874			
1225	864	45.5'	26.0'		14 ¹⁵	14.2	19.0	570	- 5	565	60	505	+635	1140	- 8	1132	1003	+129	+ 49
1226	865	44.9'	32.0'		15 ⁰⁰	13.9	16.4	492	- 7	485	64	421	+635	1056	+ 4	1060	998	+ 62	- 18
1227	828	-	-		45	13.6	10.3	309	- 8	301	70	231	+635	866	+ 8	874			
1228	866	39.3'	41.2'		16 ⁰⁸	13.6	12.1	363	- 8	355	73	282	+635	917	+ 8	925	951	- 26	-106
1229	867	39.2'	38.6'		40	13.6	11.6	348	- 8	340	74	266	+635	901	+ 6	907	951	- 44	-124
1230	868	38.6'	37.6'		55	13.6	10.7	321	- 8	313	71	242	+635	877	+ 4	881	947	- 66	-146
1231	869	37.9'	35.6'		17 ¹²	13.6	9.9	297	- 8	289	71	218	+635	853	+ 2	855	941	- 86	-166
1232	870	36.3'	32.3'		40	13.4	11.9	357	-10	347	70	277	+635	912	± 0	912	928	- 16	- 96
1233	871	35.6'	31.3'		18 ¹⁵	13.0	15.0	450	-12	438	74	364	+635	999	- 1	998	923	+ 75	- 5
1234	552	-	-	19.5.31	43	12.8	21.0	630	-13	617	72	545	+635	1180	- 3	1177			
1235	551	-	-		8 ⁵⁵	12.2	16.9	507	-17	490	50	440	+635	1075	+38	1113			
1236	872	34.6'	28.9'		9 ⁰⁸	12.4	20.5	615	-16	599	52	547	+635	1182	+36	1218	914	+304	+224
1237	873	34.0'	27.3'		38	12.4	21.7	651	-16	635	50	585	+635	1220	+32	1252	910	+342	+262
1238	538	-	-		55	12.8	21.5	645	-13	632	49	583	+635	1218	+28	1246			
1239	874	35.2'	23.7'		10 ²⁷	13.0	21.4	642	-12	630	43	587	+635	1222	+26	1248	920	+328	+248
1240	875	35.9'	22.9'		47	13.0	21.2	636	-12	624	42	582	+635	1217	+26	1243	925	+318	+238
1241	876	36.4'	22.1'		11 ¹⁵	13.0	19.6	588	-12	576	42	534	+635	1169	+30	1199	929	+270	+190
1242	877	38.1'	19.4'		42	13.0	16.1	483	-12	471	42	429	+635	1064	+30	1094	944	+150	+ 70
1243	878	38.6'	21.0'		12 ⁰⁰	13.0	14.5	435	-12	423	42	381	+635	1016	+35	1051	948	+103	+ 23
1244	512	-	-		50	12.8	13.8	414	-13	401	47	354	+635	989	+45	1034			
1245	608	-	-		14 ⁰³	13.0	13.6	408	-12	396	58	338	+635	973	+12	985			
1246	879	40.3'	16.4'		35	13.2	12.3	369	-11	358	61	297	+635	932	+12	944	961	- 17	- 97
1247	880	41.3'	14.9'		15 ⁰⁰	13.2	12.5	375	-11	364	66	298	+635	933	+11	944	969	- 25	-105
1248	855	-	-		35	13.6	11.1	333	- 8	325	70	255	+635	890	+11	901			

Magnetische Isanomalenkarte der Vertikalintensität vom südwestlichen Dänemark

Danmarks geologiske Undersögelse. II Række Nr. 53.

Magnetische Aufnahme von A. Ebert 1929, 1930 u. 1931.



Erklärung

-456 Störungswert in γ
und
791 Stationsnummer

Horizontaler Störungsvektor
an Punkten d. magnet. Verm. I. Ordnung

Der Abstand der Isanomalenlinien beträgt 40γ , der Farbstufen 80γ